

524 / 2
1952



საქართველოს სსრ

524 / 2

მეცნიერებათა აკადემიის

ბო ლ ე ბ ე

ტომი XIII, № 3

33

ბიბლიოთეკის ქართული განყოფილება

1952

საქართველოს სსრ მეცნიერებათა აკადემიის გამომცემლობა
თბილისი



შ ი ნ ა ა რ ს ი

მათემატიკა

- 1. შ. ვიწიკი. პირველი სასახლეო აშოცანის შესახებ ოპერატორულ კოეფიციენტ-ბიან ელიფსურ დიფერენციალურ განტოლებათათვის 129

დრეკადობის თეორია

- 2. ა. რუნაძე. სხვადასხვა დრეკადი მასალისაგან შედგენილი ბუნებრივად დაგრები-ლი პრიზმული ძელების ვაკუუმის აშოცანა 137

ფიზიკა

- 3. დ. ჩიღვინაძე და ვ. ბრავინსკი. თუთიის მონოკრისტალის მიკროსიმპ-გრის შესახებ 145

ბალეოზოოლოგია

- 4. ლ. ვაბუნია. „ჯუჯა“ მამონტის კბილი გორიდან 153

ტიმენია

- 5. გ. ცეცხლაძე. რთული სივრცობრივი კომპოზიციების აგება პერსპექტივაში . . . 155
- 6. ი. შენგელია. სამუშაოს წარმოების რაციონალური მეთოდის შერჩევის საკითხი-სათვის 163

ნიადაგმცოდნეობა

- 7. მ. კანტურიშვილი. ნიადაგის ქიმიური შედგენილობის შესწავლასათვის ვაზის ქლოროზთან დაკავშირებით 167

ენტომოლოგია

- 8. ნ. სიფროშვილი. ზოგიერთი მონაცემი ქართლისათვის ხეხილის ახალ მავნებელ ხვატარზე—*Monina (Taenioacampa) Stabilis* V'iew 175

არქეოლოგია

- 9. გ. ვახტანგიშვილი. ძველი ქართული სამთამადნო და მეტალურგიული წარმოე-ბის ნაშთები სოფ. ლებთან 183

მ. ვიშიკი

პირველი სასაზღვრო ამოცანის შესახებ ოპერატორული კოეფიციენტებიანი ელიფსურ დიფერენციალურ განტოლებათათვის

(წარმოადგინა აკადემიის ნამდვილა წევრმა ი. ვეჯამ 6.4.1951)

1. განვიხილოთ n -განზომილებიანი სივრცის შემოსაზღვრულ არეში დიფერენციალური განტოლება⁽¹⁾

1615

$$Lu \equiv - \sum_{i,k=1}^n \frac{\partial}{\partial x_i} A_{ik} \frac{\partial}{\partial x_k} u(x) + \sum_{i=1}^n \left(B_i \frac{\partial}{\partial x_i} + \frac{\partial}{\partial x_i} C_i \right) u(x) + Fu(x) = f(x), \quad (1)$$

სადაც A_{ik}, B_i, C_i, F შემოსაზღვრული ოპერატორებია⁽²⁾ უნიტარულ \bar{D} სივრცეში კომპლექსური ფუნქციებისა, რომელნიც კვადრატ ინტეგრებადი არიან D არეში; $x=(x_1, \dots, x_n)$ სკალარული ნაწარმოები \bar{D} სივრცეში მოიცემა ფორმულით:

$$[u(x), v(x)] = \int_D \dots \int u(x) \overline{v(x)} dx. \quad (2)$$

A ოპერატორის შეუღლებულ ოპერატორს ჩვენ აღვნიშნავთ A^* -ით. A ოპერატორის განსაზღვრის არე აღინიშნება Ω_A -თი, ხოლო ამ ოპერატორის ცვალების არე R_A -თი: $R_A = \Omega_{A^*}$.

$\Omega^0(D)$ -თი ჩვენ აღვნიშნავთ ყველა კომპლექსურ $u^0(x)$ ფუნქციათა სიმრავლეს, რომელთაგან ყოველი უსასრულოდ წარმოებადია და ნულად იქცევა D არის რაიმე სასაზღვრო ზოლში.

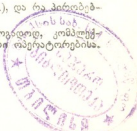
იმ ოპერატორთა შესახებ, რომელნიც (1) განტოლებაში შედიან, ჩვენ ვუწვებთ, რომ:

1) ყოველ $v^0(x) \in \Omega^0(D)$ ფუნქციისათვის $A_{ik}v^0(x)$ და $C_iv^0(x)$ ფუნქციები უწყვეტად წარმოებადი არიან x_i კოორდინატის მიმართ D არეში, ხოლო $A_{ik}^0v^0(x)$ და $B_i^0v^0(x)$ ფუნქციები უწყვეტად წარმოებადი არიან x_k კოორდინატის მიმართ D არეში, ამასთანავე

$$\frac{\partial}{\partial x_i} A_{ik}v^0(x) \in \bar{D}, \quad \frac{\partial}{\partial x_i} C_iv^0(x) \in \bar{D}, \quad \frac{\partial}{\partial x_k} A_{ik}^0v^0(x) \in \bar{D}, \quad \frac{\partial}{\partial x_k} B_i^0v^0(x) \in \bar{D};$$

⁽¹⁾ მე-8 პუნქტში ჩვენ ვუჩვენებთ რა სახის განტოლებებზე, გარდა (1), და რა პირობებში გაერთეულებდა ყველა ქვემოთყვანილი შედეგი.

⁽²⁾ კერძოდ, ესენი შეიძლება იყვნენ ოპერატორები ფუნქციაზე (სახოადოდ, კომპლექსურზე) გარდამავლებისა და \bar{D} ჯამი ასეთი ოპერატორებისა და ინტეგრალური ოპერატორებისა.



2) ყოველი $u^0(x) \in \Omega^0(D)$ ფუნქციისათვის შესრულებულია უტოლობა

$$\sum_{i,k=1}^n \left[(A_{ik} + A_{ik}^*) \frac{\partial u^0(x)}{\partial x_i}, \frac{\partial u^0(x)}{\partial x_k} \right] \equiv \mu \sum_{i=1}^n \left[\frac{\partial u^0(x)}{\partial x_i}, \frac{\partial u^0(x)}{\partial x_i} \right], \quad (3)$$

სადაც μ რაღაც მუდმივია, დამოუკიდებელი $u^0(x)$ -საგან.

შენიშვნა. ყველაფერი ქვემოაღნიშნული ძალაში რჩება მაშინაც, როცა (3) უტოლობა შესრულებულია არა A_{ik} ოპერატორებისთვის, არამედ $A_{ik}^* = A_{ik} - v_{ik}$ ოპერატორისათვის, სადაც v_{ik} რაიმე სავსებით უწყვეტი ოპერატორებია. მიუხედავად ამისა, წერის შემოკლებისთვის, ჩვენ ჩავატარებთ მსჯელობას იმ დაშვებით, რომ აღვნიშნავთ (3) უტოლობას.

(1) განტოლებისათვის განიხილება პირველი ერთგვაროვანი სასაზღვრო ამოცანა: ვიპოვოთ (1) განტოლების ისეთი ამოხსნა, რომელიც აკმაყოფილებს სასაზღვრო პირობას

$$u|_r = 0, \quad (4)$$

სადაც r საზღვარია D არისა, ამასთან ჩვენ ვგულისხმობთ, რომ $u(x)$ ფუნქცია აკმაყოფილებს (4) პირობას, თუ იგი მას აკმაყოფილებს ს. სობოლევის აზრით (იხ. [1] ან [3]).

2. (1) განტოლებისათვის პირველი სასაზღვრო ამოცანის ამოხსნადობის თეორემის ჩამოყალიბებამდე დავამტკიცოთ რამდენიმე ლემა.

შემოვიღოთ ოპერატორი G^0

$$G^0 u^0(x) = \left(\frac{\partial u^0(x)}{\partial x_1}, \dots, \frac{\partial u^0(x)}{\partial x_n} \right),$$

რომელიც განსაზღვრულია $\Omega^0(D)$ არეზე; $G^0 u^0(x)$ და $G^0 v^0(x)$ ვექტორთა სკალარული ნამრავლი განესაზღვროთ ფორმულით

$$\{G^0 u^0(x), G^0 v^0(x)\} = \frac{1}{2} \sum_{i,k=1}^n \left[(A_{ik} + A_{ik}^*) \frac{\partial u^0(x)}{\partial x_k}, \frac{\partial v^0(x)}{\partial x_i} \right]. \quad (5)$$

$G^0 u^0(x)$ სახის ვექტორთა მრავალსახეობა, რომელშიაც სკალარული ნამრავლი განსაზღვრულია (5) ფორმულით, აღვნიშნოთ $R^0(D)$ -თი. (3) უტოლობის ძალით,

$$\{G^0 u^0(x), G^0 u^0(x)\} \equiv \mu_2 \sum_{i=1}^n \left[\frac{\partial u^0(x)}{\partial x_i}, \frac{\partial u^0(x)}{\partial x_i} \right] \equiv \mu_1 [u^0(x), u^0(x)]^{(1)}, \quad (6)$$

საიდანაც გამომდინარეობს, რომ G^0 ოპერატორს, რომელიც $\Omega^0(D)$ -ს ასახავს $R^0(D)$ -ზე, აქვს შემოსაზღვრული შებრუნებული ოპერატორი $(G^0)^{-1}$.

აღვნიშნოთ $R(D)$ -თი $R^0(D)$ მრავალსახეობის შეკვრა, G -თი— G^0 ოპერატორის შეკვრა: $\overline{G^0} = G$, რადგან G^0 ოპერატორს აქვს შემოსაზღვრული შებრუნებული, ამიტომ G ოპერატორის განსაზღვრის არე $R\overline{G}$ ემთხვევა $R(D)$ -ს: $R\overline{G} = R(D)$.

(¹ უკანასკნელი უტოლობა დამტკიცებულია, მაგალითად, [5] წიგნის VII თავში.

ყოველ ფუნქციას $u(x) \in \Omega_G$, ცხადია, გააჩნია ს. სობოლევის აზრით განზოგადებული წარმოებულნი. თუ არის საზღვარი Γ საკმაოდ გლუვია, მაშინ ყოველი ფუნქცია $u(x) \in \Omega_G$ აკმაყოფილებს (4) ერთგვაროვან სასაზღვრო პირობას (იხ. [1]).

დავამტკიცოთ ახლა

ლემა 1. ოპერატორი G^{-1} სავსებით უწყვეტია, ხოლო $\frac{\partial}{\partial x_i}$ და G^{-1} ოპერატორთა ნამრაველი, ე. ი. $\frac{\partial}{\partial x_i} G^{-1}$, არის შემოსაზღვრული ოპერატორი.

დამტკიცება. A_u ოპერატორების შემოსაზღვრულობის გამო არსებობს ისეთი M მუდმივი, რომ

$$\{G^0 u^0(x), G^0 u^0(x)\} \equiv M \sum_{i=1}^n \left[\frac{\partial u^0(x)}{\partial x_i}, \frac{\partial u^0(x)}{\partial x_i} \right]. \quad (7)$$

აქედან და (7)-ის პირველი უტოლობიდან გამომდინარეობს, რომ მეტრიკა, რომელიც განსაზღვრულია (5) ფორმულით $R^0(D)$ მრავალსახეობაში, და მეტრიკა, განსაზღვრული ამავე მრავალსახეობაში (7) მარჯვენა მხარის ჯამით, ეკვივალენტურია. მაშასადამე, ორივე ეს მეტრიკა ეკვივალენტურია $R(D)$ სივრცეშიც, რომელიც შეკვრაა $R^0(D)$ -სი. აქედან ვ. კონდრაშევის თეორემის ძალით ჩართვის ოპერატორის სავსებით უწყვეტობის შესახებ (იხ. [1]), გამოვდინარეობს, რომ ოპერატორი G^{-1} , რომელიც $R(D)$ -ს ასახავს Ω_G -ზე:

$$G^{-1} \left(\frac{\partial u}{\partial x_1}, \dots, \frac{\partial u}{\partial x_n} \right) = u(x) \quad (u(x) \in \Omega_G),$$

არის სავსებით უწყვეტი.

შეენიშნოთ შემდეგ, რომ

$$\frac{\partial}{\partial x_i} G^{-1} \left(\frac{\partial u}{\partial x_1}, \dots, \frac{\partial u}{\partial x_n} \right) = \frac{\partial u}{\partial x_i},$$

საიდანაც (7) უტოლობის ძალით გამომდინარეობს $\frac{\partial}{\partial x_i} G^{-1}$ ოპერატორის შემოსაზღვრულობა.

3. შეპოვილთ ახლა დივერგენციის ტიპის ოპერატორი G^* , როგორც შეუღლებული ოპერატორი G ოპერატორისა. ვექტორი

$$Gu = \left(\frac{\partial u}{\partial x_1}, \dots, \frac{\partial u}{\partial x_n} \right),$$

სადაც $u(x) \in \Omega_G$, ეკუთვნის G^* ოპერატორის განსაზღვრის არეს Ω_{G^*} , თუ არსებობს ისეთი ფუნქცია $h(x) \in \Omega$, რომ

$$\{Gu(x), G^0 v^0(x)\} = [h(x), v^0(x)] \quad (8)$$

როგორც არ უნდა იყოს $v^0(x) \in \Omega^0(D)$. ამ შემთხვევაში ჩვენ ავიღებთ $G^*(Gu) = h$. (8) დამოკიდებულის ძალით $G^* = (G^0)^*$, და რადგან $\overline{G^0} = G$, ამიტომ G^* შეუღლებული ოპერატორია G -სი: $G^* = (\overline{G^0})^* = (G)^*$.

1) პირობის ძალით ყოველი ვექტორი $Gu^0(x) \in R^0(D)$ ეკუთვნის Ω_G -ს, საიდანაც

$$G^*(Gu^0(x)) = -\frac{1}{2} \sum_{i,k=1}^n \frac{\partial}{\partial x_i} (A_{ik} + A_{ki}^*) \frac{\partial}{\partial x_k} u^0(x). \quad (9)$$

სამართლიანია შემდეგი ლემა.

ლემა 2. ოპერატორი $(G^*)^{-1}$ სავსებით უწყვეტია, ხოლო G^{*-1} და $\frac{\partial}{\partial x_i}$ ოპერატორთა ნამრავლი, ე. ი. $G^{*-1} \frac{\partial}{\partial x_i}$ ($i=1, \dots, n$), წარმოადგენს შემოსახლვრულ ოპერატორს. ამასთან $\frac{\partial}{\partial x_i}$ ოპერატორის განსახლვრის არის $\Omega_{\frac{\partial}{\partial x_i}}$ ელემენტებად საქმარისია ვიგულისხმით ყველა ის უწყვეტი ფუნქცია $h(x) \in \mathfrak{H}$, რომელთაც აქვე უწყვეტი წარმოებულები $\frac{\partial h(x)}{\partial x_i} \in \mathfrak{H}$.

დამტკიცება. G^{*-1} ოპერატორის სავსებით უწყვეტობა გამომდინარეობს იქიდან, რომ G^{*-1} ოპერატორი შეუღლებულია G^{-1} -თან, ეს უქანასკნელი კი, ლემა 1-ის ძალით, სავსებით უწყვეტია. $G^{*-1} \frac{\partial}{\partial x_i}$ ოპერატორის შემოსახლვრულობა იქნება დადგენილი, თუ ჩვენ ვაჩვენებთ, რომ იგი წარმოადგენს ნაწილს $-\frac{\partial}{\partial x_i} (G^0)^{-1}$ ოპერატორის შეუღლებული ოპერატორისას: $G^{*-1} \frac{\partial}{\partial x_i} = \left(-\frac{\partial}{\partial x_i} (G^0)^{-1} \right)^*$. ეს უქანასკნელი დამოკიდებულება მოწმდება უშუალოდ:

$$\left\{ G^{*-1} \frac{\partial}{\partial x_i} \bar{h}, G^0 u^0 \right\} = \left[\frac{\partial}{\partial x_i} \bar{h}, u^0 \right] = \left[\bar{h}, -\frac{\partial}{\partial x_i} (G^0)^{-1} G^0 u^0 \right], \quad (10)$$

სადაც u^0 ნებისმიერი ფუნქციაა $\Omega^0(D)$ -სი. აქ ჩვენ ვისარგებლეთ დამოკიდებულებით $(G^{*-1})^* = G^{-1}$. (10) ფორმულიდან გამომდინარეობს, რომ

$$G^{*-1} \frac{\partial}{\partial x_i} = \left(-\frac{\partial}{\partial x_i} (G^0)^{-1} \right)^*.$$

შენიშნით, რომ $\frac{\partial}{\partial x_i} (G^0)^{-1}$ ოპერატორის შეკვრა $\overline{\frac{\partial}{\partial x_i} (G^0)^{-1}} = \frac{\partial}{\partial x_i} G^{-1}$

და, მაშასადამე, $G^{*-1} \frac{\partial}{\partial x_i} = \left(-\frac{\partial}{\partial x_i} (G^0)^{-1} \right)^*$.

ზემოაღნიშნული ლემებიდან ადვილად გამომდინარეობს

ლემა 3. $R^0(D)$ მრავალსახეობაზე განხილული ოპერატორის

$$-\frac{1}{2i} \sum_{i,k=1}^n G^{*-1} \frac{\partial}{\partial x_i} (A_{ik} - A_{ki}^*) \frac{\partial}{\partial x_k} G^{-1} = K \quad (11)$$

შეკვრა წარმოადგენს შემოსაზღვრულ და თვითშეუღლებულ ოპერატორს, ხოლო ამავე $R^0(D)$ მრავალსახეობაზე განხილული ოპერატორის

$$\sum_{i=1}^n G^{*-1} \left(B_i \frac{\partial}{\partial x_i} + \frac{\partial}{\partial x_i} C_i \right) G^{-1} + G^{*-1} F G^{-1} = T \quad (12)$$

შეკვრა წარმოადგენს სავსებით უწყვეტ ოპერატორს (რომელიც განსაზღვრულია მთელს $R(D)$ სივრცეზე).

დამტკიცება. უპირველეს ყოვლისა შევნიშნოთ, რომ 1) პირობის ძალით (11) და (12) ოპერატორები განსაზღვრულია $R^0(D)$ -ზე, (11) ოპერატორის შემოსაზღვრულობა გამომდინარეობს იქიდან, რომ იგი წარმოადგენს

შემოსაზღვრულ ოპერატორთა $\frac{\partial}{\partial x_i} G^{-1}$ (შემოსაზღვრულნი არიან ლემა 1-ის

ძალით), $A_{ik} - A_{ki}$ და $G^{*-1} \frac{\partial}{\partial x_i}$ (შემოსაზღვრულნი არიან ლემა 2-ის ძალით)

ნამრავლის ჯამს. (12) ოპერატორი სავსებით უწყვეტია იმიტომ, რომ იგი წარმოადგენს ორი შემოსაზღვრული და ერთი სავსებით უწყვეტი ოპერატორის

ნამრავლთა ჯამს (მაგალითად, ოპერატორი $G^{*-1} B_i \frac{\partial}{\partial x_i} G^{-1}$ სავსებით

უწყვეტია იმიტომ, რომ $\frac{\partial}{\partial x_i} G^{-1}$ და B_i შემოსაზღვრული ოპერატორებია, ხოლო

G^{*-1} სავსებით უწყვეტი ოპერატორია).

დარჩა დავამტკიცოთ (11) ოპერატორის შეკვრის თვითშეუღლებულობა. იგი გამომდინარეობს მისი შემოსაზღვრულობიდან და სიმეტრიულობიდან $R^0(D)$ მრავალსახეობაზე. უკანასკნელი გარემოება მოწმდება უშუალოდ.

შევნიშნოთ, რომ T ოპერატორის შეუღლებული ოპერატორი T^* შემოსაზღვრულია, ამასთან

$$T^* = - \sum_{i=1}^n G^{*-1} \left(\frac{\partial}{\partial x_i} B_i^* + C_i^* \frac{\partial}{\partial x_i} \right) G^{-1} + G^{*-1} F^* G^{-1}. \quad (13)$$

4. აღწეროთ ახლა L ოპერატორის განსაზღვრის არე Ω_L , რომელიც შეესაბამება (4) ნულოვან სასაზღვრო პირობას, ე. ი. ის მაქსიმალური მრავალსახეობა ფუნქციათა, რომლებიც აკმაყოფილებენ (გარკვეული აზრით) (4) სასაზღვრო პირობას და რომლებზედაც შეიძლება ვიმოქმედოთ L ოპერატორით $\bar{\Omega}$ სივრცეში.

განმარტება. $u(x)$ ფუნქცია ეკუთვნის Ω_L -ს, თუ $u(x) \in \Omega_G$ და ვექტორი

$$(E + i\bar{K} + \bar{T}) Gu(x) \in \Omega_G \quad (14)$$

($\bar{\Omega}$ ალნიშნავს ჩაკრტვას; E ერთეულოვანი ოპერატორია). L ოპერატორის მნიშვნელობა $u(x) \in \Omega_L$ ფუნქციაზე განისაზღვრება ფორმულით

$$Lu(x) = G^*(E + i\bar{K} + \bar{T}) Gu(x). \quad (15)$$

(9), (11) და (12) ფორმულების მიხედვით, ყოველი ფუნქციისათვის $u^*(x) \in \Omega^0(D)$ მნიშვნელობანი $Lu^*(x)$, გამოთვლილი (1) და (15) ფორმულებით, ერთმანეთს ემთხვევა. ადვილია აგრეთვე შემოწმება, რომ ყოველი გლუვი ფუნქცია $u(x)$, რომლისთვისაც (1) განტოლების მარცხენა მხარეს აზრი აქვს, ამასთან $Lu(x) \in \Omega$, ეკუთვნის Ω_L და მნიშვნელობები $Lu(x)$, გამოთვლილი (1) და (15) ფორმულებით, ერთმანეთს ემთხვევა. ამგვარად, Ω_L ერთიანებს ყველა იმ $u(x)$ ფუნქციას, რომლებიც აკმაყოფილებენ (განზოგადებული აზრით) (4) ერთგვაროვან სასაზღვრო პირობას (ეს გამომდინარეობს იქიდან, რომ $\Omega_L \subset \Omega_0$) და რომლებზედაც შესაძლებელია აღებულ იქნეს L ოპერატორი.

განვიხილოთ (1) განტოლებასთან ერთად მასთან შეუღლებული (ფორმალურად) განტოლება

$$L^*v \equiv - \sum_{i,k=1}^n \frac{\partial}{\partial x_k} A_{ik}^* \frac{\partial}{\partial x_i} v(x) - \sum_{i=1}^n \left(\frac{\partial}{\partial x_i} B_i^* + C_i^* \frac{\partial}{\partial x_i} \right) v(x) + F^*v(x) = g(x). \quad (16)$$

ანალოგიურად შემოაღნიშნულისა, ჩვენ აღწერთ L^* ოპერატორის განსაზღვრის Ω_{L^*} არეს, შესაბამისს (4) ნულოვანი სასაზღვრო პირობებისას, და L^* ოპერატორის მნიშვნელობას ფუნქციებზე $v(x) \in \Omega_{L^*}$:

$$L^*v(x) = G^*(E - i\bar{K} + \bar{T}^*) Gv(x), \quad (17)$$

სადაც \bar{T}^* ოპერატორი განსაზღვრულია (13) ფორმულით.

სამართლიანია შემდეგი

თეორემა. განტოლებებისათვის

$$\text{და } Lu(x) = f(x) \quad (u(x) \in \Omega_L) \quad (18)$$

$$L^*v(x) = g(x) \quad (v(x) \in \Omega_{L^*}), \quad (19)$$

სადაც Lu და L^* მნიშვნელობები განსაზღვრულია (15) და (17) ფორმულებით, ადგილი აქვს ფრედჰოლმის ცნობილი სამი თეორემის ანალოგიურ თეორემებს (დაწვრილებითი ფორმულირება იხ. ჩემს ნაშრომში [3]).

სხვა სიტყვებით, პირველი სასაზღვრო ამოცანის შემთხვევაში (1) და (16) განტოლებებისათვის ადგილი აქვს აღნიშნულ სამ თეორემას.

დამტკიცება. ავიღოთ (18) და (19) განტოლების ორივე მხარიდან G^{*-1} ოპერატორი; მაშინ (15) და (17) ფორმულათა გათვალისწინებით მივიღებთ მათ ეკვივალენტურ შემდეგ განტოლებებს:

$$(E + i\bar{K} + \bar{T}) Gu(x) = G^{*-1}f(x) \quad (u(x) \in \Omega_L), \quad (20)$$

$$(E - i\bar{K} + \bar{T}^*) Gv(x) = G^{*-1}g(x) \quad (v(x) \in \Omega_{L^*}). \quad (21)$$

რადგან ოპერატორი \bar{K} თვითშეუღლებულია (ლემა 3 ძალით), ანიტომ ოპერატორებს $E + i\bar{K}$ და $E - i\bar{K}$ აქვთ შემოსაზღვრული შებრუნებული: $(E + i\bar{K})^{-1}$ და $(E - i\bar{K})^{-1}$. მაშასადამე, (20) და (21) განტოლებებს შეიძლება მივცეთ შემდეგი (მათი ეკვივალენტური) სახე:

$$(E + (E + i\bar{K})^{-1}\bar{T}) Gu(x) = (E + i\bar{K})^{-1}G^{*-1}f(x) \quad (u(x) \in \Omega_L), \quad (22)$$

$$(E + \bar{T}^*(E - i\bar{K})^{-1}) Gv'(x) = G^{*-1}g(x) \quad (v'(x) \in \Omega_G), \quad (23)$$

ამასთან უკანასკნელ განტოლებაში ჩვენ ავიღეთ $(E - i\bar{K}) Gv(x) = Gv'(x)$ ($E - i\bar{K}$ ოპერატორი, ცხადია, მოქმედებს $R(D)$ სივრცეში). საკმარისია ახლა შევნიშნოთ, რომ $(E + i\bar{K})^{-1}\bar{T}$ და $\bar{T}^*(E - i\bar{K})^{-1}$ არიან ურთიერთშეუღლებული და სავსებით უწყვეტი ოპერატორები (რადგან \bar{T} და \bar{T}^* სავსებით უწყვეტნი არიან). მაშასადამე, თუ (22) და (23) განტოლებებში $Gu(x)$ და $Gv'(x)$ ვექტორებს უცნობებად ჩავთვლით, მაშინ მათთვის, რისის თეორიის ძალით, სამართლიანი იქნება ფრედჰოლმის სამი თეორემა. აქედან, ზემოაღნიშნული ეკვივალენტობის ძალით, აღვიღია შემოწმება, რომ ამ სამ თეორემას ადგილი აქვს აგრეთვე (18) და (19) განტოლებებისათვის.

5. შევნიშნოთ ახლა, რომ თუ ერთგვაროვან განტოლებას $Lu(x) = 0$ ($u \in \Omega_L$) აქვს მხოლოდ ნულოვანი ამოხსნა, მაშინ, დამტკიცებული თეორემის ძალით, განტოლება $Lu(x) = f(x)$ ამოხსნადი იქნება ნებისმიერი მარჯვენა მხარისათვის $f(x) \in \Omega$ და, მაშასადამე, L ოპერატორს აქვს შებრუნებული L^{-1} , რომელიც განსაზღვრულია მთელს Ω -ზე.

ვაჩვენოთ, რომ განსახილავ შემთხვევაში ოპერატორი L^{-1} სავსებით უწყვეტია. მართლაც, (20)-ის შესაბამ ერთგვაროვან განტოლებას: $(E + i\bar{K} + \bar{T}) Gu = 0$ აგრეთვე მხოლოდ ნულოვანი ამოხსნა აქვს და, მაშასადამე, $E + i\bar{K} + \bar{T}$ ოპერატორს (როგორც ჯამს შებრუნებადი $E + i\bar{K}$ ოპერატორისას და სავსებით უწყვეტი \bar{T} ოპერატორისას) აქვს შემოსაზღვრული შებრუნებული $(E + i\bar{K} + \bar{T})^{-1}$. აქედან ოპერატორი $L^{-1} = G^{-1}(E + i\bar{K} + \bar{T})^{-1}G^{*-1}$ სავსებით უწყვეტია, რადგან იგი წარმოადგენს ნამრავლს ორი სავსებით უწყვეტი (G^{-1} და G^{*-1}) და ერთი შემოსაზღვრული $((E + i\bar{K} + \bar{T})^{-1})$ ოპერატორებისას.

6. პირველი სასაზღვრო ამოცანა განტოლებისთვის

$$Lu(x) \equiv - \sum_{k=1}^n \frac{\partial}{\partial x_k} A_{kk} \frac{\partial}{\partial x_k} u(x) + Fu(x) = f(x), \quad (24)$$

რომელიც აკმაყოფილებს 1) და 2) პირობებს, გარდა ამისა $Re[Fu, u] \equiv 0$, ამოხსნადია ნებისმიერი მარჯვენა მხარისათვის $f(x) \in \Omega$. მართლაც, ამ პირობებში $Re[Lu, u] > 0$ ყოველი ფუნქციისათვის $u(x) \in \Omega_L$, $u \neq 0$, და, მაშასადამე, ერთგვაროვან განტოლებას $Lu(x) = 0$ ($u \in \Omega_L$) აქვს მხოლოდ ნულოვანი ამოხსნა. $n = 5$ -ის ძალით, აქედან გამოდინარობს, რომ (24) განტოლებას ნებისმიერი მარჯვენა მხარისათვის $f(x) \in \Omega$ აქვს ერთადერთი ამოხსნა $u(x) \in \Omega_L$, ამასთან სათანადო ოპერატორი L^{-1} სავსებით უწყვეტია.

7. თუ $A_{kk} = A_{kk}^*$ და $F = F^*$, მაშინ ოპერატორი $Lu(x)$, განხილული Ω_L არეზე, რომელიც შეესაბამება (4) ერთგვაროვან სასაზღვრო პირობებს, არის თვითშეუღლებული (ოპერატორთა თეორიის თვალსაზრისით). მართლაც, ამ შემთხვევაში $Lu = G^*Gu + Fu$ ($u \in \Omega_L$) (შეად. [4]).

8. შევნიშნოთ, რომ შემდეგი სახის განტოლება

$$\sum_{l, k=1}^n \tilde{A}_{lk} \frac{\partial^2}{\partial x_l \partial x_k} u + \dots = f \quad (25)$$

შეიყვანება (1) სახემდე, თუ შესრულებულია კომპუტაცივობის შემდეგი პირობები:

$$\tilde{A}_{lk} \frac{\partial}{\partial x_l} v - \frac{\partial}{\partial x_l} A_{lk} v = W_{lk} v, \quad (26)$$

სადაც W_{lk} შემოსაზღვრული ოპერატორია. იმისათვის, რომ ყველა ზემოთ გაკეთებული დასკვნა გავრცელდეს (25) განტოლების შემთხვევაში პირველ სასაზღვრო ამოცანაზე, საკმარისია მოვითხოვოთ (26) დამოკიდებულების შესრულება ყველა ფუნქციისათვის $\varphi(x) \in \Omega^0(D)$ და 1), 2) პირობების შესრულება A_{lk} ოპერატორებისათვის.

ანალოგიური შენიშვნა შეიძლება გავაკეთოთ აგრეთვე შემდეგი სახის განტოლების მიმართ:

$$\sum_{l, k=1}^n \frac{\partial^2}{\partial x_l \partial x_k} \bar{A}_{lk} u + \dots = f. \quad (27)$$

9. ზემომოყვანილ მსჯელობათა სავსებით ანალოგიურად შეიძლება განვიხილოთ პირველი სასაზღვრო ამოცანა $2m$ რიგის ოპერატორულკოეფიციენტებიანი განტოლებისათვის და $2m$ რიგის ოპერატორულკოეფიციენტებიანი განტოლებათა სისტემისათვის (შეად. [3]) (უკანასკნელ შემთხვევაში $u(x)$ -ის სახით, მაგალითად, (1) განტოლებაში, საჭიროა ვიგულისხმოთ ვექტორ-ფუნქცია).

პირველი სასაზღვრო ამოცანის დაწვრილებით განხილვას განტოლებათა სისტემის შემთხვევაში (რომელთა კოეფიციენტები ფუნქციებია) მიეძღვნება ცალკე წერილი.

(რედაქციას მოუვიდა 6.4.1951)

დამოწმებული ლიტერატურა

1. С. Л. Соболев. Некоторые применения функционального анализа в математической физике. Ленинград, 1950.
2. С. Л. Соболев. Об одной краевой задаче для полигармонических уравнений. Матем. Сб., т. 2 (44), 1937.
3. М. И. Вишик. О сильно эллиптических системах дифференциальных уравнений. ДАН, т. LXXIV, № 5, 1950.
4. K. Friedrichs. On differential operators in Hilbert Space, Amer. Journ. of Math., v. 61, p. 523, 1939.
5. Р. Курант и Д. Гильберт. Методы математической физики, т. 2, Москва. 1945.



დრეკადობის თეორია

ა. რუხაძე

სხვადასხვა დრეკადი მასალისაგან შემდგენილი ბუნებრივად დაზრდილი პრიზმული ძელების ბაჰინმის ამოცანა

(წარმოადგინა აკადემიის ნამდვილმა წევრმა ვ. კუპრაძემ 25.10.1951)

როგორც ცნობილია, ერთგვაროვანი პრიზმული ძელების გაქიმვის, გრეზვისა და ლუნვის ამოცანები კარგადაა შესწავლილი. იგივე ამოცანები სხვადასხვა დრეკადი მასალისაგან შედგენილი პრიზმული ძელებისათვის ზოგად შემთხვევაში პირველად ამოხსნილ იქნა აკადემიკოს ნ. მუსხელიშვილისა [1] და ჩვენ მიერ [2].

წინამდებარე შრომის მიზანია ზემოაღნიშნული ამოცანების განზოგადება ბუნებრივად დაგრეხილი შედგენილი ძელებისათვის.

ბუნებრივად დაგრეხილი ერთგვაროვანი ძელების გრეზვისა და ლუნვის ამოცანები ძირითადად შესწავლილია ს. ტუმარკინის [3], პ. რიზის [4], ა. ლუროისა და გ. ჯანელიძის [5] და აგრეთვე ჩვენ მიერ [6].

წინამდებარე წერილში, ვსარგებლობთ რა მეთოდით, რომელიც აღწერილია შრომაში [2], ჩვენ ვიძლევიტ სხვადასხვა მასალისაგან შედგენილი ბუნებრივად დაგრეხილი პრიზმული ძელებისათვის გრძივი ძალით გაქიმვის ამოცანის ამოხსნას.

1. ვთქვათ, გვაქვს ძელი, შედგენილი რივი პარალელური მთლიანი ძელებისაგან, რომლებიც ერთმანეთს არ ეხებიან, მაგრამ მათ შორის და ძელების შემომსაზღვრელ ცილინდრულ ზედაპირს შორის მყოფი არე შეესებულა დრეკადი სივრცით. ცილინდრის მსახველები ძელების პარალელურია.

ვიგულისხმობთ აგრეთვე, რომ ძელის განივი კვეთები დაუძაბავ მდგომარეობაში მობრუნებულია ერთმანეთის მიმართ ისე, რომ მათი სიბრტყეები ურთიერთპარალელური რჩება.

კოორდინატთა სათავე მოვათავსოთ დამაგრებული ფუძის ინერციის განზოგადებულ ცენტრში¹, Ox ღერძი მიენართოთ ძელის გვერდითი ზედაპირის მსახველების პარალელურად, ხოლო Ox და Oy ღერძებად ავიღოთ აღნიშნული ფუძის ინერციის განზოგადებული მთავარი ღერძები.

ასეთი ძელის განივი კვეთი შედგება S_j ($j = 1, 2, \dots, m$) არეებისაგან, რომლებიც ძელების განივ კვეთას შეესაბამებიან, და S_0 არისაგან, რომელიც შემომსაზღვრელ მასალას შეესაბამება. S_j ($j = 1, 2, \dots, m$) არეების საზღვრები აღვნიშნოთ L_j -ით ($j = 1, 2, \dots, m$), მაშინ S_0 არის საზღვარი იქნება შეკრული

¹ ამ ცენტრის განმარტება იხ. ქვემოთ.



L_1, L_2, \dots, L_{m+1} კონტურები, რომელთაგან უკანასკნელი შეიცავს თავის შიგნით ყველა დანარჩენს.

დაეუშვათ აგრეთვე, რომ ძელის გვერდითი ზედაპირი თავისუფალი გარე ძალებისაგან, გადაადგილების u, v და w კომპონენტები რჩება უწყვეტი, როდესაც გადავდივართ ერთი გარემოდან მეორეში, ხოლო ძალები, რომლებიც მოქმედებენ სხვადასხვა მასალის არეთა საზღვრის ველემენტებზე, სრილით ტოლია და საწინააღმდეგოდაა მიმართული.

აღნიშნოთ $\lambda_j, \mu_j, E_j, \sigma_j$ -ით ($j = 1, 2, \dots, m$) ძელების შესაბამისი დრეკადი მუდმივები, ხოლო $\lambda_0, E_0, \mu_0, \sigma_0$ -ით — შემომსაზღვრელი მასალის დრეკადი მუდმივები.

ვთქვათ, საწყისი მდებარეობის მიმართ z კვეთის მობრუნება ხასიათდება $\alpha(z)$ კუთხით; ჩვენ განვიხილავთ თანაბარ მობრუნებას, ე. ი. შემთხვევას, როცა

$$\alpha(z) = kz,$$

სადაც k მცირე პარამეტრია, რომლის კვადრატი და უფრო მაღალი ხარისხები შეიძლება უკუგდებულ იქნეს.

შევიწინოთ პ. რ ი ხ ის [4] აღნიშვნები და შემოვიღოთ კოორდინატთა შემდეგი სისტემა:

$\xi = x \cos \alpha(z) - y \sin \alpha(z), \quad \eta = x \sin \alpha(z) + y \cos \alpha(z), \quad \zeta = z,$
რომელიც ჩვენს შემთხვევაში k^2 სიზუსტით გადაიწერება ასე:

$$\xi = x - ky\zeta, \quad \eta = y + kx\zeta, \quad \zeta = z. \quad (1.1)$$

ვთქვათ,

$$F_j(x - ky\zeta, y + kx\zeta) = 0 \quad (j = 1, 2, \dots, m) \quad (1.2)$$

სხვადასხვა მასალის გამოყოფ ზედაპირთა განტოლებებია, ხოლო

$$F_{m+1}(x - ky\zeta, y + kx\zeta) = 0 \quad (1.2')$$

განსახილავი ძელის გვერდითი ზედაპირის განტოლება.

(ξ, η, ζ) სივრცეში (1.2) და (1.2') ზედაპირთა განტოლებები მიიღებს სახეს:

$$F_j(\xi, \eta) = 0 \quad (j = 1, 2, \dots, m+1), \quad (1.3)$$

ე. ი. ყველა კვეთის $\alpha = kz$ კუთხით მობრუნება განსახილავ ძელს პრიზმულში გადაიყვანს.

დამოკიდებულებანი ξ, η, ζ და x, y, z კოორდინატებით წარმოებულებს შორის, ხსენებული სიზუსტით იქნება:

$$\frac{\partial}{\partial x} = \frac{\partial}{\partial \xi} + k\zeta \frac{\partial}{\partial \eta}, \quad \frac{\partial}{\partial y} = \frac{\partial}{\partial \eta} - k\zeta \frac{\partial}{\partial \xi}, \quad \frac{\partial}{\partial z} = \frac{\partial}{\partial \zeta} + k \left(\xi \frac{\partial}{\partial \eta} - \eta \frac{\partial}{\partial \xi} \right), \quad (1.4)$$

ვიპოვოთ აგრეთვე ზემოაღნიშნული სიზუსტით დამოკიდებულება (1.2), (1.2') და (1.3) ზედაპირების ნორმალების მიმართულების კოსინუსებს შორის; ცხადია, რომ:

$$\cos \widehat{n_j x} = N_j \frac{\partial F_j}{\partial x}, \quad \cos \widehat{n_j y} = N_j \frac{\partial F_j}{\partial y}, \quad \cos \widehat{n_j z} = N_j \frac{\partial F_j}{\partial z},$$

სადაც

$$N_j = \left[\left(\frac{\partial F_j}{\partial x} \right)^2 + \left(\frac{\partial F_j}{\partial y} \right)^2 + \left(\frac{\partial F_j}{\partial z} \right)^2 \right]^{-\frac{1}{2}}.$$

ჩვენს შემთხვევაში, k^2 სიზუსტით, გვაქვს:

$$N_j = \left[\left(\frac{\partial F_j}{\partial \xi} \right)^2 + \left(\frac{\partial F_j}{\partial \eta} \right)^2 \right]^{-\frac{1}{2}},$$

ამიტომ გვექნება:

$$\begin{aligned} \cos \widehat{n_j x} &= \cos \widehat{n_j \xi} + k^2 \cos \widehat{n_j \eta}, \quad \cos \widehat{n_j y} = \cos \widehat{n_j \eta} - k^2 \cos \widehat{n_j \xi}, \\ \cos \widehat{n_j z} &= k (\xi \cos \widehat{n_j \eta} - \eta \cos \widehat{n_j \xi}). \end{aligned} \quad (1.5)$$

ქვემოთ ჩვენ ვისარგებლებით ამ ფორმულებით და წონასწორობის ძირითად განტოლებებსა და სასაზღვრო პირობებს გარდაეკმებით ξ, η, ζ კოორდინატებში.

2. დამხმარე ამოცანა. იყოს $u^*(\xi, \eta)$ და $v^*(\xi, \eta)$ შემდეგი ბრტყელი ამოცანის ამოხსნა: $u^*(\xi, \eta)$ და $v^*(\xi, \eta)$ ფუნქციები აკმაყოფილებენ S_j ($j = 0, 1, \dots, m$) არეებში წონასწორობის ერთგვაროვან განტოლებებს:

$$(\lambda_j + \mu_j) \frac{\partial \theta^*}{\partial \xi} + \mu_j \Delta u^* = 0, \quad (\lambda_j + \mu_j) \frac{\partial \theta^*}{\partial \eta} + \mu_j \Delta v^* = 0, \quad \left(\theta^* \equiv \frac{\partial u^*}{\partial \xi} + \frac{\partial v^*}{\partial \eta} \right)$$

L_j ($j = 1, 2, \dots, m$) კონტურებზე აქვთ შემდეგი სახის წყნება:

$$u_j^* - u_0^* = (\sigma_j - \sigma_0) \xi, \quad v_j^* - v_0^* = (\sigma_j - \sigma_0) \eta, \quad (2.1)$$

ხოლო შესაბამისი ძაბვის X_x^*, Y_y^*, X_y^* კომპონენტები აკმაყოფილებენ სასაზღვრო პირობებს:

$$X_x^* \cos \widehat{n \xi} + X_y^* \cos \widehat{n \eta} = 0, \quad Y_x^* \cos \widehat{n \xi} + Y_y^* \cos \widehat{n \eta} = 0 \quad (2.2')$$

L_{m+1} კონტურზე და პირობებს:

$$\begin{aligned} [X_x^* \cos \widehat{n \xi} + X_y^* \cos \widehat{n \eta}]_j &= [X_x^* \cos \widehat{n \xi} + X_y^* \cos \widehat{n \eta}]_0, \\ [Y_x^* \cos \widehat{n \xi} + Y_y^* \cos \widehat{n \eta}]_j &= [Y_x^* \cos \widehat{n \xi} + Y_y^* \cos \widehat{n \eta}]_0 \end{aligned} \quad (2.2'')$$

გამყოფ L_j ($j = 1, 2, \dots, m$) კონტურებზე.

ასეთ ამოცანას ყოველთვის აქვს ამოხსნა (იხ. [1], გვ. 584). $u^{**}(\xi, \eta)$, $v^{**}(\xi, \eta)$ და ასევე $u^{***}(\xi, \eta)$, $v^{***}(\xi, \eta)$ (ამათ შესაბამისად $X_x^{**}, Y_y^{**}, X_y^{**}$ და $X_x^{***}, Y_y^{***}, X_y^{***}$) იყოს ამოხსნები ანალოგიური დამხმარე ამოცანებისა, რომლებშიაც სასაზღვრო (4.1) პირობები შეცვლილია, შესაბამისად, პირობებით:

$$u_j^{**} - u_0^{**} = -\frac{1}{2} (\sigma_j - \sigma_0) (\xi^2 - \eta^2), \quad v_j^{**} - v_0^{**} = -(\sigma_j - \sigma_0) \xi \eta, \quad (2.3')$$

ან

$$u_j^{***} - u_0^{***} = -(\sigma_j - \sigma_0) \xi \eta, \quad v_j^{***} - v_0^{***} = -\frac{1}{2} (\sigma_j - \sigma_0) (\eta^2 - \xi^2). \quad (2.3'')$$

ვუწოდოთ S კვეთის ინერციის განზოგადებული ცენტრი ისეთ წერტილს, რომლის მიმართ აღგილი აქვს ტოლობებს:

$$\sum_{j=0}^m \iint_{S_j} (E_j + \lambda_j \theta^*) \xi d\sigma = 0, \quad \sum_{j=0}^m \iint_{S_j} (E_j + \lambda_j \theta^*) \eta d\sigma = 0, \quad (2.4)$$

როცა კოორდინატთა სათავე მოთავსებულია აღნიშნულ წერტილში.

მარტივად შეიძლება ჩვენება, რომ (2.4) ტოლობები ცალსახად განსაზღვრავს წერტილს—განზოგადებულ ცენტრს და აღნიშნულ წერტილში ყოველ-

თვის შეიძლება $O\xi$ და $O\eta$ ღერძების მიმართულების ასე არჩევა, რომ ადგილი ექნეს აგრეთვე ტოლობას:

$$\sum_{j=0}^m \iint_{S_j} (E_j + \lambda_j \theta^*) \xi \eta d\sigma = 0. \quad (2.5)$$

ასეთ შემთხვევაში ადგილი აქვს აგრეთვე ტოლობებს [1,2]:

$$\begin{aligned} \sum_{j=0}^m \iint_{S_j} (E_j \xi - \lambda_j \theta^{**}) d\sigma &= 0, & \sum_{j=0}^m \iint_{S_j} (E_j \eta - \lambda_j \theta^{***}) d\sigma &= 0, \\ \sum_{j=0}^m \iint_{S_j} (E_j \xi - \lambda_j \theta^{**}) \eta d\sigma &= 0, & \sum_{j=0}^m \iint_{S_j} (E_j \eta - \lambda_j \theta^{***}) \xi d\sigma &= 0. \end{aligned} \quad (2.6)$$

3. გ რ ძ ი ვ ი ძ ა ლ ი თ გ ა ჭ ი მ ვ ე ის ა მ ო ც ა ნ ა. ვიგულისხმობთ, რომ ძალები, რომლებიც მოქმედებენ თავისუფალ $z = l$ ზედაპირზე, სტატიკურად ტოლფასია გამჭვირვალე F ძალისა, რომელიც მოდებულია აღნიშნული ფუძის ინტეგრალის განზოგადებულ ცენტრზე და $O\xi$ ღერძის პარალელურია.

გამოვიღეთ გადაადგილების ვექტორის მდგენელების შემდეგი მნიშვნელობებიდან:

$$u = -a\sigma\xi + au^* + aku_1, \quad v = -a\sigma\eta + av^* + akv_1, \quad w = a\zeta + akw_1, \quad (3.1)$$

რომლებიც $k = 0$ შემთხვევაში იძლევიან გადაადგილების ვექტორის მდგენელებს $F_j(\xi, \eta) = 0$ ($j = 1, 2, \dots, m+1$) ზედაპირებით შემოსაზღვრული შედგენილი ძელის გრძივი ძალით გაჭიმვის ამოცანისათვის, აქ a მუდმივია, ხოლო u_1, v_1 და w_1 —საძიებელი დამატებითი გადაადგილებები.

ძაბვის მდგენელები, რომლებიც შეესაბამებიან გადაადგილების ვექტორის (3.1) მდგენელებს, ნახსენები სიზუსტით, იქნება:

$$\begin{aligned} X_x &= aX_x^* + ak\zeta \left[(\lambda_j + 2\mu_j) \frac{\partial u^*}{\partial \eta} - \lambda_j \frac{\partial v^*}{\partial \xi} \right] + ak\tau_{11}, \\ Y_y &= aY_y^* + ak\zeta \left[\lambda_j \frac{\partial u^*}{\partial \eta} - (\lambda_j + 2\mu_j) \frac{\partial v^*}{\partial \xi} \right] + ak\tau_{22}, \\ Z_x &= aE_j + a\sigma_j (X_x^* + Y_y^*) + ak\zeta \lambda_j \left(\frac{\partial u^*}{\partial \eta} - \frac{\partial v^*}{\partial \xi} \right) + ak\tau_{23}, \\ X_y &= aX_y^* + ak\mu_j \zeta \left(\frac{\partial v^*}{\partial \eta} - \frac{\partial u^*}{\partial \xi} \right) + ak\tau_{12}, \\ X_z &= ak\mu_j \left(\sigma_j \eta + \xi \frac{\partial u^*}{\partial \eta} - \eta \frac{\partial u^*}{\partial \xi} \right) + ak\tau_{13}, \\ Y_z &= ak\mu_j \left(-\sigma_j \xi + \xi \frac{\partial v^*}{\partial \eta} - \eta \frac{\partial v^*}{\partial \xi} \right) + ak\tau_{23}, \end{aligned} \quad (3.2)$$

სადაც $\tau_{11}, \tau_{22}, \dots, \tau_{23}$ ძაბვებია, რომლებიც შეესაბამებიან გადაადგილების u_1, v_1 და w_1 მდგენელებს.

თანხმად (1.4) ფორმულებისა, დრეკადი სხეულის წონასწორობის განტოლებები მიიღებს სახეს:

$$\begin{aligned} \frac{\partial \tau_{11}}{\partial \xi} + \frac{\partial \tau_{12}}{\partial \eta} + \frac{\partial \tau_{13}}{\partial \zeta} + H_j \zeta \frac{\partial U^*}{\partial \xi} &= 0, \\ \frac{\partial \tau_{21}}{\partial \xi} + \frac{\partial \tau_{22}}{\partial \eta} + \frac{\partial \tau_{23}}{\partial \zeta} + H_j \zeta \frac{\partial U^*}{\partial \eta} &= 0, \\ \frac{\partial \tau_{31}}{\partial \xi} + \frac{\partial \tau_{32}}{\partial \eta} + \frac{\partial \tau_{33}}{\partial \zeta} + H_j U^* + \frac{\mu_j (\lambda_j + \mu_j)}{\lambda_j + 2 \mu_j} \left(\xi \frac{\partial U^*}{\partial \xi} + \eta \frac{\partial U^*}{\partial \eta} - U^* \right) &= 0, \end{aligned} \quad (3.3)$$

$S_j (j = 0, 1, \dots, m)$ არეებში,

სადაც $H_j \equiv \frac{(\lambda_j + 3 \mu_j)(\lambda_j + \mu_j)}{\lambda_j + 2 \mu_j}$, ხოლო $U^* \equiv \frac{\partial u^*}{\partial \eta} - \frac{\partial v^*}{\partial \xi}$.

(1.5) ფორმულების თანხმად, სასაზღვრო პირობები თავისუფალ გვერდით ზედაპირზე და გამყოფ ზედაპირებზე მიიღებს სახეს:

$$\begin{aligned} \tau_{11} \cos \widehat{n\xi} + \tau_{12} \cos \widehat{n\eta} + (\lambda_0 + \mu_0) [U^* \cos \widehat{n\xi} + \theta^* \cos \widehat{n\eta}] \zeta &= 0, \\ \tau_{21} \cos \widehat{n\xi} + \tau_{22} \cos \widehat{n\eta} + (\lambda_0 + \mu_0) [-\theta^* \cos \widehat{n\xi} + U^* \cos \widehat{n\eta}] \zeta &= 0, \\ \tau_{31} \cos \widehat{n\xi} + \tau_{32} \cos \widehat{n\eta} + \mu_0 \left[-(2 + \sigma_0) \eta + \xi \frac{\partial u^*}{\partial \eta} - \eta \frac{\partial u^*}{\partial \xi} \right] \cos \widehat{n\xi} &= 0, \\ + \mu_0 \left[(2 + \sigma_0) \xi + \xi \frac{\partial v^*}{\partial \eta} - \eta \frac{\partial v^*}{\partial \xi} \right] \cos \widehat{n\eta} + \lambda_0 \theta^* (\xi \cos \widehat{n\eta} - \eta \cos \widehat{n\xi}) &= 0, \end{aligned} \quad (3.4)$$

L_{m+1} კონტურზე,

$$\begin{aligned} &[\tau_{11} \cos \widehat{n\xi} + \tau_{12} \cos \widehat{n\eta}]_j - [\tau_{11} \cos \widehat{n\xi} + \tau_{12} \cos \widehat{n\eta}]_0 \\ &= [(\lambda_0 + \mu_0) \theta_0^* - (\lambda_j + \mu_j) \theta_j^*] \zeta \cos \widehat{n\eta} + [(\lambda_0 + \mu_0) U_0^* - (\lambda_j + \mu_j) U_j^*] \zeta \cos \widehat{n\xi}, \\ &[\tau_{21} \cos \widehat{n\xi} + \tau_{22} \cos \widehat{n\eta}]_j - [\tau_{21} \cos \widehat{n\xi} + \tau_{22} \cos \widehat{n\eta}]_0 = -[(\lambda_0 + \mu_0) \theta_0^* \\ &\quad - (\lambda_j + \mu_j) \theta_j^*] \zeta \cos \widehat{n\xi} + [(\lambda_0 + \mu_0) U_0^* - (\lambda_j + \mu_j) U_j^*] \zeta \cos \widehat{n\eta}, \quad (3.4'') \\ &[\tau_{31} \cos \widehat{n\xi} + \tau_{32} \cos \widehat{n\eta}]_j - [\tau_{31} \cos \widehat{n\xi} + \tau_{32} \cos \widehat{n\eta}]_0 = [(2 + \sigma_j) \mu_j + \lambda_j \theta_j^* \\ &\quad - (2 + \sigma_0) \mu_0 - \lambda_0 \theta_0^*] (\eta \cos \widehat{n\xi} - \xi \cos \widehat{n\eta}) - \left[\mu_j \left(\xi \frac{\partial u_j^*}{\partial \eta} - \eta \frac{\partial u_j^*}{\partial \xi} \right) \right. \\ &\quad \left. - \mu_0 \left(\xi \frac{\partial u_0^*}{\partial \eta} - \eta \frac{\partial u_0^*}{\partial \xi} \right) \right] \cos \widehat{n\xi} - \left[\mu_j \left(\xi \frac{\partial v_j^*}{\partial \eta} - \eta \frac{\partial v_j^*}{\partial \xi} \right) - \mu_0 \left(\xi \frac{\partial v_0^*}{\partial \eta} - \eta \frac{\partial v_0^*}{\partial \xi} \right) \right] \cos \widehat{n\eta}, \end{aligned}$$

$L_j (j = 1, 2, \dots, m)$ კონტურებზე.

(3.3) განტოლებები და (3.4) პირობები წარმოადგენენ წონასწორობის ჩვეულებრივ განტოლებებს და სასაზღვრო პირობებს დრეკადი სხეულისათვის, გარკვეული მოცულობით და ზედაპირული ძალების გავლენით, ამიტომ მათ უნდა დაემატოს აგრეთვე ბელტრამი-მიჩელიის თავსებადობის, პირობები, რომელთაც განსახილავ შემთხვევაში აქვთ სახე:

$$\begin{aligned} \Delta \tau_{11} + \frac{1}{1 + \sigma_j} \frac{\partial^2 T}{\partial \xi^2} &= -2 H_j \zeta \frac{\partial^2 U^*}{\partial \xi^2}, \quad \Delta \tau_{33} + \frac{1}{1 + \sigma_j} \frac{\partial^2 T}{\partial \zeta^2} = 0, \\ \Delta \tau_{22} + \frac{1}{1 + \sigma_j} \frac{\partial^2 T}{\partial \eta^2} &= -2 H_j \zeta \frac{\partial^2 U^*}{\partial \eta^2}, \quad \Delta \tau_{12} + \frac{1}{1 + \sigma_j} \frac{\partial^2 T}{\partial \xi \partial \eta} = -2 H_j \zeta \frac{\partial^2 U^*}{\partial \xi \partial \eta}, \end{aligned} \quad (3.5)$$

$$\Delta \tau_{12} + \frac{1}{1+\sigma_j} \frac{\partial^2 T}{\partial \xi^2 \partial \zeta} = -2 H_j \frac{\partial U^*}{\partial \xi} - \frac{\mu_j (\lambda_j + \mu_j)}{\lambda_j + 2 \mu_j} \left(\xi \frac{\partial^2 U^*}{\partial \xi^2} + \eta \frac{\partial^2 U^*}{\partial \xi^2 \partial \eta} \right), \quad (3.5)$$

$$\Delta \tau_{23} + \frac{1}{1+\sigma_j} \frac{\partial^2 T}{\partial \eta \partial \zeta} = -2 H_j \frac{\partial U^*}{\partial \eta} - \frac{\mu_j (\lambda_j + \mu_j)}{\lambda_j + 2 \mu_j} \left(\xi \frac{\partial^2 U^*}{\partial \xi \partial \eta} + \eta \frac{\partial^2 U^*}{\partial \eta^2} \right),$$

S_j ($j = 0, 1, \dots, m$) არეგებში.

დამატებითი $\tau_{11}, \tau_{22}, \dots, \tau_{23}$ ძაბვების განსასაზღვრელად მივიღოთ, რომ:

$$\begin{aligned} \tau_{11} &= -\lambda_j \zeta U^* + 2 \mu_j \zeta \frac{\partial v^*}{\partial \xi}, & \tau_{12} &= \mu_j \left(\frac{\partial v^*}{\partial \eta} - \frac{\partial u^*}{\partial \xi} \right) \zeta, \\ \tau_{22} &= -\lambda_j \zeta U^* - 2 \mu_j \zeta \frac{\partial u^*}{\partial \eta}, & \tau_{13} &= -\mu_j \sigma_j \eta + \mu_j v^* + \mu_j \frac{\partial \phi}{\partial \xi}, \\ \tau_{33} &= \lambda_j \zeta U^*, & \tau_{23} &= \mu_j \sigma_j \xi - \mu_j u^* + \mu_j \frac{\partial \phi}{\partial \eta}. \end{aligned} \quad (3.6)$$

ადვილად დავრწმუნდებით, რომ წონასწორობის (3.3) განტოლებები, თავსებადობის (3.5) პირობები და აგრეთვე სასაზღვრო (3.4) პირობები დაკმაყოფილებულ იქნება, თუ უწყვეტი $\phi(\xi, \eta)$ ფუნქცია განსაზღვრულია შემდეგი პირობებით:

$$\Delta \phi + \frac{\lambda_j + \mu_j}{\lambda_j + 2 \mu_j} \left(\xi \frac{\partial U^*}{\partial \xi} + \eta \frac{\partial U^*}{\partial \eta} \right) = 0 \quad (3.7)$$

S_j არეგებში ($j = 0, 1, \dots, m$),

$$\begin{aligned} \mu_0 \left(\frac{\partial \phi}{\partial n} \right)_0 + (E + \lambda_0 \theta)_0 (\xi \cos n\eta - \eta \cos n\xi) + \mu_0 \left(v^* + \xi \frac{\partial u^*}{\partial \eta} - \eta \frac{\partial u^*}{\partial \xi} \right)_0 \cos n\xi \\ + \mu_0 \left(-u^* + \xi \frac{\partial v^*}{\partial \eta} - \eta \frac{\partial v^*}{\partial \xi} \right) \cos n\eta = 0, \end{aligned} \quad (3.8')$$

L_{m+1} კონტურზე,

$$\begin{aligned} \mu_j \left(\frac{\partial \phi}{\partial n} \right)_j - \mu_0 \left(\frac{\partial \phi}{\partial n} \right)_0 + (E_j - E_0 + \lambda_j \theta_j^* - \lambda_0 \theta_0^*) (\xi \cos n\eta - \eta \cos n\xi) \\ + \left[\mu_j \left(v^* + \xi \frac{\partial u^*}{\partial \eta} - \eta \frac{\partial u^*}{\partial \xi} \right)_j - \mu_0 \left(v^* + \xi \frac{\partial u^*}{\partial \eta} - \eta \frac{\partial u^*}{\partial \xi} \right)_0 \right] \cos n\xi \\ + \left[\mu_j \left(-u^* + \xi \frac{\partial v^*}{\partial \eta} - \eta \frac{\partial v^*}{\partial \xi} \right)_j - \mu_0 \left(-u^* + \xi \frac{\partial v^*}{\partial \eta} - \eta \frac{\partial v^*}{\partial \xi} \right)_0 \right] \cos n\eta = 0. \end{aligned} \quad (3.8'')$$

L_j ($j = 0, 1, \dots, m$) კონტურებზე.

ადვილად შეიძლება შემოაწმდეს, რომ შესრულებულია ამ ამოცანის ამოხსნადობის აუცილებელი და საკმარისი პირობა.

u_1, v_1 და w_1 გადაადგილებები, რომლებიც შეესაბამებიან (3.6) ძაბვებს, იქნება:

$$u_1 = -\sigma_j \zeta + \zeta v^*, \quad v_1 = \sigma_j \xi - \zeta u^*, \quad w_1 = \phi(\xi, \eta). \quad (3.9)$$

თუ მხედველობაში მივიღებთ უკანასკნელ ფორმულებს, დასმული ამოცანის ამოხსნას გადაადგილებების კომპონენტებში, k^2 სიხუსტით, ექნება შემდეგი სახე:



$$\begin{aligned} u &= -a\sigma_j \xi + au^* - ak\sigma_j \zeta + ak\zeta v^*, \\ v &= -a\sigma_j \eta + av^* + ak\sigma_j \xi - ak\xi u^*, \\ w &= a\zeta + ak\psi. \end{aligned} \tag{3.10}$$

შევნიშნოთ, რომ მიღებული გადაადგილებების კომპონენტები უწყვეტი იქნება გამყოფ ზედაპირებზე გადასვლისას.

ძაბვის კომპონენტები, რომლებიც შეესაბამებიან (3.10) გადაადგილებებს, იქნება:

$$\begin{aligned} X_x &= aX_x^* + 2ak\zeta X_y^*, & X_y &= aX_y^* + 2ak\zeta \left(\frac{\partial v^*}{\partial \eta} - \frac{\partial u^*}{\partial \xi} \right), \\ Y_y &= aY_y^* - 2ak\zeta X_y^*, & X_z &= ak\mu_j \left[v^* + \xi \frac{\partial u^*}{\partial \eta} - \eta \frac{\partial u^*}{\partial \xi} + \frac{\partial \phi}{\partial \xi} \right], \\ Z_x &= aE_j + a\lambda_j \theta^*, & Y_z &= ak\mu_j \left[-u^* + \xi \frac{\partial v^*}{\partial \eta} - \eta \frac{\partial v^*}{\partial \xi} + \frac{\partial \phi}{\partial \eta} \right], \end{aligned} \tag{3.11}$$

S_j ($j = 1, 2, \dots, m$) არეგებშო.

ბოლოს შევეპოწმით $z = l$ ზედაპირზე (3.11) ძაბვები აკმაყოფილებს თუ არა საჭირო პირობებს;

თუ აღენიშნავთ X, Y, Z, M_x, M_y და M_z -ით $z = l$ ზედაპირზე (3.11) ძაბვების მთავარი ვექტორისა და მთავარი მომენტის კომპონენტებს, მაშინ ადვილია შემოწმება, რომ:

$$\begin{aligned} X &= \sum_{j=0}^m \iint_{S_j} X_x dx dy = ak \sum_{j=0}^m \iint_{S_j} (E_j + \lambda_j \theta^*) \eta d\sigma = 0, \\ Y &= \sum_{j=0}^m \iint_{S_j} Y_x dx dy = ak \sum_{j=0}^m \iint_{S_j} (E_j + \lambda_j \theta^*) \xi d\sigma = 0, \\ Z &= \sum_{j=0}^m \iint_{S_j} Z_x dx dy = a \sum_{j=0}^m \iint_{S_j} (E_j + \lambda_j \theta^*) d\sigma^{(1)}, \\ M_x &= \sum_{j=0}^m \iint_{S_j} y Z_x dx dy = a \sum_{j=0}^m \iint_{S_j} (\eta - k\xi l) (E_j + \lambda_j \theta^*) d\sigma = 0, \\ M_y &= - \sum_{j=0}^m \iint_{S_j} x Z_x dx dy = -a \sum_{j=0}^m \iint_{S_j} (\xi + k\eta l) (E_j + \lambda_j \theta^*) d\sigma = 0, \\ M_z &= \sum_{j=0}^m \iint_{S_j} (x Y_x - y X_x) dx dy = ak \sum_{j=0}^m \iint_{S_j} \left[\xi^2 \frac{\partial v^*}{\partial \eta} - \xi \eta \left(\frac{\partial u^*}{\partial \eta} + \frac{\partial v^*}{\partial \xi} \right) + \eta^2 \frac{\partial u^*}{\partial \xi} - (\xi u^* + \eta v^*) + \xi \frac{\partial \phi}{\partial \eta} - \eta \frac{\partial \phi}{\partial \xi} \right] \mu_j d\sigma. \end{aligned} \tag{3.12}$$

ამრიგად, რომ დავაკმაყოფილოთ $z = l$ ზედაპირზე მოთხოვნილი პირობები, საჭიროა (3.11) ამოხსნას დავუმატოთ გრენის ამოცანის ამოხსნა შედგენილი პრიზმული ძელისათვის, ხოლო a მუდმივი განვსაზღვროთ ტოლობით:

(¹ ადვილია ჩვენება, რომ $\sum_{j=0}^m \iint_{S_j} (E_j + \lambda_j \theta^*) d\sigma$ გამოსახულება მუდამ დადებითია.

$$a = \frac{Z}{\sum_{j=0}^m \iint_{S_j} (E_j + \lambda_j \theta^*) d\sigma} \quad (3.13)$$

4. კერძოდ, როგორც მაგალითი განვიხილოთ შემთხვევა, როცა L_1 და L_2 წარმოადგენს R_1 და R_2 რადიუსებიან კონცენტრულ წრეებს, ისე, რომ S_1 არის წრე, შემოსაზღვრული L_1 რკალით, ხოლო S_0 —რგოლი, მოთავსებული L_1 და L_2 რკალებს შორის.

ამ შემთხვევაში, მყარ გადაადგილებამდე სიზუსტით, გვაქვს:

$$u^* = A_1(\alpha_1 - \beta_1)\xi, \quad v^* = A_1(\alpha_1 - \beta_1)\eta, \quad S_1 \text{ არეში,}$$

$$u^* = A_0(\alpha_0 - \beta_0)\xi - B_0\beta_0 \frac{\xi}{\xi^2 + \eta^2}, \quad v^* = A_0(\alpha_0 - \beta_0)\eta - B_0\beta_0 \frac{\eta}{\xi^2 + \eta^2},$$

S_0 არეში,

$$\text{სადაც } \alpha_j = \frac{\lambda_j + 3\mu_j}{2\mu_j(\lambda_j + \mu_j)}, \quad \beta_j = \frac{1}{2\mu_j} \quad (j = 0, 1),$$

$$A_1 = \frac{(\sigma_1 - \sigma_0)(R_2^2 - R_1^2)}{(\alpha_1 - \beta_1)(R_2^2 - R_1^2) + (\alpha_0 - \beta_0)R_1^2 + 2\beta_0 R_2^2},$$

$$A_0 = \frac{(\sigma_1 - \sigma_0)R_1^2}{(\alpha_1 - \beta_1)(R_2^2 - R_1^2) + (\alpha_0 - \beta_0)R_1^2 + 2\beta_0 R_2^2}, \quad U^* \equiv 0, \quad (4.1)$$

$$B_0 = \frac{2(\sigma_1 - \sigma_0)R_1^2 R_2^2}{(\alpha_1 - \beta_1)(R_2^2 - R_1^2) + (\alpha_0 - \beta_0)R_1^2 + 2\beta_0 R_2^2}, \quad Q_j^* = \frac{2A_j}{\lambda_j + \mu_j} \quad (j = 0, 1),$$

$$\psi(\xi, \eta) = A\xi\eta, \quad S_1\text{-არეში,} \quad \psi(\xi, \eta) = A'\xi\eta + BR_2^2 \frac{\xi\eta}{(\xi^2 + \eta^2)^2}, \quad S_0 \text{ არეში,}$$

$$\text{სადაც } A = \frac{2A_1\mu_1}{\lambda_1 + \mu_1} \frac{(R_2^2 + R_1^2) + \frac{2A_0\mu_0}{\lambda_0 + \mu_0}(R_2^2 - R_1^2)}{\mu_0(R_2^2 - R_1^2) + \mu_1(R_2^2 + R_1^2)},$$

$$B = \frac{2\mu_1 \left(\frac{A_1}{\lambda_1 + \mu_1} - \frac{A_0}{\lambda_0 + \mu_0} \right) R_1^2}{\mu_0(R_2^2 - R_1^2) + \mu_1(R_2^2 + R_1^2)}, \quad A' = B + \frac{2A_0}{\lambda_0 + \mu_0}.$$

საქართველოს სსრ მეცნიერებათა აკადემია

ა. რახუაძის სახელობის

თბილისის მათემატიკის ინსტიტუტი

(რედაქციას მოუვიდა 29.10.1951)

დამოწმებული ლიტერატურა

1. Н. И. Мусхелишвили. Некоторые основные задачи математической теории упругости. Третье издание, 1949.
2. А. К. Рухадзе. Задача изгиба поперечной силой упругих брусьев, составленных из различных материалов. Труды ГПИ, т. 19, 1949.
3. С. А. Тумаркни. Равновесие и колебание закрученных стержней. Труды ЦАГИ, вып. 341, 1937.
4. П. М. Риз. Деформации и напряжения естественно закрученных стержней. Изв. АН СССР, сер. мат., № 4, 1939.
5. А. И. Лурье, Г. Ю. Джанелидзе. Задача Сен-Венана для естественно закрученных стержней. ДАН, т. XXIV, № 1, 3, 4, 1939.
6. А. К. Рухадзе. О деформации естественно закрученных стержней. Прикл. Мат. и Мех. т. XI, в. 5, 1947.

ფიზიკა

დ. ჩიღვინაძე და ვ. ბრავინსკი

თუთიის მონოკრისტალის მიკროსიმპარის შესახებ

(წარმოადგინა აკადემიის წევრ-კორესპონდენტმა ე. ანდრონიკაშვილმა 23.5.1951)

§ 1. შესავალი

ამ ბოლო დროს მრავალი შრომა გამოქვეყნდა, რომლებშიც განხილულია მიკროსიმპარე. მაგრამ მკვლევრები დღემდე ვერ შეთანხმდნენ იმის შესახებ, აქვს თუ არა მონოკრისტალებს ზედაპირული შესუსტებული ფენა. ამ საკითხზე ძირითადად მონაცემების ორი ჯგუფი არსებობს. ერთი მხრივ, ლოლობერიძე და კოპაცკი [1] აღნიშნავენ მიკროსიმპარის შემცირებას ობიექტის ზედაპირულ ფენებში, მეორე მხრივ, ლეიზე [2], რომელიც ალუმინისა და სპილენძის მონოკრისტალს იკვლევდა, იმ დასკვნამდე მივიდა, რომ ამ უქანასკნელთა მიკროსიმპარე ტვირთზე არაა დამოკიდებული, ე. ი. ზედაპირული შესუსტებული ფენის არსებობა ფაქტობრივად უარყოფილია.

ო. მღებრიანი, დ. ჩიღვინაძე და ც. სალუქვაძე [3], რომლებიც იმავე ობიექტს სწავლობდნენ, რასაც ლოლობერიძე და კოპაცკი, კრისტალოგრაფიული წახნაგებისათვის მიკროსიმპარის დატვირთვაზე დამოკიდებულების ისეთივე ხასიათის მრუდები მიიღეს, როგორც ლითონურ პოლიკრისტალებზე ა. ბოჩვარმა და ჟადაევამ [4].

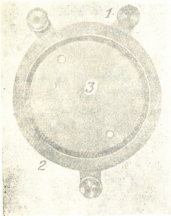
სათანადო შენიშვნის გარეშე ამ შედეგების შედარება შეუძლებელია შემდეგი ორი მიზეზის გამო: 1) ზემოთ დასახელებული ავტორები სხვადასხვა ბერხით მომზადებულ ობიექტებს იკვლევდნენ; 2) შრომები შესრულებული იყო სხვადასხვა ხელსაწყოთი. მაშინ, როცა ლოლობერიძე და კოპაცკი მუშაობდნენ ხრუშირვისა და ბერკოვიჩის სისტემის სკლერომეტრზე, ლეიზე (ავრეთვე განემანი და შულცი, რომლებიც ლეიზეს ანალოგიურ დასკვნებამდე მიდიან) ექსპერიმენტს ატარებდა განემან-ციეისის ხელსაწყოთი. რამდენადაც ზემოთ აღნიშნულ ხელსაწყოებზე მუშაობის მეთოდების საკითხები (რეგულირება და ა. შ.) ჯერ კიდევ საკმარისად არაა შესწავლილი, ამის გამო მონაცემებს შორის ვარკვეულ განსხვავებას უნდა მოველოდეთ, განსაკუთრებით მცირე ტვირთებისათვის. თუმცა აქვე უნდა შევნიშნოთ, რომ ბოჩვარმა და ჟადაევამ, იკვლევდნენ რა ერთისა და იმავე ობიექტის მიკროსიმპარეს $\text{PMT}-3$ მიკროსიმპარის მზომისა და განემან-ციეისის ხელსაწყოს დახმარებით, შედეგების კარგი დამთხვევა მიიღეს.

§ 2. ცდების მიზანმიმართული და შედეგები

მონოკრისტალური ობიექტების მიკროსიმპარის შესწავლისათვის ჩვენ მიერ გამოკვლეული იყო თუთიის მონოკრისტალის კრისტალოგრაფიულ სიმბრტყეთა რიგი.

ყველა გაზომვა ტარდებოდა ბრუშჩოვისა და ბერკოვიჩის სისტემის ПИТ—3 ხელსაწყოზე 2, 3, 4, 5, 7, 9, 10, 20, 50 და 100 გრ დატვირთვებისას.

მოწყობილობა (ნახ. 1) შესაძლებლობას იძლეოდა ზუსტად მოგვეთავსებინა შესწავლილი ზედაპირი ინდენტორის ღერძის პერპენდიკულარულად და მიგველო ინდენტორისა და შესასწავლი ობიექტის სასურველი ურთიერთგანლაგება, რაც ყოველი წახნაგისათვის ექსპერიმენტის მიმდინარეობის დროს უცვლელი რჩებოდა.



ნახ 1. დამხმარე მოწყობილობა:
1—მარველურივები ხრახნები;
2—ჩართო კუთხმზომი წრით;
3—ობიექტის მბრუნავი სადგამი

ეს უკანასკნელი ღონისძიება მიღებულ იქნა იმისათვის, რომ ნაწილობრივ აგვეცილებინა თუთიის კრისტალის ანიზოტროპია.

ობიექტები მზადდებოდა ქიმიურად სუფთა (99,95%) გრანულირებული დარიშხანისაგან თავისუფალი თუთიისაგან. ცალკეულ გამოკვლევათა შედეგები აღწერილია ქვემოთ, მოცემულია ცხრილში და ორი ტიპის მრუდების სახით: მიკროსიმაგრის დამოკიდებულება დატვირთვაზე და ინდენტორის შეჭრის სიღრმეზე. მრუდები „მიკროსიმაგრე—შეჭრის სიღრმე“ მოცემულია ლოგარითმული მასშტაბით.

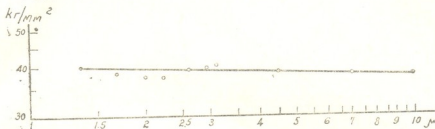
ბ ა ზ ი ს ი ს ს ი ბ რ ტ ყ ე

ჩვენ მიერ გამოზრდილ იქნა ღეროსებრი მონოკრისტალები წინათ აღწერილი [5] მეთოდის მიხედვით. ბაზისის სიბრტყეს ვაშიშვლებდით პობით (როგორც ცნობილია, თუთია კარგად იბობა ბაზისის სიბრტყის გასწვრივ თვით ოთახის ტემპერატურაზედაც კი) და მას სარკული ზედაპირი ჰქონდა. შეიძლება ითქვას, რომ გამოსაკვლევი ზედაპირის მახლობლად საგრძნობი დამბულობის კონცენტრაციას ადგილი არ ჰქონდა. ამრიგად მომზადებული ობიექტი ზემოთ მითითებული დატვირთვების პირობებში შეისწავლებოდა. მიღებული შედეგები მოყვანილია ნახ. 2, 3-ზე და ცხრილში.

მეორე და მესამე ნახაზის განხილვიდან გამომდინარეობს, რომ მიკროსიმაგრე მთელ გამოსაკვლევ სიღრმეზე არ იცვლება და პრაქტიკულად მუდმივი რჩება.

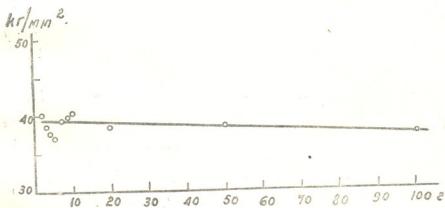
შემდეგ, გაზომვები ტარდებოდა ზედაპირზე, რაც მიღებულ იქნა ქვემოთ აღწერილი წესით. გაზრდილ იქნა მონოკრისტალური ღერო, რომლის გარდამო კვეთი ოვალურია. ბაზისის სიბრტყე ღეროს ღერძზე გამავალი დიდი კვეთის პარალელური იყო. ობიექტს ვკვეთდით ღეროს შუა ნაწილიდან ქიმიური ზერხით და ბაზისის სიბრტყეს ვაშიშვლებდით 25%-იანი აზოტის მკვას წყალხსნარში ფენების გახსნით. ასეთი გზით მიღებული ზედაპირის მიკ-

როსიმაგრეს ვზომავდით სხვადასხვა დატვირთვის დროს. შემდეგ ჩვეულებრივი ხერხით ვაწარმოებდით მექანიკურ დამუშავებას; დასაწყისში ობიექტს ვხეხავდით ნაქდაკის ქალაღზე, ხოლო შემდეგ ვუქეთებდით პოლირებას (მოსარკვევებას) ГОИ-ის პასტით. ამის შემდეგ ხელახლა ვზომავდით მიკროსიმაგრეს. შედეგები წარმოდგენილია ნახ. 4, 5-ზე და ცხრილში.



ნახ. 2. თუთიის მიკროსიმაგრის დამოკიდებულება შეტრის სიღრმეზე.
პობით მიღებული ბაზისის სიბრტყე

მოყვანილი გრაფიკიდან ჩანს, რომ დეფორმირებული ობიექტს მიკროსიმაგრე დატვირთვაზე არაა დამოკიდებული. დეფორმირებული ობიექტის შემთხვევაში გამტკიცება შესამჩნევი ხდება 8—10 $\frac{Hv}{Hv_0}$ 9 μ (მიკრონის) სი-



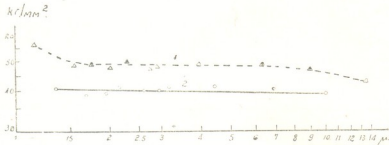
ნახ. 3. თუთიის მიკროსიმაგრის დამოკიდებულება დატვირთვაზე.
პობით მიღებული ბაზისის სიბრტყე

ღრმემდე, რის შემდეგ მრული ქვემოთ ეშვება. სამწუხაროდ, ტვირთების შემოსაზღვრულობამ ნება არ მოგვცა ჩავვეტარებინა გამოკვლევა უფრო მეტი სიღრმეებისათვის. მიკროსიმაგრის მიკროულენი ზრდა დასაწყისში შეიძლება ნაწილობრივ ხელსაწყოს ცდომილებას მიეწეროს.

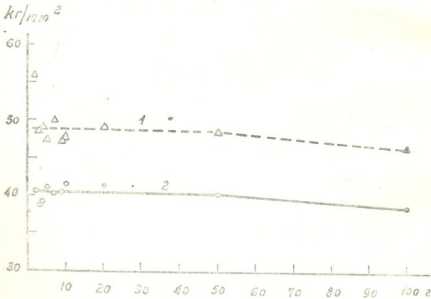
პირველი გვარის პრიზმის სიბრტყე

მონოკრისტალს ვზრდიდით იმავე მეთოდით.

კრისტალოგრაფიულ სიბრტყეს ვაწიშვლებდით ქიმიური ხერხით ისე-როგორც ეს ზემოთაა აღწერილი. ამის შემდეგ სხვადასხვა დატვირთვის დროს

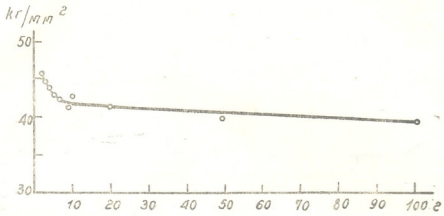


ნახ. 4. თუთიის მიკროსიმაგრის დამოკიდებულება შეჭრის სიღრმეზე (ბაზისის სიბრტყე): 1—ქიმიური ხერხით მიღებული, პოლირებული; 2—ქიმიური ხერხით მიღებული, არაპოლირებული

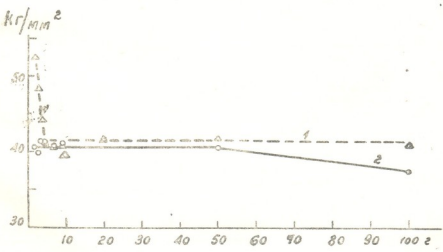


ნახ. 5. თუთიის მიკროსიმაგრის დამოკიდებულება დატვირთვაზე (ბაზისის სიბრტყე): 1—ქიმიური ხერხით მიღებული, პოლირებული; 2—ქიმიური ხერხით მიღებული, არაპოლირებული

ვზომავდით მიკროსიმაგრეს. შემდეგ ობიექტს ვხეხავდით და ვაპრიალებდით ზემოთ აღწერილი მეთოდით. ხელახლა ვზომავდით მიკროსიმაგრეს, რომლის დამოკიდებულება დატვირთვასა და შტერის სიღრმეზე მოცემულია მე-6 და მე-7 ფიგურაზე და ცხრილში.



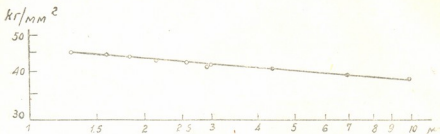
ნახ. 6. თუთის მიკროსიმაგრის დამოკიდებულება შტერის სიღრმეზე (პირველი გვარის პრინციპის სიბრტყე): 1—ქიმიური ხერხით მიღებული, პოლირებული; 2—ქიმიური ხერხით მიღებული, არაპოლირებული



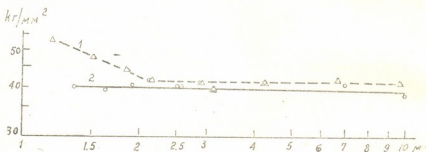
ნახ. 7. თუთის მიკროსიმაგრის დამოკიდებულება დატვირთვაზე (პირველი გვარის პრინციპის სიბრტყე): 1—ქიმიური ხერხით მიღებული, პოლირებული; 2—ქიმიური ხერხით მიღებული, არაპოლირებული

მე-6 და მე-7 ნახაზის განხილვის დროს ჩვენ ვხედავთ, რომ დეფორმირებული ობიექტის ზედაპირულ ფენებში დაიმზირება მიკროსიმაგრის ზრდა;

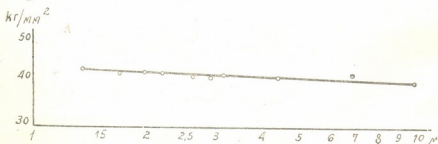
2,1 მ-დან დაწყებული მიკროსიმაგრე უცვლელი რჩება. აქვე უნდა აღვნიშნოთ, რომ ბაზისის სიბრტყის დამუშავების ხანგრძლიობა გაცილებით მეტია, ვიდრე პირველი გვარის პრიზმის სიბრტყისა. იმ ობიექტებისათვის, რომლებიც პლასტიკურად დეფორმირებული არაა, მიკროსიმაგრე გამოსაკვლევ სიღრმეზე პრაქტიკულად მუდმივი რჩება.



ნახ. 8. თუთიის მიკროსიმაგრის დამოკიდებულება შებრის სიღრმეზე (ბუნებრივი წახნაგი № 1)



ნახ. 9. თუთიის მიკროსიმაგრის დამოკიდებულება დატვირთვაზე (ბუნებრივი წახნაგი № 1)



ნახ. 10. თუთიის მიკროსიმაგრის დამოკიდებულება შებრის სიღრმეზე (ბუნებრივი წახნაგი № 2)

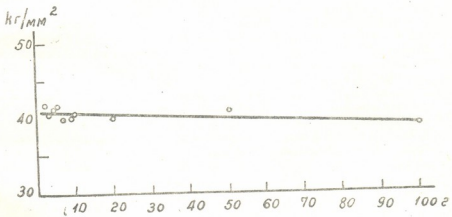
ბუნებრივი წახნაგები

ლაბორატორიაში გაზრდილ იქნა მონოკრისტალები [6], რომელთა ზედაპირზე გამოდიოდა კარგად განვითარებული ბუნებრივი წახნაგები. ჩვენ

მიერ შესწავლილ იქნა ასეთი წახნაგების მიკროსიმაგრე. წახნაგები ერთმანეთისაგან განირჩეოდა მათ ზედაპირზე წარმოქმნილი ფიგურების მიხედვით [6]. ჩვენ მათ დავარკვევთ ბუნებრივ წახნაგს № 1 (რომელზედაც დაიმზირება წესიერი ექვსკუთხედები) და ბუნებრივ წახნაგს № 2 (რომელზედაც დაიმზირება ვარსკვლავისებრი ფიგურები). მიკროსიმაგრის გაზომვის შედეგები წარმოდგენილია ნახ. 8, 9, 10, 11-ზე და ცხრილში.

თუთის მონოკრისტალის წახნაგების სიმაგრის რიცხვები ($\frac{kg}{mm^2}$)

დატვირთვა გრამობით	2	3	4	5	7	9	10	20	50	100
პობიან მიღებული ბაზისის სიბრტყე . . .	40	39	38	37	39	40	40	39	39	38
მექანიკური პოლირების წესით მიღებული ბაზისის სიბრტყე . . .	56	49	49	47	50	46	47	49	48	46
ჭიმოური პოლირების წესით მიღებული ბაზისის სიბრტყე . . .	40	38	39	41	40	40	41	41	40	38
პირველი გვარის პრიზმის სიბრტყე (მექანიკური წესით პოლირებული) . . .	52	48	44	41	40	41	39	41	42	41
პირველი გვარის პრიზმის სიბრტყე (ჭიმოური წესით პოლირებული) . . .	40	39	41	41	40	41	39	41	41	38
ბუნებრივი წახნაგი № 1	46	44	43	42	42	41	42	41	40	39
ბუნებრივი წახნაგი № 2	41	40	41	41	40	40	41	40	41	38



ნახ. 11. თუთის მიკროსიმაგრის დაპოკიდებულება დატვირთვაზე (ბუნებრივი წახნაგი № 2)

მრუდების განხილვიდან ჩანს, რომ მოცემულ ობიექტთა სიმაგრე არსებითად უცვლელია. მიკროსიმაგრის მცირეოდენი ზრდა № 8, 9 მრუდებზე შეიძლება ახსნილ იქნეს ხელსაწყოთა თავისებურებით (დიდი ცდომილება მცირე დატვირთვის დროს).

დასკვნა

შემოთ ნათქვამზე დამყარებით, ჩვენ შემდეგ დასკვნას ვაკეთებთ:

1. მექანიკური დეფორმაციისაგან თავისუფალი თუთიის მონოკრისტალის მიკროსიმაგრე 1μ სიღრმეიდან დაწყებული დამოკიდებული არაა დატვირთვაზე და შემდგომ ობიექტის მთელ გამოსარკვევ სიღრმეზე მუდმივი რჩება.

2. სხვადასხვა კრისტალოგრაფიული წახნაგის (ბაზისის, პირველი გვარის პრიზმისა და ა. შ.) სიბრტყეთა მიკროსიმაგრე პრაქტიკულად ერთმანეთის ტოლია.

3. ობიექტის ზედაპირის მექანიკური დეფორმაციის დროს წარმოიშობა მიკროსიმაგრის ნაზრდი, დაახლოებით $8-10 \frac{\mu\text{მ}}{\text{გმ}^2}$ — ტოლი.

საქართველოს სსრ მეცნიერებათა აკადემია

ფიზიკის ინსტიტუტი

თბილისი

(რედაქციას მოუვიდა 23.5.1951)

დამოწმებული ლიტერატურა

1. Д. Е. Гогоберидзе и Н. А. Копацкий. К вопросу о механизме явлений шлифовки и полировки. ЖТФ, т. XX, вып. 8, 1950.
2. Б. С. Иоффе. Применение метода измерения микротвердости к решению некоторых физических задач. ЖТФ, т. XIX, вып. 10, 1949.
3. О. И. Мгебриян, Д. М. Чигвинадзе, П. Т. Салуквадзе. К вопросу об ослабленном поверхностном слое монокристаллов каменной соли. Сообщения АН Грузинской ССР, т. XII № 8, 1951.
4. А. А. Бочвари и О. С. Жалаева. К вопросу об изменении микротвердости металлов в зависимости от глубины проникновения индентора и состояния поверхностного слоя. Изв. АН СССР ОТН. т. 3, 1947, стр. 341.
5. Д. М. Чигвинадзе. Выращивание монокристаллов цинка с заданной ориентацией. Сообщения АН Грузинской ССР, т. IX, № 1, 1948.
6. Д. М. Чигвинадзе и Т. Т. Килитаури. Об образовании граней на поверхности металлического кристалла. Сообщения АН Грузинской ССР, т. XII, № 9, 1951.



ბალეოზოოლოგია

ლ. გაბუნია

„ჯუჯა“ მამონტის კბილი გორიდან

(წარმოადგინა აკადემიის ნამუშევრმა წერმა ლ. დავითაშვილმა 24. 10. 1952)

რამდენიმე ხნის წინათ გორში მუზეუმის შენობის საძირკვლის ჩაყრის დროს იპოვეს მამონტის მარცხენა ზედა საძირე კბილი. გორის პედაგოგიური ინსტიტუტის დოცენტის გეოლოგ ვ. ჩიკოიძის ცნობით, ქანები, რომლებშიც კბილია ნაპოვნი, მტკვრის პირველი ქალის ზედა ტერასის ნალექებს წარმოადგენს.

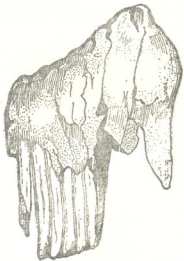
ქვემოთ მოგვყავს ამ კბილის — *Mamonteus cf. primigenius* Blum.— მოკლე აღწერა.

აღვიღსამყოფელი: გორი, საქართველოს სსრ;

ასაკი: ვიურმის შემდგომი დროის დასაწყისი;

მასალა: მარცხენა მხრის მოუცვეთელი M;

აღწერა. კბილი ძლიერ დაზიანებულია: პირველი ფირფიტა წინიდან თითქმის მთლიანადაა ჩამოტეხილი. ასევე მოტეხილია მეორე ფირფიტისა და ხუთი ბოლო ფირფიტის (8—12) დისტალური (ზედა) წვეროები. ძლიერ დაზიანებულია ძირები, რომლებიც აღნიშნულ კბილს, როგორც ჩანს, საკმაოდ კარგად უნდა ჰქონოდა გაფორმებული. ცემენტი, რომლითაც ამოვსებულია ფირფიტათა შორისი შუალედები და რომელიც ფარავს კბილის გარეთა და შიდა მხარეებს, ძლიერ დაშლილია.



ნახ. 1. „ჯუჯა“ მამონტის კბილი გორიდან

კბილი შედარებით მცირე ზომისა და მაღალგვირგვინიანია. 12 ფირფიტისაგან შედგება. კბილის ლინგვალური ზედაპირის 10 სმ სიგრძეზე მოდის 10 ფირფიტა და 9 ფირფიტათა შორისი შუალედი. კბილის შიდა ზედაპირი ოდნავ ჩაზნექილია (სიგრძივი ღერძის გასწვრივ). გარეთა ზედაპირი ოდნავ ამოხნექილია. ფირფიტები სუსტადაა მოღუნული. წინა ნაწილში ოდნავ მოღუნულია (ორალური მიმართულებით) ფირფიტების მხოლოდ დისტალური წვეროები, ხოლო ყველა დანარჩენი ფირფიტა, მეხუთე ფირფიტით დაწყებული, შესამჩნევადაა მოღუნული პროქსიმალურ (გვირგვინის ფუძესთან მდებარე) ნაწილში. ფირფიტების ამობურცული მხარე ამ შემთხვევაშიც ორალურადაა მიმართული. მერვე, მეცხრე, მეათე, მეთერთმეტე და მეთორმეტე ფირფიტების ლაბიალური კიდეები ოდნავ მოღუნულია კაუდალური მიმართულებით. უკანასკნელი, მე-12, ფირფიტა სუსტადაა განვითარებული, იგი მე-11 ფირფიტის სიმაღლის დაახლოებით ორ მესამედს აღწევს.

ფირფიტების ზედაპირი სუსტალდობრივია. ფირფიტების კიდეები სინუსებს არ ქმნის. მესამე, მეოთხე და მეხუთე ფირფიტები ოთხი ძირითადი კონუსისაგან შედგება, მეშვიდე — ხუთისაგან.

მინანქრის სისქე მეათე ფირფიტაზე 1,5 მმ უდრის. კბილის სიგრძე (გვირგვინის ფუძესთან) 120 მილიმეტრია, უდიდესი სიგანე—62 მილიმეტრი, სიმაღლე—140 მილიმეტრი; ფირფიტის სისქე (მინანქრის სისქის ჩათვლით) 6—7,5 მილიმეტრია, ფირფიტათაშორისი შუალედის სისქე—2,5 მილიმეტრი.

შედარება და ზოგადი შენიშვნები. ჩვენი *M'* ფირფიტების რაოდენობით, სისშირითა და ფორმით, აგრეთვე მინანქრის შრისა და ფირფიტის სისქეთა შეფარდებით, საესებით შეესაბამება მაღალი სპეციალიზაციის მქონე ნამდვილი მამონტის კბილს, მაგრამ შესამჩნევად განსხვავდება მისგან მცირე ზომებით. ამ მხრივ იგი უახლოვდება „ჯუჯა“ მამონტებს, რომლებიც ცნობილია ტიურინგიიდან და იტალიიდან. ყველაზე მეტად ჩვენი მამონტი ჰგავს *Mamonteus primigenius* Blum. var. *hydruntinus* Botti-ს [2],—„ჯუჯა“ მამონტს, რომელიც იტალიის პლესტოცენში გვხვდება. გორის ფორმა კბილის სიდიდით, ფირფიტების რიცხვითა და სისშირით ძლიერ უახლოვდება იტალიის ფორმას, მაგრამ მასალის სიმცირე და ცუდი დაცულობა არ გვაძლევს ამ მამონტთა გაიგივების საშუალებას.

ამიერკავკასიის ფარგლებში *Mamonteus primigenius* Blum. მხოლოდ დუშეთის რაიონიდანაა ცნობილი [1]. აღწერილი კბილის ნახვა ადასტურებს ამიერკავკასიის მეოთხეული ფაუნის შემადგენლობაში მამონტის არსებობას.

„ჯუჯა“ მამონტის ნახვა საქართველოსა და იტალიაში შესაძლოა მოწმობდეს, რომ სამხრეთ ევროპაში, მატერიკის ჩრდილო ნაწილისაგან განსხვავებით, ძირითადად არსებობდნენ *Mamonteus primigenius* Blum.-ის მცირე ზომის ფორმები, რომლებიც გაცილებით უფრო მცირედ იყვნენ გაერთელებული, ვიდრე მათი ჩრდილოეთის მონათესავენი.

აღწერილი კბილის პოვნა მტკვრის პირველი ჭალის ზედა ტერიტორიის ნალექებში უთუოდ მოწმობს, რომ გორის მამონტი გეოლოგიურად ძალიან ახალგაზრდა უნდა ყოფილიყო. ჩვენ შესაძლებლად მიგვაჩნია სავარაუდოდ იგი მივაკუთვნოთ ვიურმის შემდგომი დროის დასაწყისს (არქეოლოგიური დანაწილებით, დროს მეზოლითის დასაწყისიდან ქვედა ნეოლითამდე), რაც არ ეწინააღმდეგება სპეციალური ლიტერატურის მონაცემებს მამონტის გეოლოგიური გაერთელების შესახებ.

საქართველოს სსრ მეცნიერებათა აკადემია

პალეობიოლოგიის სექტორი

თბილისი

(რედაქციას მოუვიდა 28. 10. 1951)

დამოწმებული ლიტერატურა

1. ნ. ბურნაკ-აბრამოვიჩი. *Elephas primigenius* Blum.-ის ნაშთი დუშეთის რაიონიდან. საქართველოს სახელმწიფო მუზეუმის მოამბე, ტ. XIII A, 1946.
2. H. F. Osborn. *Proboscidea*. Vol. II, 1942.



ტანება

ბ. ცეცხლაძე

რთული სივრცობრივი კოვკოვიციების აზება
პერსპექტივაში

(წარმოადგინა აკადემიის ნამდვილმა წევრმა კ. ზაერეევმა 31.7.1951)

პერსპექტივის ფართო გამოყენება ალორძინების ხანის დიდი ოსტატების შემოქმედებაში კიდევ არ ნიშნავს გამოსახულების ამ მეთოდის სრულყოფას. პირიქით. ნიჭისა და ინტუიციის წყალობით პერსპექტივის აგების შესასაძლებლობა ერთგვარად აბრკოლებდა კიდევ ამ დარგის თეორიულ განვითარებას.

პერსპექტივის ან ორთოგონალის გამოყენება არქიტექტურულ და საინჟინრო შემოქმედებაში აგრეთვე არ ნიშნავს თვით ამ გამოსახულებათა აგებაში შემოქმედების საკურობას; პირიქით, რაც უფრო ზუსტ მეცნიერულ სისტემად ჩამოყალიბდება გამოსახულებათა ეს მეთოდები, მით უფრო გარკვეული და ადვილი იქნება მათი გამოყენება არქიტექტორისა და ინჟინრის შემოქმედებაში.

დღეის დარგის შრომებმაც კი, სადაც კონუსურმა დაგეგმილებამ, პროექციური გეომეტრიის სახით, პირველი თეორიული განზოგადება პოვა, ვერ მოახდინა არსებითი გავლენა თვით პერსპექტივის შემდგომ განვითარებაზე. საერთოდ პერსპექტივის განვითარება უმეტესად შემოქმედთა პრაქტიკული მოღვაწეობის სფეროთი შემოიფარგლა, რის გამოც პერსპექტივის აგების ყველა არსებული მეთოდი ერთგვარი ცალმხრივობით განიჩნევა, მაგრამ მათი განხილვა ამჯერად არ შეადგენს ჩვენი მსჯელობის საგანს.

პერსპექტიულ აგებათა საერთო სისტემის გარკვევისათვის პირველ ნახაზე აგებულია კუბი და მისგან დაცემული ჩრდილი პერსპექტივაში, თავმოყრის ყველა წერტილის წარმოშობისა და დანიშნულების სივრცობრივი განსაზღვრით.

წინამდებარე შრომა მიზნად არ ისახავს პერსპექტივის დარგში რაიმე უნივერსალური სისტემის შექმნას, ჩვენი მიზანია მივადწიოთ სივრცის რთულ კომპოზიციების აგებას უშუალოდ პერსპექტივაში.

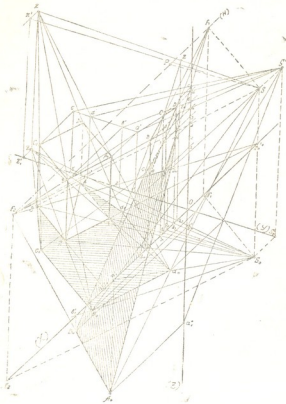
1. თეორიული საფუძველი

ცნობილია, რომ ერთი გეგმილი არ განსაზღვრავს ტანის ფორმასა და მდებარეობას სივრცეში, მეორე გეგმილი არის ის დამატებითი პირობა, რომელიც ცალსახად განსაზღვრავს ამოცანას.

მონაქის სისტემის უპირატესობის გამოსაყენებლად აუცილებელია შევინარჩუნოთ ეპიურაზე ორი გეგმილის არსებობის პირობა. ჩვენ მიერ დისახული სისტემისათვის ერთი მათგანი აუცილებლად უნდა იქნეს ცენტრალური პროექცია, მეორე კი ორთოგონალური.

ეპიურაზე ორთოგონალური პროექციის შენარჩუნება იძლევა ყველა იმ უპირატესობის გამოყენების შესაძლებლობას, რომელიც დამახასიათებელია საერთოდ ორთოგონალური გეგმილებისათვის; ცენტრალური პროექციის არსებობა კი ყოველგვარი სივრცობრივი კომპოზიციის უშუალოდ პერსპექტივაში აგების საშუალებას გვაძლევს.

ამიტომ ჩვენს ეპიურაზე ცალსახად დაკავშირებული ორთოგონალური და ცენტრალური პროექციის მისაღებად, ორიგინალს ვაგვემიღებთ თარაზულ გვეგმილთ სიბრტყეზე ორთოგონალურად, შვეულზე კი — ცენტრალურად.



ნახ. 1

ბი: გვეგმილთ ღერძი (X), შვეულად მაგვეგმილებელი სხივების ცენტრი S , იმავე ცენტრის თარაზული გვეგმილი S_p , ორიგინალის თარაზული გვეგმილი m (ყველა ეს ელემენტი დაგვეგმილებულია ეპიურაზე 45° -ით) და, ბოლოს, ორიგინალის ცენტრალური პროექცია (M).

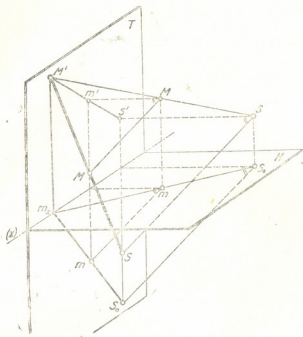
აღწერილი ეპიურის საფუძველზე ჩვენ მიერ გადაწყვეტილია გეომეტრიული ელემენტებისა და მათი შესაძლო კომბინაციის შემდეგი ძირითადი საკითხები: ხაზისა და სიბრტყის უმთავრეს მდებარეობათა განსაზღვრა, ხაზებისა და სიბრტყეების კვლების პოვნა, ორი სიბრტყის თანკვეთის ხაზის პოვნა, ხაზისა და სიბრტყის თანკვეთის წერტილის პოვნა, გეომეტრიული ელემენტების ნამდვილი ზომების დადგენა, ტანების თანკვეთა სიბრტყით და, ბოლოს, ორი ტანის თანკვეთის აგება უშუალოდ პერსპექტივაში.

დასახელებული საკითხებიდან ჩვენ აქ განვიხილავთ მხოლოდ ორი ტანის თანკვეთის აგებას, რადგან სწორედ ეს ამოცანა იძლევა თეორიულ საფუძველს რთული სივრცობრივი კომპოზიციების უშუალოდ პერსპექტივაში აგებისათვის.

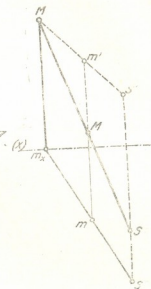
მონქის მეთოდისაგან განსხვავებით, დაგვეგმილების სივრცობრივი აპარატიდან ეპიურაზე გადასვლის დროს, გვეგმილთ სიბრტყეების შეთავსების ნაცვლად სივრცის ყველა ელემენტს მათ თარაზულ გვეგმილებთან ერთად პარალელურად ვაგვეგმილებთ შვეულ სიბრტყეზე (ნახ. 2).

პარალელური გვეგმილების მიმართულების შერჩევის დროს ვხელმძღვანელობთ მხოლოდ იმ განხრახებით, რომ სივრცობრივი აპარატიდან ეპიურაზე გადასვლის შემდეგაც თარაზული გვეგმილი შევინარჩუნოთ დაუშახინჯებლად. გვეგმილთ სიბრტყეებს შორის კუთხე 90° -ს უდროს, ამიტომ დაგვეგმილების მიმართულება აღებულება მათთან 45° -ის დახრით.

ამგვარი გარდაქმნების შედეგად მიღწეულია ახალი შესაბამისობა ორიგინალის ცენტრალურსა და ორთოგონალურ გვეგმილებს შორის. ახალ ეპიურაზე (ნახ. 3) არსებობს შემდეგი ელემენტები:



ნახ. 2



ნახ. 3

2. ტანების თანკვეთა

ავიღოთ ორი ხუთწახნაგოვანი პირამიდის თანკვეთის ისეთი შემთხვევა, როდესაც ერთი მათგანის ფუძე თარაზულ სიბრტყეზე დევს, ხოლო მეორის ფუძე ზოგადი მდებარეობის სიბრტყეს წარმოადგენს (ნახ. 5).

ამ ამოცანის გადაწყვეტა შეიცავს ხაზისა და სიბრტყის თანკვეთის წერტილის პოვნას და, როგორც ცნობილია, მისი მსგეულობა პროექტირების ყოველგვარ მეთოდში შემდეგი ეტაპებით განისაზღვრება (ნახ. 4).

1) მოცემული ტანების ფუძეებზე უნდა გატარდეს სიბრტყეები და განისაზღვროს მათი თანკვეთის ხაზი (MN);

2) განისაზღვროს მოცემული პირამიდების წვეროების შემაერთებელი სწორი ხაზის გადაკვეთის წერტილები ფუძეებზე გატარებულ სიბრტყეებთან K_1 და K_2 ;

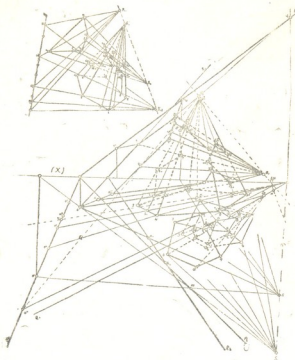
3) ერთი პირამიდის წიბოების მეორე პირამიდის წახნაგებთან თანკვეთის წერტილების საპოვნელად იღნიშნულ წიბოებზე უნდა გატარდეს სიბრტყეები, გამავალი მეორე პირამიდის წვეროზე. უნდა მოიძებნოს გატარებულ სიბრტყეების თანკვეთის ხაზები მეორე პირამიდისთან, რომელთა კვეთა შესაბამის წიბოებთან იძლევა საძიებელ წერტილებს.

ამრიგად, ორთოგონალურ გეგმილებში თანკვეთის ყოველი წერტილის საპოვნელად საჭიროა ოთხი დამხმარე ხაზის გატარება.

თუ განვიხილავთ იმავე წერტილების პოვნისათვის საჭირო აგებებს ცენტრალურ პროექციაში (ნახ. 5), დავინახავთ, რომ თანკვეთის ყოველი წერტილის საპოვნელად ჩვენთან საჭიროა მხოლოდ 3 დამხმარე ხაზის გატარება, ე. ი. ერთი დამხმარე ხაზით ნაკლებისა, ვიდრე ორთოგონალურ პროექციაში.

ეს სწორედ ის ერთი გამორიცხული ხაზია, რომელიც გამოსახავს ორთოგონალურ გეგმილებში წიბოზე გატარებული სიბრტყისა და პირამიდის ფუძეზე გამავალი სიბრტყის ერთსახელა კვლების თანკვეთის წერტილის ღერძზე დაგეგმილებას.

ცენტრალურ პროექციაში ვიპოვოთ 2_1 წერტილი. ამისათვის $0'_1 5'$ წიბოზე გატარებულია სიბრტყე, რომლის სასურათო კვალი $5'H'$ ხაზია.



ნახ. 4 (ზემოთ) და ნახ. 5 (ქვემოთ)

გატარებული სიბრტყის მეორე პირამიდის ფუძის სიბრტყესთან გადაკვეთის ხაზის პერსპექტივის მისაღებად საკმარისია მეორე პირამიდის ფუძის სიბრტყისა და გატარებული სიბრტყის სასურათო კვლების გადაკვეთის π_5 წერტილი შევავროთ K' წერტილთან (პირამიდის წვეროების შემაერთებელი ხაზის გადაკვეთის წერტილი მეორე პირამიდის ფუძის სიბრტყესთან). ავგინს სწორედ ამ ეტაპზე ჩანს ცენტრალურ პროექციაში ზემოთ აღნიშნული ხაზის გამორიცხვის შესაძლებლობა.

$\pi_5 K'$ ხაზისა და $9' 10'$ ხაზის ურთიერთ გადაკვეთით ვღებულობთ 2_1 წერტილს, რომლის მეორე პირამიდის $0'_2$ წვეროსთან შეერთებით მივიღებთ წიბოზე გატარებული სიბრტყის გადაკვეთას პირველ პირამიდის $9'_1 10'_1 0'_2$ წახანგთან; ამ $(2_1 0'_2)$ ხაზის

გადაკვეთა $5' 0'_1$ წიბოსთან გეგმღევს საძიებელ $2'_1$ წერტილს. ამგვარი შედარებით ცხადია, რომ მიღწეულია გამარტივება სივრცის ტანების თანკვეთის გადაწყვეტაში ორთოგონალური პროექციების მიმართ, რაც საფუძველს გეგმღევს იმავე ამოცანის აქ წარმოდგენილი გრაფიკული გადაწყვეტა ცენტრალური პროექციებისათვის გაცილებით მარტივად ჩავთვალოთ.

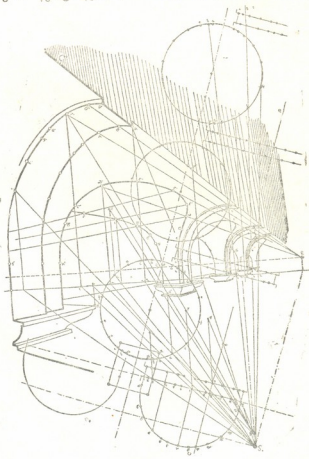
3. პრაქტიკული მნიშვნელობა

ტანების თანკვეთის ამოცანის განხილვიდან ცხადად ჩანს, რომ დასახული სისტემის გამოყენება უფრო ეფექტური იქნება მრავალწახანა ტანებისა და მრული პირეულების გადაკვეთის რთული შემთხვევებისათვის. ქვემოთ განხილულ ამ ტიპის მაგალითებზე დაერწმუნდებით, რომ ყველა გრაფიკული აგება და საბოლოოდ მიღებული პერსპექტიული გამოსახულება განირჩევა სრული თვალსაჩინოებით, რაც საგრძნობლად აჩქარებს ამოცანის გადაწყვეტის მსვლელობას.

მეექვსე ნახაზზე ნაჩვენებია მოსკოვის მეტროპოლიტენის „სოკოლის“ სადგურის ინტერიერის აგება, აღწერილი ეპიურას გამოყენებით, რაც სიმარ-

ტივისა და ვაზომვის მოხერხებულობის მხრივ, საკრძნობლად განირჩევა ამგვარი ინტერიერების აგების სხვა ხერხებისაგან.

მოცემული გეომეტრიული სქემის მიხედვით ადვილი მისახვედრია, რომ აქ უმთავრესს ამოცანას წარმოადგენს თარაზული და შვეული ცილინდრების თანვეთის სივრცის მრუდის აგება. პერსპექტივაში. აღნიშნული მრუდი არის გეომეტრიული ადგილი ისეთი წერტილებისა, რომლებიც ერთდროულად მდებარეობენ როგორც თარაზულ, ისე შვეულ ცილინდრებზე, ამიტომ შვეული ცილინდრების თარაზულ გეგმილებზე და თარაზული ცილინდრების შვეულ გეგმილებზე შესაბამისად აღებული ძირითადი ($abcdef$ და $a'b'c'd'e'f'$) წერტილები იქნება საძიებელი სივრცის მრუდზე მდებარე წერტილების თარაზული და შვეული გეგმილები, რომელთა პერსპექტივების ერთობლიობა მოგვცემს საძიებელი სივრცის მრუდის პერსპექტიულ გამოსახულებას.



ნახ. 6

მარჯვენა თარაზული ცილინდრის შვეულ გეგმილზე (კრილზე) აღნიშნულია საძიებელი წერტილების შვეული გეგმილები: $a'b'c'd'e'f'$ და ა. შ., რომელთა დაშორებებით თარაზული სიბრტყიდან განისაზღვრება შესაბამისი წერტილების სიმაღლეები. ჩვენი ეპიურით წერტილის პერსპექტივის აგებისათვის სრულიად საემარისია მისი თარაზული გეგმილისა და სიმაღლის ცოდნა; ასე, მაგალითად, D' წერტილის საპოვნელად d წერტილიდან შვეულ საზზე გადაზომილია მისი სიმაღლე d' წერტილამდე; S_0 -დან d წერტილზე გატარებულია მაგეგმილებელი სხივის თარაზული გეგმილი ღერძთან გადაკვეთამდე, საიდანაც აღმართულია მართობი Sd' მაგეგმილებელი სხივის გადაკვეთამდე, და მიღებულია წერტილი D' ; D წერტილის საძიებელი პერსპექტიული გამოსახულება.

ასეთივე აგებნით ეღებულობთ საძიებელი მრუდის სხვა წერტილებსაც ($A'B'CE'F'$ და ა. შ. ნახაზზე ნაჩვენებია მხოლოდ D' წერტილის აგება). საგულისხმოა, რომ, თუ აღწერილი წესით ავაგებთ პირველი შეფუთული ცილინდრის გადაკვეთის მრუდებს ორივე თარაზულ გვირაბთან, დანარჩენი ანალოგიური მრუდები ხელმეორედ აგებას არ მოითხოვს. გვირაბების ღერძების თავმოყრის P_1 წერტილის დახმარებით ვიპოვით დანარჩენი საძიებელი მრუდების უმთავრესი წერტილების პერსპექტიულ გამოსახულებას. ყველა დამატებითი არქიტექტურული დეტალის აგება ვაცილებით თვალსაჩინოა და მხოლოდ ანალოგიურ გრაფიკულ აგებათა ამოცანას შეიცავს.

არსებული ხერხებით ასეთივე რთული სივრცობრივი კომპოზიციის აგება მოითხოვს წინასწარ გეგმის პერსპექტივის აგებას, რომელზედაც შემდეგ აიგება თვით სივრცობრივი კომპოზიციის პერსპექტიული გამოსახულება. ასეთი აგება (როგორც პირველი, ისე მეორე ეტაპი) საკმაოდ სიძნელეებს შეიცავს და არსებულ ხერხებს უპირატესობა შეიძლება მიენიჭოს მხოლოდ მაშინ, როცა გეგმაყოფილებს ფორმალური პერსპექტივის აგება.



სურ. 1. „ოშკი“

მართლაც, ფორმალურ პერსპექტივაში განივი თალები, გვირაბები და ყველა განივი კრილი სასურათო სიბრტყის პარალელურ სიბრტყეებში მოიქცევა და მათი აგება პერსპექტივაში ნაპოვნი ცენტრებიდან მხოლოდ ჩვეულებ-

ბრივი წრეხაზების შემოხაზვას მოითხოვს. ამასთან, თავმოყრის მხოლოდ ერთი წერტილის არსებობა იმარტივებს როგორც სიღრმის, ისე განივი მასშტაბით სარგებლობას. სწორედ ასეთი წესითაა აგებული მეტროპოლიტენის სადგურის ინტერიერი [1].

გარდა ამისა, დასახული სისტემის პრაქტიკულად გამოყენება მეტაონაყოფიერი აღმოჩნდა ძველი ქართული ძეგლების სივრცობრივი რესტავრაციის დროს. ამას ცხადყოფს თუნდაც სამხატვრო აკადემიის არქიტექტურ-



სურ. 2. მცხეთის „სვეტიცხოველი“

რის ფაქულტეტის სტუდენტთა მიერ შესრულებული პერსპექტივები. საილუსტრაციოდ აქ წარმოდგენილია ოსმალეთის მიერ მიტაცებული X საუკუნის ქართული ძეგლის „ოშკის“ პერსპექტივა (სურ. 1. „ოშკი“). აღნიშნული პერსპექტივა შესრულებულია საქართველოს ხელოვნების მუზეუმში არსებული ძველი ორთოგონალური ანაზომების საფუძველზე; იგი იძლევა ისეთ პერსპექტიულ ხედს, რომლის ნახვის ან ფოტოგრაფიულად გადაღების შესაძლებლობა ამ-

ქმად ჩვენ აღარ გავაჩნია, რადგან საბჭოთა ტერიტორიის გარეთ დარჩენილი ძეგლები ხანგრძლივი მოუვლელობის გამო, ძლიერ დაზიანდა.

შედარებისათვის აქვე ნაჩვენებია დღემდე უვნებლად შენახული XI საუკუნის მცხეთის „სვეტიცხოვლის“ პერსპექტივა, რომელიც მშენის წერტილის სწორი შერჩევის შედეგად აღნიშნული ძეგლის საუკეთესო ხედს იძლევა (სურ. 2. მცხეთის „სვეტიცხოველი“).

აღნიშნული მაგალითებიდან ცხადია, რომ ამგვარი ამოცანების გადაწყვეტის დროს დასახული სისტემის გამოყენება მნიშვნელოვან პრაქტიკულ ნაყოფს მოგვცემს.

დასკვნები

1. ორი ორთოგონალური პროექციით ერთდროულად სარგებლობა აბრკოლებს ტანების ფორმისა და მდგომარეობის შესახებ მთლიან მხედველობითს წარმოდგენას; ამით აიხსნება ორთოგონალური პროექციების ნაკლები თვალსაჩინოება. მიუხედავად იმისა, რომ დასახულ სისტემაშია ამოცანების გრაფიკული ამოხსნა წარმოებს ორიგინალის ორ პროექციაზე შევული ორთოგონალური პროექციის ცენტრალური გეგმილით, შეცვლა გაცილებით უფრო თვალსაჩინოს ხდის ამოცანის მსვლელობას.

2. დასახულ სისტემაში მიღწეული კავშირი ორთოგონალურსა და ცენტრალურ პროექციას შორის შესაძლებელს ხდის მათი ცალკეული უპირატესობების ერთდროულ გამოყენებას. ეს განსაკუთრებით ნათელია ორი ტანის თანკვეთის მაგალითიდან, სადაც ცენტრალურ პროექციაზე წარმოებული ყველა გრაფიკული აგება და საბოლოოდ მიღებული თანკვეთის გამოსახულება განიჩქევა სრული თვალსაჩინოებით, რაც აჩქარებს ამოცანის გადაწყვეტას.

3. დასახული სისტემით ტანების თანკვეთის ამოცანის გადაწყვეტა გამარტივებულია ორთოგონალური პროექციების მიმართაც კი, რაც საფუძველს გვიძლევს ამოცანის გრაფიკული გადაწყვეტა ჩავთვალოთ გაცილებით უფრო მარტივად ცენტრალურ პროექციაში არსებულ სხვა ხერხებთან შედარებით.

4. დასახული სისტემის პრაქტიკული გამოყენება შემოიფარგლება ამოცანების გარკვეული ჯგუფით:

- ა) კომპოზიციები, რომლებიც შეიცავს სხეადასხვა მიმართულების ხაზების დიდ რაოდენობას;
- ბ) კომპოზიციები, რომლებიც შეიცავს სხეადასხვა ბრტყელ და სივრცობრივ მრუდებს;
- გ) კომპოზიციები, რომლებიც წარმოადგენს ტანების თანკვეთის რთულ შემთხვევებს.

ძველი ქართულა არქიტექტურული ძეგლების პერსპექტიული გამოსახულება სწორედ ამგვარი ამოცანების კომპლექსს შეიცავს.

საქართველოს სსრ მეცნიერებათა აკადემია
სააშენებლო საქმის ინსტიტუტი
თბილისი

(რედაქციას მოუვიდა 31.7.1951)

დამოწმებული ლიტერატურა

Е. А. И. Добряков. Сборник задач по курсу начертательной геометрии, М.-Л. стр. 303, 1941.



ტექნიკა

ი. შიგაძე

სამშრომლო წარმოების რაციონალური მეთოდის შერჩევის
საკითხისათვის

(წარმოადგინა აკადემიის ნამდვილმა წევრმა კ. ზავრიევა 14.2.1952)

ცალკეული სამშენებლო პროცესების შესასრულებლად ამჟამად გამოყენებულია სხვადასხვა მეთოდი—ხელის, ნახევრადმექანიზებული, მექანიზებული და ბოლოს ინდუსტრიული მეთოდი. თითოეული მათგანის გამოყენება შესაფერის პირობებში თავის გამართლებას პოულობს; ასე, მაგალითად, სამუშაოს მცირე მოცულობა, ოპერაციათა სხვადასხვაობა, სამუშაო ფრონტის გაბნეულობა, როგორც წესი, ხელის იარაღებით მუშაობას მოითხოვს, უკეთეს შემთხვევაში კი ნახევრად მექანიზაციას; პირიქით, მასობრივი სტანდარტული მშენებლობა ერთმანეთთან ახლოს მდებარე სამუშაო ფრონტებით ყველა პირობას ქმნის სამშენებლო პროცესების მექანიზაციისათვის. გარდა ამისა, მშენებლობის სტანდარტიზაციასა და გამსხვილებას თან სდევს მრავალი ოპერაციის ინდუსტრიალიზაცია [2, 3]; ეს ღონისძიებანი საშუალებას იძლევა ავამაღლოთ მშენების ეკონომიურობა, რაც საესეებით შესაბამემა ხელმძღვანელი ორგანიზების მოთხოვნებს [1].

სამუშაოთა წარმოების რაციონალური მეთოდის შერჩევაში (თანაბარ პირობებში) განმსაზღვრელად ეკონომიურობის ფაქტორი ითვლება. ამიტომ საჭიროა ყოველ ცალკე შემთხვევაში ზუსტად და დასაბუთებულად მივუთითოთ, თუ მექანიზაციის რომელი მეთოდი იქნება ყველაზე მეტად შესაფერისი სხვა არსებულ მეთოდთან შედარებით.

სამშენებლო სამუშაოთა წარმოების ორგანიზაციის პროექტის შედგენისას სამუშაოთა წარმოების მეთოდის საკითხის გადაწყვეტის დროს ყოველთვის როდი ხერხდება სწორი გადაწყვეტილების აღვილად მიღება და უფრო ხშირად გვიხდება მივმართოთ სხვადასხვა შესაძლო ვარიანტის შედგენა-შედარებას; ამ გზას უმრავლეს შემთხვევაში უხეშ მიხლოებამდე მივყავართ, რაც მექანიზმების არასრულ გამოყენებასა და სახსრების გადახარჯვისთანა დაკავშირებული.

ამ შრომის მიზანს შეადგენს სამშენებლო პროცესების წარმოების ეკონომიური მეთოდის შერჩევის ანალიზური გადაწყვეტა, რაც მნიშვნელოვნად შეამსუბუქებს ინჟინერ-პეგეგმავისა და სამუშაოთა მწარმოებლის შრომას და ამ საქმეში უზრუნველყოფს სახელმწიფო სახსრების მაქსიმალურ ეკონომიას.

მივიღოთ შემდეგი აღნიშვნები:

- V—შესასრულებელი სამუშაოთა მოცულობა (კუბური მეტრობით);
- β—მექანიზმის მონტაჟისა და დემონტაჟის ღირებულება (მანეთობით);

T —მექანიზმის ტრანსპორტირების ღირებულება მექანიზაციის პარკიდან სამუშაო ადგილამდე და უკან (მანეთობით);

t_1 —მექანიზმის მონტაჟისა და დემონტაჟისთვის საჭირო დრო (დღე-ღამეებით);

t_2 —მექანიზმის ტრანსპორტისათვის საჭირო დრო (დღე-ღამეებით);

a —ერთი კუბური მეტრი პროდუქციის ხელის იარაღებით დამზადების ღირებულება (მანეთობით);

b —ერთი კუბური მეტრი პროდუქციის მექანიზმული მეთოდით დამზადების ღირებულება (მანეთობით);

c —მექანიზმის საიჯარო ღირებულება (მანეთობით) დღე-ღამეში).

სამუშაოს მექანიზმული წესით შესრულება საჭირო პერიოდში მოიცავს ზედნაღებ ხარჯებს მექანიზმის ტრანსპორტირებაზე, სამონტაჟო სამუშაოებსა და იჯარის გადახდაზე, რაც შეადგენს:

$$\beta + T + c(t_1 + t_2).$$

ხვედრითი ხარჯი (მზა პროდუქციის ერთ კუბურ მეტრზე) არის

$$\frac{\beta + T + c(t_1 + t_2)}{V}.$$

ამიტომაც მექანიზმული მეთოდით პროდუქციის ერთი კუბური მეტრის დამზადების ღირებულება იქნება

$$\frac{\beta + T + c(t_1 + t_2)}{V} + b.$$

ცხადია, რომ მოცემული სამშენებლო პროცესის მექანიზაცია ეკონომიურად გამართლებული იქნება მხოლოდ იმ შემთხვევაში, როცა

$$\frac{\beta + T + c(t_1 + t_2)}{V} + b \leq a.$$

საიდანაც

$$V \geq \frac{\beta + T + c(t_1 + t_2)}{a - b}. \quad (1)$$

ამგვარად, ყოველ ცალკეულ შემთხვევაში ჩვენ შეგვიძლია მივუთითოთ მოთხოვნილი პროდუქციის იმ მინიმალურ მოცულობაზე, რომლის დროსაც მექანიზაციის აღებული მეთოდი ეკონომიურად გამართლებულია ხელის იარაღებით მუშაობასთან შედარებით.

ისეთ შემთხვევაშიც კი, როცა გვინდა ერთმანეთს შევადაროთ სამუშაოს წარმოების სხვა მეთოდები, ზემოთ ნაჩვენები საანგარიშო ფორმულა მსგავს სახეს ინარჩუნებს.

თუ სამშენებლო მოედანზე გამოყენებულია არასტაციონალური მექანიზმები (დასაშლელ-ასაკრები, გადასაადგილებელი, მოძრავი), მაშინ (1) ფორმულაში მონტაჟისა და დემონტაჟის ხარჯები (β) განმეორდება N_{\min} -ჯერ, სადაც N_{\min} -ით დადგმულობის პოზიციათა მინიმალური რიცხვია აღნიშნული. ეს სიდიდე, მექანიზმის მოქმედების რენტაბელური რადიუსის გათვალისწინებით, განისაზღვრება ფორმულით

$$N_{\min} = \frac{l}{\sqrt{\frac{\beta}{2kc_0}}}$$

სადაც l წარმოადგენს სამუშაო ფრონტის სიგრძეს (მეტრობით);

k გრძივ მეტრზე ერთეულების რიცხვია (ჯერი, კვადრატული მეტრი, კუბური მეტრი);

c_0 მექანიზმიდან მიღებული პროდუქციის ერთეულის გადატანის ღირებულებაა ერთ მეტრზე, რაც სამშენებლო მოედნის ფარგლებში მოცემული გზის ტიპისა, ტვირთის ჯგუფისა და გამოყენებული ტრანსპორტის სახისთვის მუდმივად მიიღება [4, 5].

გარდა ამისა, გამოჩნდება საჭირო დამატებითი ხარჯები მექანიზმის ერთი პოზიციიდან მეორეზე გადატანისათვის

$$\sum_1^N T_i$$

და მექანიზმის ასეთ გადაადგილებათა პერიოდისათვის საიჯარო ხარჯები

$$c \sum_1^N t'_i$$

ამ ხარჯების გათვალისწინებით სამუშაოს წარმოების რაციონალური მეთოდის შესარჩევი ფორმულა, არასტაციონალური მექანიზმებით სარგებლობის შემთხვევაში, მიიღებს შემდეგ სახეს:

$$V \cong \frac{N_{\min} \beta + T + c \left[(t_1 + t_2) + \sum_1^N t'_i \right] + \sum_1^N T_i}{a - b} \quad (2)$$

ზემოთ ჩატარებული გაანგარიშება შეეხებოდა შემთხვევას, როცა ერთი მექანიზმი გამოიყენებოდა. რადგან სამუშაოს წარმოებისათვის საჭირო დრო მცირდება ერთდროულად მომუშავე მექანიზმების რიცხვის გაზრდით, ამიტომ ცალკე მოცემული შემთხვევისათვის გარკვეული მნიშვნელობა ენიჭება ერთდროულად მოქმედი მექანიზმების მაქსიმალური რენტაბელური რიცხვის განსაზღვრას (ცხადია, სამუშაო ფრონტის შესაძლებლობის გათვალისწინებით).

თუ მოქმედი მექანიზმების რიცხვს m -ით აღვნიშნავთ, მაშინ სამუშაოს ხვედრითი მოცულობა, რაც ერთ მექანიზმზე მოვა, დაახლოებით შეადგენს

$$\frac{V}{m}$$

და საანგარიშო ფორმულა მიიღებს შემდეგ სახეს:

$$\frac{V}{m} \cong \frac{N_{\min} \beta + T + c \left[(t_1 + t_2) + \sum_1^N t'_i \right] + \sum_1^N T_i}{a - b}$$

საიდანაც მივიღებთ:

$$m \cong \frac{V(a-b)}{N_{\min} \beta + T + c \left[(t_1 + t_2) + \sum_1^N t'_i \right] + \sum_1^N T_i} \quad (3)$$

მიღებული შედეგიდან ცხადად ჩანს, რომ, თუ $m < 1$, მოცემული სამშენებლო პროცესის მექანიზაციას ეკონომიური გამართლება არა აქვს.

საჭიროა აღინიშნოს, რომ იმ შემთხვევისათვის, როცა გამოყენებული მექანიზმები პოზიციის შეცვლის დროს დაშლა-აწყობას არ მოითხოვს, (1), (2) და (3) ფორმულებიდან გამოირიცხება β , რითაც აღნიშნული საანგარიშო ფორმულები გამარტივდება:

$$V \cong \frac{T + ct_2}{a - b}; \quad (1')$$

$$V \cong \frac{T + c \left(t_2 + \sum_1^N t'_i \right) + \sum_1^N T_i}{a - b}; \quad (2')$$

$$m \cong \frac{V(a-b)}{T + c \left(t_2 + \sum_1^N t'_i \right) + \sum_1^N T_i} \quad (3')$$

ეს ფორმულები საშუალებას გვაძლევს სამუშაოთა წარმოების მეთოდის შერჩევის კონკრეტული ამოცანები სწრაფად გადავწყვიტოთ, ამასთან გამოვირიცხოთ ვარიანტების შედგენისათვის საჭირო შრომატევადი სამუშაოები.

რკინიგზის ტრანსპორტის ინჟინერთა

ვ. ი. ლენინის სახელობის

თბილისის ინსტიტუტი

(რედაქციას მოუვიდა 14.2.1952)

დამოწმებული ლიტერატურა

1. Л. П. Берия. 34-ая годовщина Великой Октябрьской Социалистической Революции. Доклад на торжественном заседании Московского Совета 6 ноября, 1951 года. „Правда“, 7/XI, 1951.
2. Д. Д. Биваюки и др. Технология строительного производства. Москва, 1951.
3. Б. П. Горбушин и др. Общий курс строительного производства, часть III, Москва, 1945.
4. И. Н. Иванов. Строительство автомобильных дорог, часть II, Москва, 1948.
5. Н. А. Наумов. Производственные предприятия в строительстве. Москва, 1951.

ნიდაზგეოლოგიკა

მ. ზანტურიშვილი

 ნიდაზის ქიმიური შედგენილობის შესწავლისათვის ვაზის
 ქლოროზთან დაკავშირებით

(წარმოადგინა აკადემიის წევრ-კორესპონდენტმა მ. საბაშვილმა 2.6.1951)

კულტურულ მცენარეთა ქლოროზით დაავადების მოვლენები დიდი ხანია ცნობილია. ჩვენში, არსებული მონაცემებით, ქლოროზი პირველად შემჩნეულ იქნა XIX საუკუნის დამლევეს. ცნობები ამის შესახებ მოყვნილია კავკასიის ფილოქსერის კომიტეტის ანგარიშებში. ქლოროზი მრავალწლოვანი მცენარეების (ხეხილი, ვაზი და სხვა) თანდათანობით დასუსტებასა და განმობას იწვევს.

ვაზის ქლოროზის წარმოქმნის მიზეზების დადგენა და მის წინააღმდეგ ბრძოლის საშუალებათა დამუშავება-დასაბუთება გადაუდებელ ამოცანას წარმოადგენს. ეს გასაგებია, თუ მხედველობაში მივიღებთ იმას, რომ აღმოსავლეთ საქართველოს რიგ რაიონებში ვენახებსა და ხეხილს დიდი ფართობი უჭირავს.

წინამდებარე წერილი შეეხება ქლოროზის წარმოქმნის საკითხებს ლიტერატურაში არსებული ცნობებისა და ჩვენ მიერ ჩატარებული გამოკვლევის მიხედვით.

ქლოროზის შესახებ ვრცელი ცნობები, არსებული მონაცემების საფუძველზე, მოცემულია ა. იაჩევესკის შრომაში [9]. ქლოროზით დაავადების გამომწვევ მიზეზად ავტორი თვლის: 1) ნიადაგში რკინის ნაკლებობას, 2) კიორის სიჭარბეს, 3) გვალვას, 4) ნიადაგის გადაჭარბებულ ტენიანობას, 5) ნიადაგისა და ჰაერის არასაკმარის სითბოს, 6) სოკოვან დაავადებას და 7) ცხოველთა პარაზიტებს.

ზოგი მკვლევრის აზრით, ქლოროზის გამომწვევი მთავარი მიზეზია ნიადაგში მცენარის მიერ შესათვისებელი რკინის დეფიციტი. ქლოროზის მიზეზად მიიჩნიათ ნიადაგში კარბონატების სიჭარბეც. აღნიშნული საკითხის ირგვლივ მკვლევართა შეხედულება სხვადასხვაგვარია. ზოგიერთის შეხედულებით კარბონატების ზრდასთან ერთად იზრდება ქლოროზიც, ხოლო უკარბონატო ნიადაგზე ქლოროზი არ ჩნდება. ასევე დიდ როლს აკუთვნებენ ქლოროზის გავრცელებაში ნიადაგის კარბონატულობას ა. კირსანოვი, ა. სანნიკიძე და ტ. ბაქრაძე [6]. მათი აზრით, ქლოროზით ვაზის დაავადება შესაძლებელია უკარბონატო ნიადაგშიც, თუ იგი განვითარებულია ნახშირმყავა კალციუმით მდიდარ ქანზე.

ქლოროზით ვაზის დაავადების მოვლენებს შესათვისებელი ფოსფორმყავას დინამიკასაც უკავშირებენ. ზ. ბაღდასარიშვილის მიერ [3] ქლორო-

როზიანი ვაზის ნიადაგში აღნიშნულია შესათვისებელი ფოსფორის სიჭარბე. მისი აზრით, კირიან ნიადაგებზე ქლოროზის გამომწვევი უშუალო მიზეზი კირი კი არაა, არამედ ქიმიური გარდაქმნების შედეგად წარმოქმნილი ტუტე გარემო და კალციუმის ბიკარბონატის ქარბი რაოდენობა. კალციუმის ბიკარბონატის დაგროვებას ნიადაგში ხელს უწყობს ორგანული ნივთიერების დაშლით წარმოქმნილი CO_2 , ნიადაგში ტუტე რეაქციის შექმნით მცენარისათვის აუცილებელი ელემენტები — რკინა და ფოსფორი — გადადის უხსნად ფორმაში, რაც ხელს უწყობს ქლოროზით ვაზის დაავადებას.

ვ. მაქაიაშვილის დაკვირვებით [8], ვაზი ქლოროზით ავადდება ისეთ კარბონატულ ნიადაგებზე, რომლებიც არ შეიცაივს კალციუმის სულფატს; მისი აზრით, თაბაშირიან ნიადაგებზე ვაზი უფრო გამძლეა ქლოროზის მიმართ. მის მიერ ჩატარებული გამოკვლევები გვიჩვენებს სასუქების გაფლენას (N, NP, NPK და ნაკელისას) ქლოროზის შემცირებაზე. აღნიშნულია აგრეთვე ნიადაგში ხელოვნურად შეტანილი გოგირდის დადებითი გავლენა.

დემოლონი და ბასტისი [5], ახალი გამოკვლევების საფუძველზე, ქლოროზის გამომწვევ მრავალ მიზეზს ასახელებენ და მათ შორის ნიადაგში რკინის მცენარისათვის შეუთვისებელ ფორმაში გადასვლის შესაძლებლობას. ამასთან ერთად ისინი მიგვითითებენ რკინის ნაკლებობით გამოწვეული ქლოროზის ტიპზე, მისი დადგენის მარტივ მეთოდებზე ($\text{Fe}(\text{NO}_3)_3$ -ის ხსნარის გამოყენებით) და მკურნალობის მეთოდზე ფერი-სილიკატურ კომპლექსში რკინით მცენარის კვების საშუალებით. აღნიშნული ავტორები რკინის გააქტივების მექანიზმს სილიკატების დამკველი როლით ხსნიან. ასევე დამკველ როლს ასრულებს მანგანუმი და სხვა კატიონები.

ამრიგად, მკვლევართა დიდი უმრავლესობა ქლოროზის წარმოქმნის ძირითად მიზეზად ნიადაგში კირის სიჭარბესა და უხსნად ფორმაში მყოფ რკინას თვლის.

როგორც ცნობილია, რკინას უდიდესი მნიშვნელობა აქვს მცენარეთა და ცხოველთა კვების ფიზიოლოგიურ პროცესში. მცენარის ზრდისა და გამწვანების საქმეში იგი აქტიურად მოქმედი კატალიზატორის როლს ასრულებს [7].

ექსპერიმენტული ნაწილი

საქართველოს სსრ მევენახეობის რაიონებში ვაზის ქლოროზის შესწავლას, მის წინააღმდეგ ბრძოლის ღონისძიებათა დადგენის მიზნით, აწარმოებენ საქართველოს სსრ მეცნიერებათა აკადემიის ბოტანიკის, მევენახეობა-მეღვინეობის, მცენარეთა დაცვისა და ნიადაგმცოდნეობის ინსტიტუტები. დადგენილია ქლოროზის ვაკრცელების ძირითადი კერები, სხვადასხვა რაიონში მისი გამომწვევი მიზეზები და ამ მხრივ საძირკვების დიდი როლი; კერძოდ, დადგენილია ქლოროზის მიმართ ბერლანდიერის ჰიბრიდებზე დამკნელი ვაზების დიდი გამძლეობა.

ნიადაგმცოდნეობის ინსტიტუტმა მიზნად დაისახა ქლოროზის დაავადებაში ნიადაგური პირობების როლის შესწავლა და ეს მუშაობა ჩაატარა



მარნეულისა და ბოლნისის რაიონებში. ქლოროზით დაავადებული ამ რაიონების ვენახების ნიადაგის შესწავლა ჩაატარა ი. ბარათაშვილმა. ამ გამოკვლევის შედეგად [1,2] დადგენილია, რომ ქლოროზი მეტადაა გავრცელებული კარბონატებით მდიდარ კულტურულ და წაბლა ნიადაგებზე (სარწყავებზე), განსაკუთრებით ისეთ ვენახებში, რომლებიც ძლიერ ირწყვის; ქლოროზი მეტადაა გამოსახული მძიმე მექანიკური შედგენილობის ნიადაგებზე; უფრო მეტად ავადდება ალიგოტესა და საფერავის ჯიშის ვაზები. ძლიერი დანესტიანება ხელს უწყობს ქლოროზით ვაზის დაავადებას აგრეთვე კირით ლარიზ ნიადაგებზეც.

სტაციონარულმა დაკვირვებებმა შაუმიანსა და სადახლოში ცხადყო, რომ ვაზფხულზე ქლოროზის მეტი ინტენსივობა, სხვა მიზეზებთან ერთად, დაკავშირებულია ნიადაგში რკინისა და ფოსფორის შენაერთების სიმცირესთან და, მეორე მხრივ, წლის ამ პერიოდში ნიადაგის მეტ ტენიანობასთან (ნალექების სიჭარბისა და მორწყვის ზეგავლენით). ზაფხულის დამლევს ნიადაგში მცირდება რკინისა და ფოსფორის რაოდენობა, ამით სუსტდება ქლოროზის გამოსახულება.

ჩვენს მიზანს შეადგენდა ქლოროზთან დაკავშირებით ნიადაგში რკინის შემცველობისა და ფორმების შესწავლა და ხსნადი რკინის შესწავლის მეთოდის დაზუსტება. კვლევისათვის ჩვენ ავიღეთ მარნეულის რაიონის კულტურული და წაბლა ნიადაგების (სარწყავების) ნიმუშები.

კულტურულ (სარწყავ) ნიადაგებს, ი. ბარათაშვილის აზრით, მორწყვის მეტი ხანგრძლიობის შედეგად უფრო მეტად აქვს შეცვლილი პირველადი სახე. მათ შედარებით ღრმა ფენებშიც კი უფრო ღრმა პროფილი და ჰუმუსიანობა ახასიათებს. მექანიკური შედგენილობით ეს ნიადაგები თიხებსა და მძიმე თიხნარებს წარმოადგენს. ეს პირველი ცხრილის მომაცემებიდან ჩანს.

წაბლა ნიადაგებს (სარწყავს) ჰუმუსიანი ფენები ნაკლები სისქისა აქვს, რწყვის გავლენა მათ შედარებით ნაკლებად ემჩნევა; მეტია მათი კარბონატულობაც.

მოგვყავს აღნიშნული ნიადაგების მექანიკური და ქიმიური შედგენილობის მონაცემები (იხ. ცხრილი 1).

აღნიშნულ ნიადაგებს კარგი აგრეგატული შედგენილობა აქვს, რაც უმთავრესად კალციუმის კარბონატების ზეგავლენით აიხსნება.

როგორც ვხედავთ, კულტურული ნიადაგი (სარწყავი) უფრო აგრეგირებულია ქვედა ფენებში, ვიდრე წაბლა ნიადაგი.

როგორც ქიმიური ანალიზებიდან ჩანს, კულტურულ და წაბლა ნიადაგებში (სარწყავებში) ჰუმუსისა და აზოტის შემცველობა როგორც სალ, ისე დაავადებულ ვენახში თითქმის ერთნაირადაა წარმოადგენილი. რაც შეეხება შესათვისებელ ფოსფორს, ის მეტია კულტურულ ნიადაგებში, ვიდრე წაბლა ნიადაგებში.

ლაბორატორიული კვლევისათვის საჭირო ნიმუშები აღებულ იქნა როგორც ქლოროზით დაავადებულ, ისე სალ ვენახებიდან. ხსნადი რკინის განსაზღვრისათვის დამაკმაყოფილებელი მეთოდის უქონლობამ გვაიძულა შეგვესრულებინა სათანადო მეთოდური ხასიათის მუშაობა.

ცხრილი 1

კულტურული ნიადაგების (სარწყავის) მექანიკური შედგენილობა NaCl დამუშავებით

ადგილმდებარეობა და ნიადაგი	კრილის №№ და ვახის მდგომარეობა	სიღრმე სმ-ით	ჰიგროსკოპული წყალი	1-0,25	0,25-0,05	0,05-0,01	0,01-0,005	0,005-0,001	0,001	ჯამი 0,0
სოფ. შაუშანი, კულტურული ნიადაგი (სარწყავი)	1 დაავად. ვახი	0-20	6,34	2,43	8,01	21,76	8,41	20,30	44,09	72,80
		40-50	8,41	3,17	4,57	17,19	4,72	22,45	37,90	75,07
		70-80	5,86	2,70	14,81	20,31	15,78	8,00	38,40	62,18
		100-110	6,77	3,17	3,38	18,68	9,38	27,55	37,85	74,78
იგივე	2 სალი ვახი	0-20	5,63	2,10	3,89	11,61	21,61	16,14	44,65	82,40
		40-60	8,75	2,82	11,60	14,80	10,00	15,04	45,38	71,42
		70-80	5,64	3,39	6,16	15,74	9,60	21,32	43,79	74,71
იგივე	6 სალი ვახი	0-20	4,93	2,88	12,78	18,79	4,10	19,36	42,09	65,55
		50-60	5,42	3,17	6,35	20,41	8,53	15,05	46,48	70,06
		100-110	6,05	1,59	5,29	13,78	24,10	13,40	41,84	73,34
იგივე	33 დაავადებ. ვახი	0-20	6,53	1,44	7,57	12,47	13,00	34,82	40,70	78,52
		40-50	5,20	2,03	1,76	14,55	19,11	23,26	32,29	81,66
		75-85	5,90	1,30	6,57	20,70	12,60	22,83	34,95	71,43
		120-130	8,50	2,62	1,01	4,45	28,42	22,81	40,69	91,92

ცხრილი 2

კულტურული და წაბლა ნიადაგების (სარწყავების) აგრეგატული ანალიზი

ადგილმდებარეობა და ნიადაგი	კრილის №№ და ვახის მდგომარეობა	სიღრმე სმ-ით	> 3 მმ	3-1 მმ	1-0,25 მმ	< 0,25 მმ
ს. შაუშანი, კულტურული ნიადაგი (სარწყავი)	1 დაავადებ. ვახი	0-20	32,0	48,0	8,0	12,0
		40-50	57,0	9,0	19,0	15,0
		70-80	12,0	65,0	14,0	9,0
იგივე	2 სალი ვახი	0-20	5,0	31,0	6,0	9,0
		40-50	21,0	60,0	7,0	12,0
		85-95	-	18,0	31,0	51,0
იგივე	53 სალი ვახი	0-15	35,0	47,0	3,0	15,0
		40-50	19,0	57,0	4,0	20,0
		70-80	-	55,0	10,0	35,0



ცხრილი 3

კულტურულ (სარწყავ) და წაბლა ნიადაგებში ჰუმუსის, აზოტისა და შესათვისებელი P_2O_5 შემცველობა

ადგილმდებარეობა და ნიადაგი	ჭრილის N_2N_2 და ვახის მდგომარეობა	სიღრმე სმ-ით	ჰუმუსი %-ით	აზოტი %-ით	შესათვისებ. ფოსფორი მ-ლგრ-ით 100 გრ. ნიადა.	$CaCO_3$ %-ით
ს. შაუშიანი, ხელუხ-ბალი, კულტურული ნიადაგი (სარწყავი)	1 დაავადებული ვახი	0—20	3,47	0,26	131,3	5,63
		40—50	2,64	0,21	130,0	6,43
იგივე	2 სალი ვახი	70—80	1,59	—	127,0	7,24
		100—110	1,50	—	—	8,04
		0—20	3,15	0,24	126,8	6,80
		40—50	2,46	0,21	122,2	10,88
გიულ-ბალი წაბლა ნიადაგი (სარწყავი)	7 დაავადებული ვახი	65—75	1,79	—	120,9	12,24
		100—110	1,35	—	—	14,28
		0—18	3,66	0,24	54,5	4,37
შაუშიანი, თას-ბალი, წაბლა ნიადაგი (სარწყავი)	41 სალი ვახი	40—50	2,30	0,15	36,1	6,36
		100—110	0,56	—	—	33,82
		0—20	3,66	0,22	49,8	10,20
		45—55	1,44	0,13	37,3	12,92
		100—120	0,89	—	—	8,84

საჭირო მეთოდის შემუშავებისათვის ჩვენ ვებმძღვანელობდით იმ ძირითადი მოსაზრებით, რომ ხსნარ მდგომარეობაში გადაგვეყვანა მოძრავი რკინის შენაერთები. ნიადაგიდან ამ ფორმის რკინის ხსნარში გადასაცვანად ავიღეთ ორი გამხსნელი: სოფთა წყალი და სუსტად დისოცირებული ლიმონის მკვავა. წყლის გამონაწურში რკინა უმნიშვნელო რაოდენობით იყო განურჩევლად იმისა, კლოროზით დაავადებული თუ სალი ვახისათვის იყო დამახასიათებელი ესა თუ ის ნიმუში. ამიტომ წყლის გამონაწურში რკინის განსაზღვრაზე იძულებული ვავხდით უარი გვეთქვა.

მოძრავი რკინის გამოსაკვლევად მთავარი ყურადღება ჩვენ შევაჩერეთ ლიმონის მკვავას სხვადასხვა კონცენტრაციის ხსნარებზე (0, 01, 0,05, 0,3, 1,0, 2,0 %^{1/10}). ასეთი მიდგომით ჩვენ მიზნად ვისახავდით ისეთი ოპტიმალური კონცენტრაციის გამხსნელის ექსპერიმენტულად გამოჩვენებას, რომელიც, გამოადეგებდა რა აქტუალურად მოქმედ რკინას, ამავე დროს მაქსიმალურად ინდიფერენტული იქნებოდა სხვა შენაერთების მიმართ.

ჩატარებული ცდებით დადასტურდა მკვავას კონცენტრაციის ზრდასთან ერთად რკინის ხსნად ფორმაში მოსალოდნელი გადასვლის უწყვეტი ზრდა, თუ არ მივიღებთ მხედველობაში მცირე გამონაკლისებს, სადაც ადგილი აქვს რკინის კონცენტრაციის უმნიშვნელო შემცირებას.

მეოთხე ცხრილში მოცემული ქიმიური ანალიზებიდან ჩანს კარბონატებისა და შესათვისებელი ფოსფორის მეტი რაოდენობა, ხოლო რკინის ნაკლებობა.

ცხრილი 4

ფაშისა და მარცხენა სარეცხავი კონცენტრატის გამოანალიზების შედეგები, ხაზები ფრეზერისა და pH-ის ჩაბეჭდვით (სოფ. შეგინაძე)

CaCO ₃ %	ქვიშის წყარო	0,01			0,05			0,3			1,0			2,0			ფრეზერის ჩაბეჭდვა	
		სიღრმე სმ-ით	Fe მგ. 100 გრ. სოფ.	P ₂ O ₅ მგ. 100 გრ. სოფ.	pH	Fe	P ₂ O ₅	pH	Fe	P ₂ O ₅	pH	Fe	P ₂ O ₅	pH	Fe	P ₂ O ₅		pH
5,63	1	0-10	8,50	81,80	6,42	8,12	34,0	5,7	13,03	67,4	4,38	36,66	106,3	3,88	52,67	123,9	3,79	ქვიშის წყარო
6,47		40-50	2,16	19,90	5,17	2,45	47,8	4,71	15,69	75,4	4,17	37,33	94,3	3,79	58,41	116,6	3,25	-
7,24		70-80	8,46	19,80	5,19	9,56	19,6	4,86	14,12	73,3	4,17	36,45	99,2	3,67	57,03	119,7	3,23	-
8,04		100-110	12,89	35,10	5,18	12,02	47,8	4,94	19,70	79,5	4,19	41,77	127,7	3,62	44,07	136,0	3,34	-
0,8	48	0-20	9,17	-	-	15,03	-	-	36,68	-	-	94,22	-	-	103,63	-	-	სოფ.
0,8		40-50	17,03	-	-	22,70	-	-	38,47	-	-	66,41	-	-	83,91	-	-	-
0,8		100-110	17,62	39,5	4,87	23,17	49,8	4,66	45,91	58,6	3,60	70,17	66,0	3,38	88,45	71,8	-	-
0,79	50	0-20	11,20	39,4	-	20,47	-	-	83,74	-	-	56,30	-	-	102,38	-	-	-
0,79		50-60	27,06	21,0	5,0	30,16	10,8	5,89	61,33	-	-	90,74	-	-	104,10	-	-	-
1,19		100-110	19,04	-	-	212,19	-	-	33,36	-	-	57,40	-	-	60,49	-	-	-
26,39	63	0-10	16,94	-	-	19,0	-	-	19,01	-	-	25,01	-	-	36,14	-	-	ქვიშის წყარო
24,79		50-60	13,79	165,7	5,0	14,44	142,9	4,8	15,91	207,3	4,42	21,13	-	-	49,10	-	-	-
39,20		100-110	13,95	41,8	6,55	14,36	75,8	5,98	14,60	85,9	4,87	16,96	-	-	21,99	-	-	-

საქართველოს სასოფლის მეურნეობის მეცნიერებათა აკადემია



ბი შემცველობა ქლოროზით დაავადებული ვენახების ნიადაგებში, ვიდრე სა-
ლი ვენახების ნიადაგში, ფოსფორის შემცველობის მიმართ ამას ადასტურებს
ვ. მაქარაშვილისა და სხვა მკვლევართა მონაცემებიც.

ამა თუ იმ ფორმის რკინის ხსნადობისას მნიშვნელობა აქვს ნიადაგის
რეაქციას; ამის შესახებ მსჯელობის საშუალებას გვაძლევს ტეიკლუსა და
გაბარდერის გამოკვლევები, რომელთა მონაცემებით ჩვენ ვსარგებლობთ პროფ.
გ. დავთიანის წიგნიდან [4]. მათი გამოკვლევის თანახმად, $FePO_4$ -ის ხსნა-
დობის ორი მაქსიმუმია მიღებული: 3 pH-ზე დაბალი და 6,5 pH-ზე მაღალი.
ჩვენი საკვლევი ნიადაგების pH სცილდება ამ საზღვრებს. ის მერყეობს 3,25--
6,55 pH-ის ფარგლებში, რაც საშუალებას გვაძლევს ვიფიქროთ, რომ ჩვენს
საკვლევ ნიადაგებში რკინა არ უნდა იყოს დაკავშირებული PO_4 ანიონთან.
შესაძლებელია ვიფიქროთ, რომ აქტიური რკინის ფორმა დაკავშირებულია
სხვა ანიონებთან.

ვიფიქრობთ, რომ ნიადაგის ბუნებრივი ხსნარის კონცენტრაციისთან ყვე-
ლაზე ახლოა 1%-ანი ლიმონის ან სხვა ასეთივე დისოციაციის მქავეს ხსნა-
რი. ხსნარის ეს კონცენტრაცია მიღებული გვაქვს ჩვენს გამოკვლევაში.

მარტო მოძრავი რკინის ფორმის დადგენა არაა საკმარისი ქლოროზის
ასახსნელად, თუმცა აქაც საკმარისი ფართო და სპეციალურად შერჩეული მა-
სალის დამუშავება; წინასწარი მოსაზრების საფუძველზე ვცაობდებით, რომ
რკინის რეჟიმი აქ უთუოდ უფრო რთულ და მრავალფეროვან ფაქტორებთან
ნაა შეპირობებული და სპეციალური კვლევის საგნად უნდა იქნას მიჩნეული.
ექსპერიმენტულ კვლევებში, ცხადია, მთავარი ყურადღება უნდა მიექცეს
მთლიანად მცენარის, მისი ცალკე ორგანოებისა და გამონაყოფების სათანადო
პერიოდულ ანალიზებს.

დასკვნა

1. ჩვენი აზრით ნიადაგში რკინის განსასაზღვრავად მისაღებია 1%-იანი
ლიმონის ან ასეთივე სიძლიერის სხვა მქავეს ხსნარი, რომელიც ყველაზე მე-
ტად უახლოვდება ნიადაგის ბუნებრივი ხსნარის კონცენტრაციას.

2. ჩვენი მონაცემებით დადასტურდა რიგ მკვლევართა შეხედულება ნია-
დაგში კარბონატებისა და ფოსფორის ზრდასთან ერთად ქლოროზის გაძლი-
ერებისა და რკინის შემცირების შესახებ.

3. ჩვენი აზრით, აქტიური რკინა არ უნდა იყოს დაკავშირებული PO_4 -ის
ანიონთან; მეტწილად ის შეიძლება დაკავშირებული იყოს CO_3 -თან ან სხვა
რომელიმე ანიონთან.

საქართველოს სსრ მეცნიერებათა აკადემია
ნიადაგმცოდნეობის, აგროქიმიისა და
მელიორაციის ინსტიტუტი
თბილისი

(რედაქციას მოუვიდა 2.6.1951)

დავოწმებული ლიტერატურა

1. ი. ბარათაშვილი. მარნეულის რაიონის ქლოროზით დაავადებული ვენახების ნიადაგები. საქართველოს სსრ მეცნიერებათა აკადემიის ნიადაგმცოდნეობის ინსტიტუტის შრომები, ტ. II, 1949.
2. ი. ბარათაშვილი. ვახის ქლოროზის საკითხისათვის მარნეულისა და ბოლნისის რაიონებში. საქ. სსრ მეცნ. აკადემიის მოამბე, ტომი XII, № 1, 1951.
3. ზ. ბაღდასარაშვილი. კირნაო ნიადაგებზე ვახის ქლოროზის გამომწვევი მიზეზები. საქ. სსრ მეცნიერებათა აკადემიის სოფლის მეურნეობის მეცნიერებათა განყოფილების VIII სამეცნიერო სესიის მოხსენებათა თეზისები, 1946.
4. Г. С. Давтян. Фосфорный режим почв Армении. Ереван, 1946.
5. А. Демолон и Е. Бастис. Направляющая роль кремнекислоты в геохимических и физиологических явлениях. Перевод с французского, 1944.
6. А. Т. Кирсанов, А. О. Саникидзе и Т. Г. Бакрадзе. Хлороз виноградной лозы в зависимости от свойств почвы и удобрений. Труды почвенного Института АН СССР, т. XIV, 1937.
7. ნ. მაქსიმოვი. მეცნაურთა ფიზიოლოგიის მოკლე კურსი. თბილისი, 1946.
8. ვ. მაჭარაშვილი. ვახის ქლოროზის მოკლენებში ნიადაგური პირობების შესწავლისათვის. საქართველოს სსრ მეცნიერებათა აკადემიის სოფლის მეურნეობის მეცნიერებათა განყოფილების XII სამეცნიერო სესიის მოხსენებათა თეზისები, 1949.
9. А. А. Ячевский. Антракноз и хлороз. Одесса, 1911.

ენციკლოპედია

6. სივრცობილი

ზოგიერთი მონაცემი ქართლისათვის ხეხილის ახალ მავნებელ
ხვატარზე—*MONIMA (TAENIOCAMPA) STABILIS* VIEW

(წარმოადგინა აკადემიის ნამდვილმა წევრმა ვ. ზაიცემა 18.4.1951)

ბოლო წლებში ქართლის ბაღების ჩვეულებრივ მავნე მწერთა შორის შენიშნულია ხვატარებისა და მხომელების ზოგიერთი სახეობა, რომელთა მატლები მასობრივი გამრავლების დროს ხეხილის ნარგავობას საგრძნობ ზარალს აყენებენ. მათ შორის განსაკუთრებულ ყურადღებას ხვატარის ერთი სახე *Monima (Taeniocampa) stabilis* View იქცევს, რომელსაც ქართლში მწვანე ხვატარს უწოდებენ.

ლიტერატურული მცირე მონაცემების მიხედვით აღნიშნული ხვატარი გავრცელებულია ჩრდილო-დასავლეთ, ცენტრალურ და აღმოსავლეთ რუსეთში, აგრეთვე შუა და სამხრეთ ევროპაში [5].

შუა ევროპაში *Taeniocampa (monima)*-ს გვარიდან ოთხი სახეობა *munda* Esp., *incerta* Hufn., *gothica* L და *stabilis* View. ზოგჯერ შესამჩნევი რაოდენობით ჩნდება ფოთლოვან ტყის ჯიშებზე (მუხა, არყის ხე) და ვაშლზე [6].

ს. მოკრეცკი [1] 1898 — 1899 წწ. აღნიშნავდა ხეხილის დაზიანებას, გამოწვეულს ბაღის ხვატრით — *Monima stabilis* View. ამ მავნებელთან ერთდროულად ის იხსენიებდა აგრეთვე მსხლის ხვატარს — *Calimnia trapezina* L. ორივე ხვატარს ის ყირიშის ბაღებისათვის ახალ მავნებლებად თვლიდა. *Monima incerta* ახლახან აღმოაჩინეს შუა აზიაშიც, როგორც ქერამის მავნებელი [4]. აფხაზეთში, შავი ზღვის სანაპიროებზე, ე. მილიანოვსკიმ [2] იპოვნა *M. stabilis* View, *M. gothica* L. (გაგრა, სოხუმი) და *M. incerta* Hufn (სოხუმი).

აღმოსავლეთ საქართველოში *Monima stabilis* View-ის მავნებობაზე ცნობების უქონლობა საბაბს გვაძლევს გამოვაჭევსოთ ის, შედარებით პატარა, მასალა, რაც ამ უკანასკნელი ორი წლის მანძილზე გორის რაიონში ჩვენ დაკვირვებების შედეგადაა მიღებული.

ამ ხვატარის მატლების ერთეულები ჩვენ მიერ პირველად ნაპოვნია 1945 წლის გაზაფხულზე ვარიანისა და ქიწინის (გორის რაიონი) საბჭოთა მეურნეობებში ვაშლისა და ქლიავის ფოთლებზე. უმნიშვნელო რაოდენობით ისინი შემდეგ წლებშიც გვხვდებოდა. მატლების ერთგვარ მომატებას აღვივლი ჰქონდა 1949 წელს, როდესაც მატლები, გარდა გორის რაიონისა, აგრეთვე ქარელის, კასპისა და სტალინის რაიონებშიც გავრცელდა. ხოლო 1950 წელს ეს მავნე მწერი აღნიშნულ რაიონებში ისე მასობრივად გამრავლდა, რომ ზოგიერთი მეურნეობის ბაღები, სადაც ბრძოლის ღონისძიებები დაგვიან-

ბით ჩატარდა, ძლიერ დაზიანდა; მაისსა და ივნისში ჩავატარეთ ხეხილის ნარგავების გამოკვლევა; აღმოჩნდა, რომ ფოთლების დაზიანება ზოგიერთ ნაკვეთზე 100%-ს უდრის, ხოლო ფოთლების ზედაპირი 30—50%-ით იყო შექმული. ამასთან, მატლების მიერ 20—40%-ით იყო დაზიანებული ნასკვები და ახალგაზრდა ნაყოფები.

ზემოთ აღნიშნულ რაიონებში ხვატრის მატლი აზიანებს ვაშლს, მსხალს, ქლიავს, ბალს, ატამსა და სხვა ხეხილს.



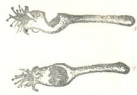
სურ. 1. ხვატრის მატლების მიერ დაზიანებული ვაშლის ფოთლები

ქართლის ზოგიერთ სოფელში ამ ხვატარს ქარხლის მავნებლად თვლიან, მაგრამ ეს შეხედულება ჩვენი დაკვირვებებით არ დადასტურდა. ზოგიერთი სპეციალისტი მას შეცდომით მსხლის ხვატრად თვლის.

ხვატრის მატლები ვაშლის ფოთლებს ხშირად მთლიანად ანადგურებენ, ასე რომ მხოლოდ მთავარი ძარღვი რჩება (იხ. სურ. 1), ხოლო ნასკვებსა და ახალგაზრდა ნაყოფებს ნახევრამდე გამოხრავენ ხოლმე (იხ. სურ. 2 და 3).



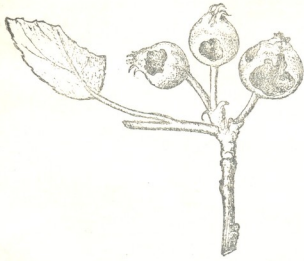
ნასკვების დიდი რაოდენობით დაზიანება 1950 წ. შემჩნეულ იქნა აგრეთვე ბალზე. დაზიანებული ნაყოფები ჯერ გაყვითლდა და შემდეგ ჩამოცვივდა-ვაშლის შესახებ უნდა ითქვას, რომ, მართალია, დაზიანებული ნაყოფები ძირითადად ნასკვების შებერტყვისას ჩამოცვივდა, მაგრამ ხეებზე მაინც ბევრი ნაყოფი შერჩა (15—20%), რომლის დაზიანებული ადგილები დროთა განმავლობაში საფევი ქსოვილებით დაიფარა. მიუხედავად ამისა, ნაყოფები საბოლოოდ მაინც დამახინჯებული დარჩა.



სურ. 2. ხვატარის მატლების მიერ დაზიანებული ვაშლის ნასკვები

ქართლში მწვანე ხვატარი წლის განმავლობაში ერთ თაობას იძლევა. იგი ქუპრის სახით ნიადაგებში იზამთრებს. პეპლები გაზაფხულზე გამოდიან. 1950 წელს მეხილეობის საცდელი სადგურის (სკრა) ბაღში პეპლების პირველი გამოფერნა 17 მარტს შეენიშნეთ. გამოფერნა თანდათანობით მიმდინარეობდა და თითქმის 1,5 თვეს გაგრძელდა. დედა პეპლები კვერცხებს ვაშლის კოკრების დაბერვისა და ვაშლის დროს

დებენ. კვერცხებს დებენ ჯგუფად და ახალგაზრდა ტოტებსა და შტამზე ათავსებენ. თითო ჯგუფი 40-დან 96-ზე მეტ კვერცხს შეიცავს.

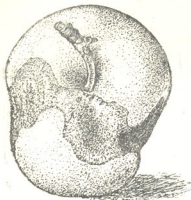


სურ. 3. ხვატარის მატლების მიერ დაზიანებული ვაშლის მოზრდილი ნაყოფები

მდედრებს კვერცხის დასადებად, როგორც ეტყობა, დამატებითი კვება ესაჭიროებათ. კვერცხების დადება პეპლების გამოფერნიდან მეოთხე-მეშვიდე დღესა შემჩნეული კვერცხდება, ისე როგორც პეპლების გამოფერნა, გაქიანურებულია და თვეზე მეტს გრძელდება.

ბაღში ხვატარის მატლები კვერცხების დადებიდან 14—20 დღის განმავლობაში იჩეკებიან. ახლად გამოჩეკილი მატლები ნაკლებად მოძრაობენ და პირველ ხანებში კვერცხების ნაქუქს არ შორდებიან, ხოლო გამოჩეკიდან რამდენიმე საათის შემდეგ ფოთლებსა და ნასკვებზე გადადიან, რომლითაც ისინი მთელი თავისი სიცოცხლის განმავლობაში იკვებებიან. მატლებს გაუმადრობა ახასიათებს, განსაკუთრებით კი უკანასკნელ ორ ხნოვანებაში: ერთ

მატლს შეუქლია 3—4 ნასკვი და 6—8 ფოთოლი დააზიანოს. 1950 წელს მატლების კვერცხებიდან გამოსვლა ბალში შემჩნეულ იქნა ვაშლის კოკრების განცალკევებისა და შეფერვის პერიოდში, ხეხილზე მატლების დიდი რაოდენობა შესამჩნევი გახდა მაისის თვეში.

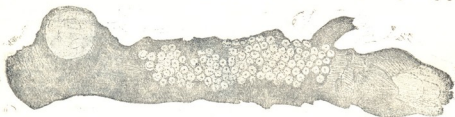


სურ. 4. ხეატრის მატლების მიერ დაზიანებული ბანანის ჯიშის ვაშლის გაზრდილი ხაყოფი

გრძელდება. ზრდადამთავრებული მატლები ხეებიდან ჩამოდიან და ნიადაგში მიდიან ხეების ვარჯის ქვეშ, სადაც 5—10 სმ სიღრმეზე მიწისაგან აკეოებენ მოგრძო ბუდეს და შიგ 7—10 დღის შემდეგ კუპრდებიან. ხეატრის კუპრი ნიადაგში მომავალი წლის გაზაფხულამდე რჩება.

* *

ხეატრის ახლად დადებული კვერცხი ბაცი მწვანე ფერისაა. იგი 5—7 დღის შემდეგ ღია ნაცრისფერს ღებულობს და ზემო მხრიდან შუაში ყავის-



სურ. 5. ხეატრის კვერცხები

ფერი წერტილი აღინიშნება. ამ წერტილს ყავისფერივე წვრილი ხაზი ფარგლავს. მატლების გამოჩეკის წინ კვერცხები მუქ ყავისფერს იღებს, რის გამო ხაზი ქრება, ხოლო შუა წერტილი ოდნავლა მოჩანს. კვერცხი მრგვალი ფორმისაა და წახანაგოვანი აგებულება აქვს.

კვერცხიდან ახლად გამოჩეკილი მატლი ბაცი მწვანე ფერისაა, მოლურჯო ელფერით, სიგრძით 2—2,5 მმ. მატლის სხეული წვრილი შავი წერტილებით

ბითაა დაფარული. მისი თავი და კეფა შავი ფერისა და ბქყვიალაა. წინა 3 წყვილი ფეხი მუქია, დანარჩენი კი მოლურჯო. მატლი კანს ხუთჯერ იცვლის.

გაზრდილი მატლი ხორციანია, მწვანე ფერისა მოყვითალო ელფერით. ასეთივე ფერისა აქვს თავი და კეფა. მატლის ზურგზე, მთელ სიგრძეზე სამი თეთრი ხაზი გასდევს. ამასთან შუა შათვანი უფრო ვიწროა, ხოლო გვერდითი შედარებით განიერი. შუა და გვერდის ზოლებს შორის კიდევ ორი ვიწრო წყვეტილი თეთრი ხაზი გასდევს, რაც აღნიშნულ ხაზებთან შედარებით მკრთალად მოჩანს და უკანასკნელ ხნოვანებაში დაქუპრების წინ თითქმის ქრება. მატლის მთელი ზურგი მრავალი პატარა თეთრი წერტილითაა დაფარული. გაზრდილი მატლის სიგრძე 3,5—4 სმ უდრის, თავის სიგანე კი 4 მმ. მატლს კისერზე მოყვითალო თეთრი ზოლი აქვს. ასეთივე ფერის განივი ნამგლისებრი ზოლი აქვს მას უკანასკნელ სეგმენტზე ზურგის მხრიდან.



სურ. 6. მატლი

ზეატრის მატლის დამახასიათებელ ნიშნად უნდა ჩაითვალოს მის გვერდებზე, სასუნთქი ორგანოების ირგვლივ, თეთრი ლაქები, 9—9 ლაქა თითო მხარეს. ლაქები შავი ხაზითაა შემოფარგლული.

ქუპრი ყავისფერია, სიგრძით 15—17 მმ და სიგანით 4—6 მმ. ქუპრის ბოლო ოდნავ წაგრძელებულია და ორი პატარა ეკლით თავდება (სურ. 7).



სურ. 7. ქუპრი

პეპლის წინა ფრთები ყავისფერ-მოწითალოა. მათ შუაზე ნაპირთან ორ-ორი ლაქა აქვს, რაც თეთრი ხაზებითაა შემოფარგლული, ფრთების ბოლოში გარდემო ტალღისებრი ყვითელ-მოთეთრო ხაზი მისდევს. უკანა ფრთები მოყავისფრო ნაცრისფერია, ღია ფერის ფოჩებით. უნდა აღინიშნოს, რომ მამრი პეპელა მდედრთან შედარებით უფრო მუქია. პეპლის სიგრძე

15—17 მმ, ხოლო გაშლილი ფრთების სიგანე 30—32 მმ უდრის.

ზეატრის გამრავლებისა და გავრცელების ერთ-ერთ შემთხვევებულ ფაქტორად უნდა ჩაითვალოს ნალექების (თოვლის სახათ) სიმციროე ზამთრის იმ თვეებში, როდესაც დიდი ყინვები და ცივი გამოშრობი ქარები იცის, რაც ქართლის სამრეწველო ბაღების რაიონებში ხშირი მოვლენაა. ასეთ პირობებში ნიადაგის ზედაფენებში მყოფი ქუპრების გამოშრობა და გაყინვა ხდება.



სურ. 7. პეპელა

ზეატრის მატლების მასობრივი გამრავლება 1950 წლის ვახუშტულზე იმით აიხსნება, რომ ზამთრის (ინვარი, თებერვალი) პერიოდში ნიადაგი ღრმა თოვლით იყო დაფარული, რამაც ქუპრები ქარისა და ყინვის დამლუპველი მოქმედებისაგან გადაარჩინა. მართლაც, ქართლში 1949—1950 წწ ზამთარი, ჩვეულებრივ ზამთრებთან შე-

დარებით, მდიდარი იყო ნალექებით (თოვლით). 3 თვის განმავლობაში მიწათქმის ყოველთვის თოვლით იყო დაფარული; დეკემბერში ტემპერატურის დიდ დაცემას აღვილი არ ჰქონია, ამ თვეში თოვლიც უმნიშვნელო იყო. დიდი ყინვებე დაიჭირა იანვარსა და თებერვალში. თოვლის სიღრმეც ამ პერიოდში დიდი იყო (24 სმ აღწევდა); მრავალწლიანი მონაცემების მიხედვით კი შემოდგომა-ზამთრის თვეებში დიდი ყინვები აქ სწორედ იმ ხანებში მოდის, როცა თოვლის საფარი ან სრულიად არაა, ან უმნიშვნელოა.

ხვატრის წინააღმდეგ საბრძოლველად 1949—1950 წლებში ზვენ მიერ გამოცდილ იქნა როგორც აგროტექნიკური, ისე ქიმიური ღონისძიებები.

ჭუპრებთან ბრძოლაში დადებითი შედეგები მოგვცა შემოდგომა-ზამთრის განმავლობაში ბაღებში ნიადაგის დამუშავებამ. ამ შემთხვევაში ნიადაგის ზედაფენებში ან ზედაპირზე მოქცეული ჭუპრები მშრალი და ცივი ქარებისა და ზამთრის ყინვებისაგან იღუპება.

ამ მავნე მწერის შემციობებას ხელს უწყობს აგრეთვე ზაფხულში (ივნისი, ივლისი, აგვისტო) ხეების ვარჯის ქვეშ ნიადაგის დამუშავება (თოხნა, კულტივაცია). თოხნის დროს ნიადაგის ზედაპირზე მოხვედრილი ჭუპრები მზის სხივებისა და მშრალი ქარების მოქმედებისაგან იხოცებიან.

გარდა ამისა, ზამთარსა და ზაფხულში ნიადაგის დამუშავების დროს ჭუპრების ნაწილს ფრინველები (ყვავები) ანადგურებენ.

ხვატრის მიერ დაზიანებული ნაკვეთების ზაფხულში მორწყვამ სასურველი ეფექტი არ მოგვცა, მორწყვის შემდეგ მეხუთე-მეშვიდე დღეს ჩატარებულმა გათხრებმა გვიჩვენა, რომ ხვატრის ბუდეები მიწაში წყლით ისე არ გაქლენთილა, რომ ისინი დაშლილიყო, რის გამოა ჭუპრებიც ცოცხლები გადარჩნენ. შესაძლებელია, შემოდგომა-ზამთარში ბაღების მორწყვამ დადებითი შედეგი მოგვცეს, რადგან მაშინ ნიადაგის უხვად გაქლენთვა წყლით უფრო ადვილია.

ქიმიური პრეპარატებიდან პარიზის მწვანა და დღტ იქნა გამოცდილი. ეს უკანასკნელი აღებულ იქნა მინერალურ ზეთში ნარევი (დიზელის საწვავი, ემულგატორი—სპილენძის აჯასპი) პასტისა და დუსტის სახით. ზემოთ აღნიშნული პირველი სამი პრეპარატი 1%-ანი ბორდოს სითხესთან ერთად იქნა გამოცდილი.

პრეპარატები გამოცდილ იქნა ლაბორატორიულ და ბაღის პირობებში როგორც ახალგაზრდა (პირველ და მეორე ხნოვანებაში) და გაზრდილი (ორ უკანასკნელ ხნოვანებაში) მატლებს, ისე კვერცხების წინააღმდეგ. ლაბორატორიაში ცდები ჩატარდა აპრილის ბოლოს 16°—18° ტემპერატურის პირობებში, ხოლო ბაღში მაისის შუა რიცხვებში, თბილ მზიან ამინდში. ცდის ყოველი ვარიანტისათვის ლაბორატორიაში აღებულ იქნა ხუთ-ხუთი განმეორება, ხოლო თითო განმეორებაში—60-დან 100-მდე მატლი ან კვერცხი; ბაღში კი ცდის თითო ვარიანტისათვის 4—6 ხე (15—18 წლის) ირიცხებოდა¹.

¹ აღრიცხული ხეების რაოდენობა მავნებლის დასახლების სიხშირით განისაზღვრებოდა.

ზოგიერთი მონაცემი ქართლისათვის ხეხილის ახალ მავნებელ ზეატარზე

ლაბორატორიაში ცდები ვაწარმოეთ ორ ვადაში, ხოლო ბალში ერთხელ. მავნებელზე პრეპარატების მოქმედების შედეგები მოყვანილია პირველ და მეორე ცხრილში.

ცხრილი 1
ლაბორატორიაში პირობებში ზეატარზე პრეპარატების მოქმედების ეფექტურობა

პრეპარატები	კონცენტრაცია (პროცენტობით)	მატლები				კვერცხები	
		ახალგაზრდა		მოზრდილები		ჩაიდენობა	დაღუპვის პროცენტობა
		რაოდენობა	დაღუპვის პროცენტობა	რაოდენობა	დაღუპვის პროცენტობა		
პარიზის მწვანა და დეტ მინზეთების ემულსიაში	0,2 0,08	380 500	77,1 96,8	300 500	56,8 80,4	— 386	— 93
დეტ-ს პასტა	0,5 1 1,5	300 300 300	100 100 100	500 500 500	88,3 100 100	— — —	— — —
დეტ-ს დუსტი	სუფთა სახით	200	100	200	100	—	—
საკონტროლო		500	0	500	0	235	0

ლაბორატორიაში პირობებში ჩატარებული ცდების შედეგად დადგინდა, რომ ზეატართან ბრძოლაში ყველაზე ხელსაყრელ დროდ მიჩნეულ უნდა იქნეს მასობრივად კვერცხების დადებისა და მატლების გამოჩენის დრო, რადგანაც მავნებელი ჩვენ მიერ გამოცდილი ყველა შხამის მიმართ ნაკლებ გამძლეობას იჩენს. მავნებლის კვერცხების 93% დაიღუპა იმ შემთხვევაში, როცა კვერცხებიანი ტოტები შხამებით კარგად დასველდა. სამწუხაროდ, დეტ-ს პასტა და დუსტი კვერცხებზე ვერ გამოეცადა.

ცხრილი 2.
ბალის პირობებში ზეატარის მატლებზე პრეპარატების მოქმედების ეფექტურობა

პრეპარატები	კონცენტრაცია (პროცენტობით)	ახალგაზრდა მატლები		მოზრდილი მატლები		საცდელი ხეების რაოდენობა
		რაოდენობა	დაღუპვის პროცენტობა	რაოდენობა	დაღუპვის პროცენტობა	
პარიზის მწვანა	0,2	63	58,2	143	42,9	5
დეტ მინზეთის ემულსიაში	0,08	58	85,4	191	08,1	6
დეტ-ს	0,5	40	100	150	90,2	5
	1	52	100	135	100	5
პასტა	1,5	32	100	169	100	6
დეტ-ს დუსტი	სუფთა სახით	188	100	302	100	4
საკონტროლო	—	0	0	158	0	4

პირველი და მეორე ცხრილიდან ჩანს, რომ ბალში და ლაბორატორიაში ჩატარებული ცდების შედეგები თითქმის ერთგვარია. ამ შემთხვევაშიც (ბალში) დიდი რაოდენობით დაიღუპა (მოქმედების სიჩქარე) ახალგაზრდა მატლები.

ში. ნაცადი პრეპარატებიდან აქაც ყველაზე ეფექტური დღღ-ს პასტა და დუსტი აღმოჩნდა.

ყურადღება უნდა მიექცეს შემდეგ გარემოებას: დღღ-ს პასტით დამუშავებული ხეები შესხურებიდან 5—6 საათის შემდეგ მანებლისაგან მთლიანად სუფთავდებოდა. მატლები ხეებიდან ცვივოდნენ ან ღეროზე ჩამოდიოდნენ და სხედასხვა მხარეს მიდიოდნენ, ბალახისა და გორბების ქვეშ მიძვრებოდნენ; უკანასკნელი ხნოვანების მატლები კი ნიადაგში ჩადიოდნენ, მაგრამ ვერ ქუპრდებოდნენ და იხოცებოდნენ. ჩამოცვენილ მატლებს მიწითა და ვაშლის ფოთლით ვაგროვებდით, ლაპორატორიაში ვათავსებდით და მათზე დაკვირვებას განვაგრძობდით: უკანასკნელი ხნოვანების ზოგიერთ მატლს მიწისაგან ხელოვნურად გაკეთებულ ბუდეებში ვსვამდით, მაგრამ მატლები შიგ ვერ ქუპრდებოდნენ და იხოცებოდნენ. ამავე დროს ჯანმრთელი მატლები ასეთ ბუდეებში ჩვეულებრივ ვითარდებოდნენ.

უნდა აღინიშნოს, რომ დღღ-ს პასტა, სხვა პრეპარატებთან შედარებით, როგორც ხეატრის, ისე ბაღის სხვა მანებლის მიმართ მალალ ეფექტს იძლევა. ამავე დროს იგი ჩქარა მოქმედი შხამია. გარდა ამისა, ამ პრეპარატის უპირატესობა იმაში მდგომარეობს, რომ მისგან სამუშაო ხსნარის დამზადება მეტად ადვილია.

საქართველოს სსრ მეცნიერებათა აკადემია
მეზილობის საცდელი სადგური
სკრა

(რედაქციას მოუვიდა 18. 4. 1951)

დამოწმებული ლიტერატურა

1. С. А. Мокржецкий. Вредные животные и растения в Таврической губернии по наблюдениям 1899 года. Симферополь, 1900.
2. Е. С. Милиановский. Фауна чешукрылых черноморского побережья Абхазии. Труды зоолог. инст-та АН Гр. ССР, т. IV, Тбилиси, 1941.
3. Список вредных насекомых СССР и сопредельных стран (под ред. А. А. Штакельберга). Ленинград, 1932.
4. Животные Средней Азии (под ред. Е. Н. Павловского). М.—Л., 1949.
5. A. Spuler. *Die Schmetterlinge Europas*, Bd I. Stuttgart, 1908.
6. P. Sorauer. *Handbuch der Pflanzenkrankheiten* Bd IV. Berlin, 1925.

არქეოლოგია

ბ. გოგაჯიშვილი

ძველი ქართული სამთამაღნო და მეტალურგიული წარმოების ნაშთები სოფ. ლებთან

(წარმოადგინა აკადემიის ნამდვილმა წევრმა ნ. ბერძენიშვილმა წ. 2, 1952)

საქართველოსა და კავკასიის ბრინჯაოს მეტალურგიის საკითხებზე ბევრი შრომა დაწერილა. ამათგან ყველაზე სრული და მეცნიერულად დასაბუთებულია ა. იესენისა [1], [2] და ა. აფაქიძის [3] გამოკვლევები.

ზოგიერთი მკვლევარი, რომელიც ქართული ბრინჯაოს მეტალურგიის ძველი ფესვების ადგილობრივობაზე წერს, ძირითადად მიწის ღრმა ფენებიდან ამოთხრილი ლითონის მზამზარეული ნივთების ან, უკეთეს შემთხვევაში, სპილენძის ზოდების დამოწმებით კმაყოფილდება. ჩვენი აზრით, ამგვარი საბუთებით ესოდენ არსებითი საკითხი ამომწურავად ვერ გაშუქდება, ვინაიდან სპილენძის ზოდებსა და მზა ნაწარმს პოულობენ იმ რაიონებშიც, რომელთაც მეტალურგიული კერები ამარაგებდა ლითონით. ექვმიუტანელი რომ ვახდეს ძველი წერილობითი ცნობების სიმართლე მეტალურგიის საქმეში ქართველი ტომების დამსახურების შესახებ, საჭიროა დადგინდეს მადნის ადგილობრივ მოპოვებისა და გადამამუშავების ფაქტები.

ამ წერილის მიზანია სამეცნიერო წრეებსა და საზოგადოებრიობას გავაცნოთ ჩვენი ქვეყნის ერთ-ერთი უძველესი სამთამაღნო და მეტალურგიული წარმოების კერა მდ. რიონის სათავეებში, რომელსაც იკვლევს საქართველოს სსრ მეცნიერებათა აკადემიის ისტორიის ინსტიტუტი.

ცნობილია, რომ კლასიკური ბრინჯაოს ძირითად კომპონენტებს სპილენძი და კალა წარმოადგენს. იმ ქვეყნებში, სადაც ეს ლითონები არ მოიპოვებოდა, მეტალურგია დამყარებული იყო იმპორტული მადანზე ან გადამამუშავებულ ლითონზე. ძველ საქართველოში სპილენძის ადგილობრივ მოპოვება-დამამუშავება ეჭვს არ იწვევს. ეს იმიტომ, რომ, ერთი მხრივ, ანტიკური დროის წერილობითი წყაროები მოსინიკებს გვაცნობენ, როგორც სპილენძის მოპოვება-დამამუშავების უბადლო ოსტატებს და, მეორე მხრივ, საქართველოში დამოწმებულია სპილენძის ძველი მალაროები.

სულ სხვაგვარად დგას ადგილობრივი კალის საკითხი. ბევრი ავტორი ფიქრობდა, რომ კალა ჩვენში გარედან შემოაქნებოდა, ა. იესენის ერთ-ერთი დამსახურება, უპირველეს ყოვლისა, ისაა, რომ მან საფუძვლიანად უარყო ეს მცდარი მოსაზრება და აღნიშნა ძვ. წ. II ათასეულიდან კავკასიაში ადგილობრივი კალის დამამუშავება. მისი ვარაუდით, ამ ლითონის მოპოვება წარმოებდა: ცენტრალური კავკასიონის ორივე კალთაზე იალღუზიდან თერგამდე, ზემო რაქაში, სანხრეთ ოსეთში, შორაპანში, გორისა და ბორჯომის რაიონებში ([2], გვ. 205).

ამ ბოლო ხანებში მართლაც ცნობილი გახდა საქართველოში კასიტერიტის ისეთი რესურსების არსებობა, რომლებიც მეტ-ნაკლებად დააკმაყო-

ფილებდა ძველი მეტალურგიის მოთხოვნილებას. მიუხედავად ამისა, არქეოლოგი ბ. კუფტინი კვლავ მოპველებულ პოზიციებზე დგას და ცდილობს დაამტკიცოს ამ ლითონის უცხოეთიდან შემოტანილობა ([4], გვ. 200—212). ბ. კუფტინის მცდარი მოსაზრება იმას ემყარება, რომ ქართულ ბრინჯაოს ნივთებში, ძვ. წ. II ათასეულის დასასრულამდე, კალის მოპქირნობით გამოყენება შეინიშნება.

ჩვენი აზრით, ეს მოვლენა სრულიადაც არ მოწმობს კალის უცხოეთიდან შემოტანას, არამედ, უპირველეს ყოვლისა, იმას, რომ ადგილობრივ შობილებოდა სხვა ლითონი, რომელსაც შეეძლო კალის მაგიერობა გაეწია. მართლაც, დასავლურ-ქართული ბრინჯაოს იარაღისა და სამკაულის ქიმიური შესწავლა გვიჩვენებს შენადნობში კალის მაგიერად ანტიმონის გამოყენებას ([5], გვ. 15—16; [6], გვ. 113). ასეთივე სურათი მიიღეს ა. აფაქიძემ [3], გ. ლომთათიძემ [7] და პროფ. გ. ხიორაძემ [16] გვიანი ბრინჯაოსა და ანტიკური ხანის აღმოსავლურ-ქართული ლითონის საგნების შესწავლის შედეგად.

ხომ არ ნიშნავს ეს იმას, რომ ანტიმონიც უცხოეთიდან შემოჰქონდათ ჩვენში? ამ საკითხზე პირველად 1940 წელს შეჩერდა ა. აფაქიძე. ეყრდნობოდა რა ქიმიური ანალიზების შედეგებს და კავკასიაში სათანადო მადნეული რესურსების არსებობას, იგი წერდა: „არ არის გამორიცხული [საქართველოში] ანტიმონის ძველი სამუშაოების აღმოჩენის შემთხვევები“ [3]. ასეთი სამუშაოების აღმოჩენას შეეძლო მტკიცე საფუძველზე დაემყარებინა მოსაზრება ქართული ბრინჯაოს მეტალურგიის ავტოქტონობის შესახებ. მართალია, საქართველოს სხვადასხვა კუთხეში მიკვლეულია ლითონსახსნელ სახელოსნოთა ნაშთები და სხვადასხვა ნივთის ჩამოსახსნელი ყალიბები, მაგრამ ეს კიდევ არ აძლევს საფუძველს მკვლევარს კატეგორიულად ამტკიცოს ლითონის კულტურის ადგილობრივი მადნეული რესურსების ბაზაზე განვითარება.

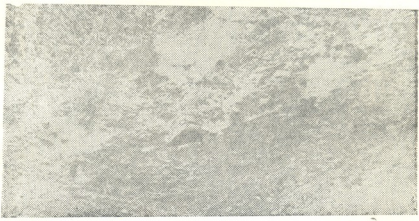
ზემო რაჭაში, სოფ. ღებს ახლო, ბრილში ისტორიის ინსტიტუტის არქეოლოგიური ექსპედიციის მიერ მოპოვებული მასალების შესწავლის პროცესში (1939—42 წწ.) ჩვენ იმ დასკვნამდე მივედით, რომ „ბრილის ძველი მოსახლეობა მეტალურგიაში რაციონალურად იყენებდა ადგილობრივ რესურსებს. სპილენძის მადნის ბუღობები რაჭის მთებში საკმაო რაოდენობით მოიპოვება; ანტიმონიც იშვიათი არ არის. ეს ორი ლითონი ძირითადად საკმაო იყო იმ მდიდარი ბრინჯაოს კულტურის შესაქმნელად, რომლის ნაშთები დიდი რაოდენობით შემოინახა ბრილის ნეკროპოლში“ ([6], გვ. 117). ამ მოსაზრებას ვამყარებდით, ერთი მხრივ, ბრილში ამოთხრილი ნივთების ქიმიური შესწავლის შედეგებზე და, მეორე მხრივ, გეოლოგ დ. წერეთლის მიერ ჩვენთვის მოწოდებულ ცნობაზე, რომ რიონის ერთ-ერთი შენაკადის ხეობაში არსებობს ანტიმონის ძველი მალარო. ამ აზრს იზიარებს ა. აფაქიძეც უფრო გვიან გამოქვეყნებულ სპეციალურ წერილში [7].

1947 და მომდევნო წლებში ძლიერ გამრავლდა ცნობები რიონის ზემო წელში ანტიმონის ძველი მალარობის აღმოჩენის შესახებ. ამ ძველების მიკვლევისა და დაცვის საქმეში განსაკუთრებული როლი შეასრულა გეოლოგიურ-მინერალოგიურ მეცნიერებათა კანდიდატმა გ. ტოგონიძემ. მან აწ განსვენებულ აკად. ს. ჯანაშიას გამოუგზავნა ერთ-ერთ მალაროში აღმოჩენილი გრანიტის ურო, რომელსაც ტარის მისამარებლად ირგვლივ შემოუყვება მცირე ღარი. ეს იარაღი იზავად მოგვაჯონებს იმ უროებს, რომლებიც ძველად უსმარაბთ ამიერსა და იმერკავკასიაში ქვამარლისა და მადნეულის მალაროებში ([8], გვ. 92, №№ 63—87; [9], გვ. 153, სურ. 62).

1948 წელს ისტორიის ინსტიტუტმა განაახლა დიდი სამამულო ომის გამო დროებით შეჩერებული არქეოლოგიური კვლევა-ძიება რიონის სათა-

ვეებში. 1948—51 წლებში ჩვენმა ექსპედიციამ მდიდარი ცნობები შეკრიბა ანტიმონის ძველი მაღაროების აღმოჩენის პირობების შესახებ, ძოხილა 25 მაღარო, აზომა რამდენიმე მათგანი და დაიწყო ორი მაღაროს გაწმენდა. ამასთანავე შეგროვებულია მადნის სამტვრევი ქვის უროების დიდი კოლექცია. ძველი სამთამადნო წარმოების ძეგლებს შესწავლის პარალელურად ექსპედიცია სწავლობდა მადნის სადნობ სახელოსნოთა ნაშთებსაც და კვლავ თხრიდა სამარხებს, რომლებშიც დიდი რაოდენობით გვხვდება ადგილობრივი ლითონის ნივთები.

რიონის სათავეების ანტიმონის ძველი მაღაროები (სურ. 1) მცირე ზომისაა. მათ შორის უდიდესის სიღრმე 11—15 მეტრს არ აღემატება, განი 6—8 მეტ-



სურ 1

რია და სიმაღლე 2—2,5 მეტრი. ცხადია, ეს მონაცემები რამდენადმე შეიცვლება მაღაროების საბოლოოდ გაწმენდის შემდეგ. ზოგი მაღარო უბრალო, მცირე მღვიმეს წარმოადგენს, ხოლო ზოგი საკმაოდ რთულია და მათი გეგმა ზოგადად საბერეველს მოგვაგონებს.

ამგვარი მაღაროს შესასვლელის წინ მოგრძო ფარდულის მსგავსი მოედანია, რომელიც კარისაკენ თანდათან ვიწროვდება და გადადის 1,5—3 მ სიფართისა და დაახლოებით 8 მ სიგრძის ყელში. ეს უკანასკნელი უეროდება 3—5 მ სიგრძე-სიფართის მქონე მღვიმეს, რომელსაც ზოგჯერ გვერდითი დერეფნებიც აქვს. მაღაროს იატაკი დახრილია 10—25 გრადუსით, მადნის ძარღვის დაქანების კვლობაზე. ქერის ჩამონგრევის თავიდან აცილების მიზნით შიგ დატოვებულია კლდის ბუნებრივი სვეტები. ზოგჯერ ასეთი სვეტების როლს ასრულებს მოხგრული ფუჭი ქანის ნატეხებისაგან ამოყვანილი მშრალი წყობა (სურ. 2).

მაღაროებში მრავლად გვხვდება ხის ნახშირი. ეს იმას მოწმობს, რომ ჩვენი წინაპარი მემთამადნეხი მადნის მოსანგრეველ ხმარობდნენ ცეცხლსა და წყალს: ტყიანი ზონიდან ალბურ ზონაში აჰქონდათ შეშა, ცეცხლით ახურებდნენ ქანებს, ზედ წყალს ასხამდნენ და ამგვარად დანაპარალბულ კლდეს ქვის უროებით ანგრევდნენ. სამთო საქმეში ამგვარი წესის გამოყენება ცნობილია საკაცობრიო კულტურის ადრეული საფეხურებიდანვე. შესაძლებელია, ამავე მიზნით ჩვენი წინაპრები იყენებდნენ ხის სოლებსა და რქისაგან დამზადებულ

წერაქვევსაც, მაგრამ ჩვენს მაღაროებში მათი შემონახვა ნაკლებად მოსალოდნელია თავისებური ბუნებრივი პირობების გამო.

გაირკვა, რომ მოხვრეული მადნის პირველადი გამდიდრება იქვე, ფარულუბქვეშ წარმოებდა: მადნისთვის მოუშორებიათ ფუჭი და აგრეთვე სხვა მადნიელი ქანები, რომელიც თან სდევს ანტიმონიტს.

ანტიმონის მადანი უშიდავთ ტყის ზონამდე. აქ, საწვავი მასალით მდიდარ ადგილებში, გამართული ყოფილა მადნის სადნობი ლუმელები. ლეგელმა მუშებმა გვიჩვენეს ერთი ასეთი ადგილი, სადაც გ. ტოგონიძეს 1947 წელს უნახავს წიდა და ნახშირი. საცდელმა ვათხრამ გამოავლინა წარმოების ბევრი გადანაყარი: გამომდნარი მადნის სხვადასხვა ზომის ნატეხები, გამოუღნობელი მადანი და ნახშირი. შემდგომმა არქეოლოგიურმა დაზვერვამ ცხადყო, რომ თვით სადნობი ლუმელები გამართული ყოფილა ჩვენ მიერ ვათხრილი ადგილიდან ცოტა მოშორებით, ხელოვნურ ბორცვებზე. ამ ძველების ვათხრა და ვაღრმავებელი შესწავლა საშუალებას მოგვცემს კარგად დავადგინოთ მადნის დამუშავება-გამოდნობის პროცესები და წესები. მაგრამ დღემდე მოპოვებული მასალა უკვე საკმარისია, რათა ვამტკიცოთ, რომ ძველი ქართული ბრინჯაოს მეტალურგია ვითარდებოდა ადგილობრივი სამთამადნო წარმოების ბაზაზე.

იმ საკითხის გადასაწყვეტად, თუ რა დროს ეკუთვნის ზემოხსენებულ ძეგლებს, კარგი მასალა მოგვცა ბრილის სამაროვანის ვათხრებმა. ეს სამაროვანის მდებარეობს ზოფხითურისა და რიონის შესართავთან. ფეოდალური დროის ძეგლებით მდიდარ პატარა ტერასაზე, სოფ. ლებიდან 9 კმ მანძილზე. ვათხრებმა დაამოწმა, რომ სამაროვანი გამოყენებული ყოფილა უწყვეტლივ დაახლოებით 2000 წლის მანძილზე, ძვ. წ. II ათასწლეულის შუა ხანებიდან საქართველოში ქრისტიანობის გავრცელების დასაწყისამდე. სხვადასხვა დროის სამარხები, შესაბამისად, ვანლაგებულია ერთიმეორის ზემოთ.

ისტორიული დროის თითქმის მთელ ამ გრძელ მონაკვეთზე მიცვალე-ბულნი მოკუნტვით უმარხავთ, უბრალო ორმოებსა და ქვისსამარხებში. ზედა ფენაში, ალბათ დაკრძალვის ქრისტიანული წესების გავლენით, ზურგზე გაშორილ, გულხელდაკრებილ და თავით დასავლეთისაკენ დამხრობილ ჩონჩხებსაც ვხვდებით, თუმცა მეტად იშვიათად. როგორც ჩანს, გაქრისტიანებულმა მოსახლეობამ წარმართული სასაფლაო მალე გააუქმა. ფეოდალური დროის სამაროვანი საქმენელია იქვე ახლო, წმ. გიორგის სალოცავის ნანგრევებთან.

ძვ. წ. X—V სს. ინჰუმაციის პარალელურად წესად ყოფილა მიცვალე-ბულის გვამის კრემაციაც. მრავალჯერ შემოწმებული ეს ფაქტი, რომელსაც მხარს უჭერს სხვა მასალებიც, მოწმობს მცდარობას ბ. კუფტინის ბოლოდროინდელი მტკიცებისას ([4], გვ. 95—96), თითქოს კრემაცია დასავლეთ საქართველოში ბერძნული კულტურის გავლენით გავრცელდა.

ბრილის სამარხებში აღმოჩენილია მრავალრიცხოვანი ნივთები: კაეის, სპილენძის, ბრინჯაოს, რკინის, ვერცხლის, ოქროს, მინის, პასტის, თიხისა და სხვა მასალისა. მათი უმრავლესობა გამოირჩევა დამუშავების მაღალი ხარისხითა და მხატვრული ოსტატობით. ყველა ეს ნივთი, ვარდა მცირე გამოჩენილისა, ადგილობრივი, ქართული ხელობისაა. უცხო წარმომავლობისად მიიჩნევა მხოლოდ ზოგიერთი საგანი: ფუნავორიას გამოსახულებანი (ეგვიპტური „სკარაბეი“) და მინის მძივების ერთი ნაწილი.

ბრილში ჩატარებული 5 არქეოლოგიური კამპანიის (1939, 1940, 1948, 1950, 1951 წწ) შედეგების სრული დახასიათება ახლა ჩვენს მიზანს არ შეადგენს. აქ მხოლოდ ზოგიერთ შედეგს აღვნიშნავთ. უპირველეს ყოვლისა, აღსანიშნავია, რომ მეცნიერული შესწავლის საგნად იქცა ერთ პატარა ტე-

რასაზე თავმოყრილი ძეგლები, რომლებიც საშუალებას გვაძლევს გავითვალისწინოთ რიონის სათავეებში მოსახლე ერთ-ერთი ქართველი ტომის სხვადასხვა თაობის კულტურის განვითარება ძვ. წ. XV საუკუნიდან თითქმის დღევანდლამდე, რამდენადაც ეს ტერასა მდიდარია გვიანდელი ძეგლებითაც. ამის მნიშვნელობა კი თავისთავად ცხადია: საქართველოს სხვა რაიონებში მოპოვებულ მასალასთან ერთად, ბრილის მასალები მტკიცე რგოლებით აკავ-



სურ. 2

შირებს ფეოდალური დროის ქართული კულტურის ისტორიას ანტიკური-ადრეული რკინის ჩანისა და ბრინჯაოს ხანის კულტურის ისტორიასთან. მტკიცდება აგრეთვე უკვე ძვ. წ. I ათასეულის დასაწყისში ადგილობრივი რკინის წარმოების გაჩენა, რასაც მოჰყვა მიწათმოქმედების განვითარება, სიმდიდრის სწრაფი ზრდა, გვაროვნული წყობილების სწრაფი რღვევა და, ამგვარად, საზოგადოების გათიშვა კლასებად. გარდა ამისა, საშუალება გვეძლევს ვილაპარაკოთ მთის რაიონების მნიშვნელოვან როლზე კულტურის განვითარების საერთო საქმეში. ლების მიდამოებში აღმოჩენილმა სამარხეულმა ინვენტარმა ხელი შეუწყო ზოგი კონკრეტული არქეოლოგიური საკითხის ახლებურად დაყენებასა და გადაჭრასაც. ასე, მაგალითად, ერთგვარი ოქროს მონეტები, რომელთაც სპეციალურ ლიტერატურაში იცნობენ „ალექსანდრე მაკედონელის სტატერების მიმბაძველობათა“ სახელწოდებით, პირველად ჩვენმა ექსპედიციამ აღმოაჩინა გათხრების დროს და, წინააღმდეგ მანამდე არსებული მოსაზრებებისა, დამტკიცდა, რომ ისინი არც ევროპულია, არც შუა-აზიური და არც ზოგადად კავკასიური, არამედ ქართულია, უპირატესად დასავლურ-ქართული ([6], გვ. 185). ისინი იჭრებოდნენ ძვ. წელთაღრიცხვის II საუკუნის გასულიდან ახალი წელთაღრიცხვის III საუკუნის ბოლომდე და მოწ-

მოზენ ძველ ქართულ სახელმწიფოებრივ ცხოვრებაში მთის ტომების მონაწილეობას. ამგვარივე სინათლის შუქი მოეფინა მხატვრულად დამუშავებულ ბრინჯაოს ბალთებსაც, რომელთაგან ბევრი მონეტებთან ერთად აღმოჩნდა. უფრო ადრეულ, VII—IV სს სამარხებში დამოწმებული ძეგლები გვაუწყებს ფართო კულტურულ კავშირს მთიან ყირიმთან და სკვითეთთან [10]. ამასთანავე, ე. წ. სკვითური რკინის საომარი ცული და „აქინაქი“ ისე მრავალრიცხოვანია VII—V სს სამარხებში, რომ არ შეიძლება არ დავესვათ საკითხი მიგრაციუკასიიდან ჩრდილოეთში მითი გავრცელების შესახებ, მით უმეტეს, რომ ზემო სვანეთში ჩატარებული არქეოლოგიური დაზვერვის (1950 წ.) შედეგები მოწმობს ჩვენნი რკინის წარმოების სრულ გაფურჩქვნას აღნიშნულ პერიოდში.

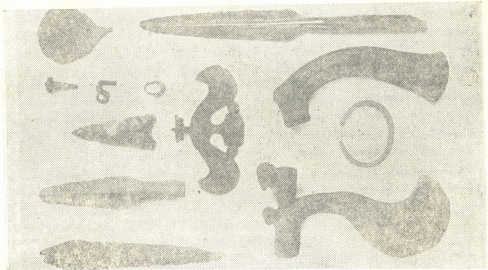
არანაკლები მნიშვნელობა აქვს ძვ. წ. I ათასეულის დასაწყისის ბრილურ ძეგლებს—ბრინჯაოს ცულებს, სატევრებს, სარტყლის ბალთებს, მშვილდურ საკინებებს და სხვადასხვანაირ სამკაულებს. ამ აღმოჩენებმა მინიმუმამდე შეამცირა იმ ტიპის საგანთა რიცხვი, რომლებიც მანამდე ცნობილი იყო მხოლოდ ყობახიდან და ნაპოვნი არ იყო საქართველოში. თუმცა ზოგიერთ მკვლევარს. იმ მიზეზით, რომ წერილობითი წყაროები კოლხებს იცნობს მხოლოდ ძვ. წ. VI საუკუნიდან, ნადრევედ მიაჩნია ამგვარი ძეგლების კოლხური კულტურის ნაყოფად გამოცხადება ([11], გვ. 145; [12], გვ. 17); ჩვენ ვფიქრობთ, რომ ეს სახელწოდება („კოლხური კულტურა“) სამართლიანად შემოიტანა სპეციალურ ლიტერატურაში შ. ივაშჩენკომ ([13], გვ. 50).

ეჭვი არაა, რომ, კოლხები და მათი მონათესავე ტომები მოსახლეობდნენ ზემოხსენებული კულტურის გავრცელების რაიონებში მანამდეც, სანამ მათ სახელს ბერძენი მწერლები ჩაწერდნენ. ეს წერილობითი წყაროები მხოლოდ იმ დროს მიგვითითებს, როდესაც ბერძნული კოლონიზაცია შავი ზღვის კოლხურ სანაპიროს მოედო და არა იმ დროს, როდესაც კოლხები აქ დასახლდნენ.

ჩვენი წერილის ძირითად ნაწილში აღძრული საკითხისათვის განსაკუთრებული მნიშვნელობა აქვს სამაროვანის ქვედა ფენაში აღმოჩენილ ძეგლებს. სამარხთა ინვენტარში შედის კაეის ხელშეშისპირები, სპილენძისა და ბრინჯაოს მასრიანი შუბისპირები, სატევრისპირები, ლაშაში, ყუამილიანი ცულები, სხვადასხვანაირი სამკაული და თილისმები (სურ. 3).

წინათ ჩვენ ამ ძეგლებს ვათარილებდით ძვ. წ. I ათასეულის დასაწყისით [6]. 1948—1951 წწ. გათხრებმა წარმოაჩინა ფენებში ძეგლთა განლაგების ისეთი სურათი, რომელმაც ცხადყო ამ ძეგლების განვითარება ძვ. წ. II ათასეულის შუახანებიდან I ათასეულის დასაწყისამდე, ე. ი. დადასტურა მსგავსი კულტურისათვის ზოგიერთი სხვა ავტორის მიერ დადგენილი თარიღი ([1], გვ. 95 და რუკა III; [13], გვ. 50). კავკასიის არქეოლოგიის ისეთი გამოჩენილი მკვლევრები, როგორც არიან ა. იესენი და ე. კრუპნოვი, ახლანამ გამოქვეყნებულ ნაშრომებში ამ კულტურას სხვადასხვა დროით ათარიღებენ: ა. იესენი—გვიანი ბრინჯაოს ხანით ([12], გვ. 80, 84—86), ე. კრუპნოვი—II ათასეულის შუახანებით ([12], გვ. 17). ჩვენ კი იმ მოსაზრებას ვადგავართ, რომ ბრილის ქვედა ფენაში მიკვლეული ძეგლები და მათთან მჭიდროდ დაკავშირებული კომპლექსები—დიგორის სამაროვნებიდან [14], შავი ზღვისპირა დოლმენებიდან და აგრეთვე ჩვენ მიერ შიდა ქართლში სოფ. ქვასათალთან გათხრილი სამარხიდან—განვიხილოთ, როგორც კულტურის ხანგრძლივი განვითარების ნაყოფი II ათასეულის დასაწყისიდან I ათასეულის პირველ საუკუნეებამდე.

ბრილის გათხრების მიხედვით ჩანს, რომ II ათასეულის შუახანების სამარხებში მნიშვნელოვანი ადგილი უკავია კაეის იარაღს, ხოლო I ათასეულის დასაწყისისათვის უკვე ჩნდება ე. წ. „ილისებრი მოყვანილობის“ სატევა-



სურ. 3

რი და აღმოსავლურ-ქართული ცულის მსგავსი საკიდები (სურ. 4); ამ დროისათვის ცულების ერთი ნაწილი კარგავს უტილიტარულ ფუნქციას და იქცევა საზეიმო-სარიტუალო სიმბოლოებად (სურ. 3 ქვემოთ, მარცხნივ). ბრილის ქვედა ფენის სამარხები, ცისფერი პასტის იოტებითა და ბრინჯაოს სასაფეთქლე სამკაულებით, ასაკობრივ უახლოვდება ნალჩიკის ცნობილ ყორღანში ჩაშვებულ 31-ე სამარხსაც [15].



სურ. 4

დამახასიათებელია, რომ ბრილის უძველესი დროის ლითონის ნივთთა უმეტესობა ნაქედი ან ჩამოსხმულია (ზოგჯერ მოჩანს ორივე პროცესის კვალიც) ანტიმონიანი ბრინჯაოსაგან. ქიმიურმა ანალიზებმა, რომლებიც კიდევ საჭიროებს შემოწმებას, გამოავლინა შენადნობში ანტიმონის დიდი (4—12) პროცენტი. არის აგრეთვე წმინდა ანტიმონის სამკაულებიც. ეპეი არაა, რომ მთელი ეს ნაწარმი ადგილობრივი რესურსების გადამუშავების ნაყოფია.

ამგვარად, რიონის სათავეებში დამოწმებულია ანტიმონიანი ბრინჯაოს საგანთა მდიდარი კომპლექსები, ლითონსაღნობ სახელოსნოთა ნაშთები და

ანტიმონის მალაროები. ვფიქრობთ, რომ ეს მალაროები ეკუთვნის იმავე ხანას, რომლითაც დავითარლით ქვედა ფენის სამარხული ინვენტარი.

შემდგომმა კვლევა-ძიებამ ღების მიდამოებში ეგებ სხვა ახალი საბუთი მოგვეცეს ამ თარიღის უფრო შორს ვადასაწევად, მაგრამ როგორც არ უნდა იყოს მომავალი მუშაობის შედეგები, ახლა სრულიად უყოყმანოდ შეიძლება ითქვას, რომ რიონის ზემო წელში დამოწმებული ძეგლები უმნიშვნელოვანეს მასალას წარმოადგენს ძველი ქართული სამთო საქმისა და მეტალურგიის მჭიდრო კავშირის დასადგენად.

შიდა ქართლსა და აფხაზეთში აღმოჩენილი ანტიმონიანი ბრინჯაოს ნივთთა კომპლექსები გვაფიქრებინებს, რომ ღების სამთამდნო და მეტალურგიული კერის მნიშვნელობა ლითონის ადგილობრივი მოხმარებით არ ამოიწურებოდა, თუმცა კავკასიის ქედის მეტალოგენურ ზონაში შეიძლება მომავალში სხვა ამგვარივე კერებიც აღმოჩნდეს.

საქართველოს სსრ მეცნიერებათა აკადემია
 აკად. ივ. ჯავახიშვილის სახელობის
 ისტორიის ინსტიტუტი
 თბილისი

(რედაქციას მიუვიდა 5. 2. 1952)

დამოწმებული ლიტერატურა

1. А. А. Иессен. К вопросу о древнейшей металлургии меди на Кавказе. Известия ГАИМК, вып. 120. М.-Л., 1935.
2. А. А. Иессен. Олово Кавказа. Известия ГАИМК, вып. 110, 1935.
3. ა. აფაქიძე. ბაკურიანის არქეოლოგიური ძეგლები. 1940.
4. Б. А. Куфтин. Материалы к археологии Кавказа, т. Тбилиси, 1949.
5. Б. А. Куфтин. Археологические раскопки в Триалети, т. Тбилиси, 1941.
6. გ. გობეჯიშვილი. ბრინჯაოს ქართული უძველესი ბალთები. 1942.
7. ა. აფაქიძე ანტიმონის წარმოების ისტორიისათვის საქართველოში. საქართველოს სახელმწიფო მუზეუმის შიგნით, ტ. XIII—V. თბილისი, 1944.
8. Коллекции Кавказского Музея, т. V. Тифлис, 1902.
9. Материалы по археологии Кавказа, вып. IX. Москва, 1904.
10. Е. И. Крупнов. Северокавказская археологическая экспедиция. Краткие сообщения Института ИМК, вып. XVII Москва, 1947.
11. Е. И. Крупнов. К вопросу о хронологии Кобанской культуры. Ученые записки Кабардинского НИИ, т. I. Нальчик, 1946.
12. Материалы и исследования по археологии СССР, № 23. М.—Л., 1951.
13. М. М. Иващенко. Исследование архайческих памятников материальной культуры в Абхазии. Тбилиси, 1935.
14. Материалы по археологии Кавказа, вып. VIII. Москва, 1900.
15. Материалы и исследования по археологии СССР, № 3. М.—Л., 1941.
16. გ. ნიორაძე. აღაზნის ველის ვათხრები. თბილისი, 1940.
17. გ. ლომთათიძე. ბრინჯაოს სატევრები და მახვილები სამთავროს უძველეს სამარხებში, 1944.

პასუხისმგებელი რედაქტორის მოადგილე ი. გიგინეიშვილი

საქართველოს სსრ მეცნიერებათა აკადემიის გამოქვეყნების სტამბა, აკ. წერეთლის ქ. № 3/5
Типография Издательства Академии Наук Грузинской ССР, ул. Ак. Церетели № 3/5

ზელმოწერილია დასაბეჭდად 27.2.1952
ანაწყოების ზომა 7×11

სააღრიცხვო-საგამომცემლო ფურცელი 5
ნაბეჭდი ფორმა 4

შევ 422

შე 01366

ტირაჟი 1000

ფ 35/636



ფაზა 5 მან.

დასტავიციხეშლია
საქართველოს სსრ მეცნ. აკად. პრეზიდიუმის მიერ
22.10.1947

დღეშულეზა „საბართველოს სსრ მეცნიერებათა აკადემიის მოაზრის“ შხსახიზა

1. „მოაზრეში“ იბეჭდეზა საქართველოს სსრ მეცნიერებათა აკადემიის მეცნიერი მუშაკებისა და სხვა მეცნიერთა წერილები, რომლებშიც მოკლედ გადმოცემულია მათი გამოკვლევების მოაჯარი შედეგები.
2. „მოაზრეს“ ხელმძღვანელობს სარედაქციო კოლეჯია, რომელსაც ირჩევეს საქართველოს სსრ მეცნიერებათა აკადემიის საერთო კრება.
3. „მოაზრე“ გომოდის ყოველთვიურად (თვის ბოლოს), გარდა ივლის-აგვისტოს თვისა, ცალკე ნაკვეთებად; დაახლოებით 5 ბეჭდური თაბაზის მოცულობით თითოეთელი. ერთი წლის ხველა ნაკვეთი (სულ 10 ნაკვეთი) შეადგენს ერთ ტომს.
4. წერილები იბეჭდეზა ქართულ ენაზე, იგივე წერილები იბეჭდეზა რუსულ ენაზე პარალელურ გამოცემაში.
5. წერილის მოცულობა, ილუსტრაციების ჩათვლით, არ უნდა აღემატებოდეს 8 გვერდს. არ შეიძლება წერილების დაყოფა ნაწილებად სხვადასხვა ნაკვეთში გამოსაქვეყნებლად.
6. მეცნიერებათა აკადემიის ნამდვილი წევრებისა და წევრ-კორესპონდენტების წერილები უშუალოდ გადაეცემა დასაბეჭდად „მოაზრის“ რედაქციას, სხვა ავტორების წერილები კი იბეჭდეზა საქართველოს სსრ მეცნიერებათა აკადემიის ნამდვილი წევრის ან წევრ-კორესპონდენტის წარმოდგენით. წარმოდგენის გარეშე შემოსულ წერილებს რედაქცია გადასცემს აკადემიის რომელიმე ნამდვილ წევრს ან წევრ-კორესპონდენტს განსაზილველად და, მისი დადებითი შეფასების შემთხვევაში, წარმოსადგენად.
7. წერილები და ილუსტრაციები წარმოდგენილი უნდა იქნეს ავტორის მიერ საესებით გამზადებული დასაბეჭდად. ფორმულები მკაფიოდ უნდა იყოს ტექსტში ჩაწერილი ხელით. წერილის დასაბეჭდად მიღების შემდეგ ტექსტში არაეთართარი შესწორებისა და დამატების შეტანა არ დაიშეება.
8. დამოწმებული ლიტერატურის შესაზებ შონაკემები უნდა იყოს შეძლებისდაგვარად სრული: საჭიროა აღინიშნოს ეურნალის სახელწოდება, ნომერი სერიისა, ტომისა, ნაკვეთისა, გამოცემის წელი, წერილის სრული სათაური; თუ დამოწმებულია წიგნი, საველდებულაა წიგნის სრული სახელწოდების, გამოცემის წლისა და ადგილის მითითება.
9. დამოწმებული ლიტერატურის დასაბეჭდება წერილს ბოლოში ერთვის სიის სახით. ლიტერატურაზე მითითებისას ტექსტში ან შენიშვნებში ნაბეჭდები უნდა იქნეს ნომერი სიის მიხედვით, ჩასძული კვადრატულ ფრჩხილებში.
10. წერილის ტექსტის ბოლოს ავტორმა უნდა აღნიშნოს, სათანადო ვნებზე დასაბეჭდება და ადგილმდებარეობა დაწესებულებისა, სადაც შესრულებულია ნაშრომი. წერილი თარიღდება რედაქციაში შემოსვლის დღით.
11. ავტორს ეძლევა გვერდებად შეკრული ერთი კორექტურა მკაცრად განსაზღვრული ვადით (ხვეულებრივად, არა უზეტეს ერთი დღისა). დადგენილი ვადისთვის კორექტურის წარმოდგენლობის შემთხვევაში რედაქციას უფლება აქვს შეაჩეროს წერილის დაბეჭდება, ან დაბეჭდოს იგი ავტორის ვიხის გარეშე.
12. ავტორს უფასოდ ეძლევა მისი წერილის 50 ამონაბეჭდი (25 ამონაბეჭდი თითოეთელი გამოცემიდან) და თითო ცალი „მოაზრის“ ნაკვეთებისა, რომლებშიც მისი წერილია მოთავსებული.

კადავტციის მისაზართი: თბილისი, ძმარძინისძის ძ. 8.

СООБЩЕНИЯ АКАДЕМИИ НАУК ГРУЗИНСКОЙ ССР, т. XIII, № 3, 1952

Основное, грузинское издание